



MÉMOIRE
PRÉSENTÉ À
L'UNIVERSITÉ DU QUÉBEC À CHICOUTIMI
COMME EXIGENCE PARTIELLE
DE LA MAÎTRISE EN INFORMATIQUE

PAR
KUN XIE

L'AMÉLIORATION DE LA COLLECTE DE DONNÉES ET DE L'ÉVALUATION
DE FORMULES POUR LA VÉRIFICATION À L'EXÉCUTION

MAI 2016

Résumé

Les technologies de l'information sont devenues une partie importante de notre vie. Bien que beaucoup de techniques magnifiques nous fassent vivre facile et confortable, les accidents et les catastrophes causées par des dysfonctionnements de logiciels conduisent beaucoup de pertes de vies et de la richesse qui peuvent en fait évitées. La vérification et la validation de logiciels est un ensemble de techniques visant à vérifier la fonctionnalité et à évaluer la qualité logicielle. La vérification à l'exécution est l'une des techniques couramment utilisées dans le domaine d'industrie. Elle a son origine à partir d'autres techniques de vérification, mais elle a aussi ses propres fonctionnalités et caractéristiques.

Le but de cette recherche est d'explorer les méthodes et les solutions pour améliorer deux aspects de la vérification à l'exécution : la collecte de données et formule évaluation. Dans la première partie, nous présentons un canal de la communication unidirectionnelle basé sur les codes optiques qui sont applicables pour la transmission de données dans un certain environnement spécifique. Ensuite, dans la deuxième partie, nous introduisons notre solution de l'évaluation hors ligne de logiques temporelles basées sur la manipulation de bitmap et la compression bitmap. Les deux parties ont été écrites sous forme d'article à publier, dont l'un a été publié, tandis que l'autre est en cours d'examen.

Mots-clefs: vérification à l'exécution, logique temporelle linéaire, compression de bitmap, protocoles de communication optique, code QR

Remerciements

Je voudrais remercier tout le monde qui m'a aidé pour terminer mes études.

Je voudrais d'abord exprimer ma sincère gratitude à mon directeur **Professeur Sylvain Hallé** pour sa supervision, son soutien, sa patience et sa générosité. Je suis très chanceux d'avoir un superviseur qui se soucie tant des étudiants et qui est toujours patient pour toutes sortes de questions et de problèmes. **Professeur Sylvain Hallé** m'a aussi accordé les opportunités et la confiance de prendre part aux travaux de rédaction d'articles pour les vrais journaux et conférences. Grâce à lui, j'ai une mémoire fantastique dans l'UQAC.

Je voudrais exprimer ma gratitude à **Professeur Sylvain Boivin** pour son orientation, son soutien et son aide. Il m'a motivé à retourner à l'université, m'a encouragé pour mon apprentissage de la langue française et m'a introduit à **Professeur Sylvain Hallé**.

Je voudrais également remercier **Mme. Marjolaine Hénault** pour sa gentillesse, sa générosité, son encouragement et sa grande aide pour mon apprentissage du français, les amis vivant à Chicoutimi : **Ran Wei, Ping Li, Jian Qin et al.** pour leur amitié, leur encouragement, leur soutien et leur aide, les amis et aussi les étudiants travaillant dans LIF : . Edmond la Chance, Francis Guérin, Daehli Nadeau-Otis et al. pour leur amitié et leur soutien.

Enfin, je tiens à exprimer mes plus vifs remerciements à ma femme **Moon Ji Hyun**, dont la compagnie, le dévouement, les paroles encourageantes et la meilleure technique de cuisine sur la terre étaient la motivation essentielle de l'achèvement de ma maîtrise.

TABLE DES MATIÈRES

Table des figures	vii
Liste des tableaux	viii
1 Introduction	1
1.1 Contexte	1
1.2 Objectives du mémoire	4
1.3 Méthodologie	5
1.4 Organisation du mémoire	6
2 Revue de la vérification à l'exécution et des travaux associés	9
2.1 Vérification à l'exécution	9
2.2 Logique Temporelle Linéaire	14
2.3 Cadre de la vérification à l'exécution	21
3 Communication en streaming et en temps réel avec les codes optiques	27
3.1 Introduction	27
3.2 Communications sans fil	30
3.3 Flux de codes QR	33
3.4 Experiments	39
3.5 A Protocol for One-Way, Lossy Communication Channels	51
3.6 Conclusion	72
4 Offline Evaluation of LTL Formulae with Bitmap Manipulations	73
4.1 Introduction	73
4.2 Bitmaps and Compression	75
4.3 Evaluating LTL formulae with Bitmap	79
4.4 Implementation and Experiments	88
4.5 Related Work	94
4.6 Conclusion and future work	96
5 Conclusion and future work	101

Annexe A Experiment results of calculating LTL formulæes with bitmap compression	107
Bibliographie	121

TABLE DES FIGURES

2.1	Processus de la vérification à l'exécution (de Falcone et al. (2013))	12
2.2	L'architecture de JPaX (Havelund et Rosu, 2001)	22
2.3	L'architecture de MaC (Kim et al., 2004)	23
2.4	L'architecture d'Eagle (d'Amorim et Havelund, 2005)	23
2.5	L'architecture de MOP (Chen et Roşu, 2007)	24
3.1	Un code QR avec le texte "Hello world !"	34
3.2	Experimental setup for reading codes.	40
3.3	A QR code generated by ZXing that ZXing itself cannot decode in the experiment.	42
3.4	Bandwidth and decoding rate in the first experiment	45
3.5	Bandwidth and decoding rate in the second experiment, where each code is displayed twice	47
3.6	Examples of two codes with slightly different data, but widely different dot patterns. The code on the left contains the string "abcdefg", while the one on the right contains "abcdeff".	48
3.7	Third experiment : triple display and random padding	49
3.8	Fourth experiment : double display and higher code rates	50
3.9	Part of the text interface of the QR code receiver operating in Lake mode . . .	65
3.10	The schema of events produced by an instrumented video game.	66
3.11	Time to send data in Lake mode	68
3.12	Time to send data in Stream mode	69
3.13	Swiping the camera over a set of QR codes to reconstruct the contents of a larger file.	70
4.1	A graphical representation of the computation of three temporal operators on bitmaps	83
4.2	Bitmap generation with compression algorithms	93
4.3	Comparison of compression ratio and processing rate for LTL formula 1, for various bitmap compression libraries and various values of <i>slen</i>	94
4.4	Comparison of compression ratio and processing rate for LTL formula 14, for various bitmap compression libraries and various values of <i>slen</i>	94

LISTE DES TABLEAUX

2.1	La table de vérité des opérateurs booléens de la logique propositionnelle . . .	17
2.2	Cadre de la vérification à l'exécution	21
3.1	Résumé de protocoles WiFi (Theng, 2008; Perahia et Stacey, 2013)	30
3.2	Spécifications de Bluetooth (Gupta, 2013)	31
3.3	Spécifications de ZigBee (Lee et al., 2007)	31
3.4	Débits de données de schémas de couche physique de IrDA (Millar et al., 1998)	32
3.5	Capacités	34
3.6	Sample sizes	43
4.1	Parameters of RLE-model algorithms	78
4.2	The semantics of LTL. Here \bar{s}^i denotes the subtrace of \bar{s} that starts at event i . .	80
4.3	Derivative bitmap functions	81
4.4	Bitmap libraries	89
4.5	Running time for evaluating each LTL operator on a bit vector, without the use of a compression library.	91
4.6	The complex LTL formulæ evaluated experimentally.	98
4.7	Running time for the evaluation of LTL formulæ of Table 4.6, without the use of a compression library.	99
A.1	Bitmap generation with compression algorithms	107
A.2	Calculation of $\neg s_0$ with compression algorithms	108
A.3	Calculation of $s_0 \wedge s_1$ with compression algorithms	108
A.4	Calculation of $s_0 \vee s_1$ with compression algorithms	109
A.5	Calculation of $s_0 \vee s_1$ with compression algorithms	109
A.6	Calculation of $\mathbf{X} s_0$ with compression algorithms	110
A.7	Calculation of $\mathbf{G} s_0$ with compression algorithms	110
A.8	Calculation of $\mathbf{F} s_0$ with compression algorithms	111
A.9	Calculation of $s_0 \mathbf{U} s_1$ with compression algorithms	111
A.10	Calculation of $s_0 \mathbf{W} s_1$ with compression algorithms	112
A.11	Calculation of $s_0 \mathbf{R} s_1$ with compression algorithms	112
A.12	Formulæ 1 calculation with compression algorithms	113
A.13	Formulæ 2 calculation with compression algorithms	113
A.14	Formulæ 3 calculation with compression algorithms	114
A.15	Formulæ 4 calculation with compression algorithms	114

A.16 Formulæ 5 calculation with compression algorithms	115
A.17 Formulæ 6 calculation with compression algorithms	115
A.18 Formulæ 7 calculation with compression algorithms	116
A.19 Formulæ 8 calculation with compression algorithms	116
A.20 Formulæ 9 calculation with compression algorithms	117
A.21 Formulæ 10 calculation with compression algorithms	117
A.22 Formulæ 11 calculation with compression algorithms	118
A.23 Formulæ 12 calculation with compression algorithms	118
A.24 Formulæ 13 calculation with compression algorithms	119
A.25 Formulæ 14 calculation with compression algorithms	119

CHAPITRE 1

INTRODUCTION

Au cours des décennies récentes, un grand nombre de systèmes de logiciels ont été introduits dans presque tous les domaines de notre vie (Clarke et al., 1999). Alors que les gens apprécient les facilités apportées par ces systèmes, il y a toujours le risque de défaillance dans les systèmes. Un échec comme un jeu vidéo ayant plusieurs bogues est ennuyeux mais tolérable, mais il y a des autres échecs qui sont fatals et inacceptables, par exemple les bogues dans les instruments médicaux, les systèmes de contrôle du véhicule automatisé ou les systèmes aéronautiques. Un exemple récent est le satellite astronomique japonaise Hitomi, qui a apporté une perte de 286 millions dollars de Japan Aerospace Exploration Agency (JAXA). Il a été lancé le 17 Février 2016 et a officiellement déclaré perdu le 28 Avril en même année à cause d'une erreur de logiciel (Witze, 2016).

1.1 CONTEXTE

De toute évidence, la fiabilité d'un système est critique, et un système fiable doit avoir la capacité de fonctionner strictement selon sa spécification dans une période définie (Avizienis et al., 2004). La vérification et la validation de logiciels est un processus pour mesurer cette

capacité et évaluer la qualité logicielle (IEEE, 2012).

La vérification à l'exécution (Leucker et Schallhart, 2009) est une approche de la vérification et de la validation de logiciels qui est applicable pour vérifier si le comportement d'un système informatique satisfait ou viole des certaines propriétés. Normalement, la vérification à l'exécution n'a pas d'influence sur l'exécution du système en cours d'exécution, même si une violation des propriétés est détectée. À cet effet, un moniteur est utilisé pour analyser la trace finie collectées puis produire un verdict qui est généralement une valeur de vérité. Par conséquent, un système de vérification à l'exécution doit avoir au moins deux éléments essentiels : la collecte de données et l'évaluation de formules.

De nos jours, afin de répondre à la demande de l'analyse de la quantité de données de trace rapidement croissantes, diverses solutions ont été proposées. Certains chercheurs comme Barre et al. (2012) ont porté des méthodologies existantes aux cadres du calcul distribué. Cependant, peu importe le nombre de processeurs et de mémoires a un système de cloud, il y a toujours une limite pour leurs utilisations. Ainsi, des autres chercheurs ont essayé d'optimiser les algorithmes, tels que Havelund et Roşu (2001).

Bitmap est une méthode efficace pour réduire le coût de l'espace grâce à sa structure concise, et les caractéristiques telles que le parallélisme du niveau de bits ou l'affinité du cache CPU sont en mesure d'accroître la performance des opérations (Culpepper et Moffat, 2010). Il est largement appliqué dans les applications qui ont une exigence sérieuse de l'espace et de l'efficacité, par exemple les bases de données et les moteurs de recherche (Kaser et Lemire, 2014). Si un bitmap est peu, c'est-à-dire la fraction de bits utilisés est peu, le bitmap peut occuper moins d'espace de stockage à l'aide de l'algorithme de compression de bitmap (Antoshenkov, 1995).

Avant que les moniteurs analysent les traces, la collecte de données joue un rôle important

(Casley et Kumar, 1988). Pour les systèmes différents, il existe des solutions correspondantes de la collecte de données. Zwijze-Koning et De Jong (2005) ont revue les techniques de collecte de données pour l'analyse de réseau. Calabrese et al. (2011) ont présenté un système de surveillance en temps réel avec la collecte de données à la résolution élevée et à la définition élevée de l'utilisation du téléphone cellulaire d'une ville italienne. Shabtai et Elovici (2010) ont développé un système de détection d'intrusion basé sur l'hôte pour les appareils mobiles d'Android en rassemblant les données des événements système et des interactions d'utilisateurs. Comme cela est indiqué dans les exemples, divers moyens sont utilisés pour extraire et transférer les données vers la location où la vérification a lieu. La lumière visible est également un moyen de communication efficace, comme le suggèrent Komine et Nakagawa (2004), particulièrement dans des environnements restreints où le câble ou la communication radio sont peu pratiques, comme Vasilescu et al. (2005).

De différents codes-barres ont été appliquées dans divers domaines à partir des systèmes traditionnels e-commerce à l'augmentation rapide des appareils mobiles (Gao et al., 2007), parce que les codes-barres numériques fournissent une méthode simple mais précise avec une faiblesse du coût de la distribution et de la reconnaissance. Comparé avec le bien connu code-barre 1-D UPC qui ne peut encoder que les chiffres, les codes-barres 2-D qui apparaissent à la fin des années 1980 peuvent non seulement encoder les données alphanumériques et les données même binaires, mais également fournir une capacité beaucoup plus grande. Quick Response Code (code QR) (Denso Wave Inc., 2015) est devenu l'un des 2-D codes-barres les plus populaires en raison de la précision, la capacité considérable, l'impression relativement petite et la grande efficacité. Il a été mis sur presque tous les types de surface visible, comme le papier, le téléphone et l'écran d'ordinateur, les vitrines des magasins (Okazaki et al., 2012).

1.2 OBJECTIVES DU MÉMOIRE

Les objectifs de cette recherche sont centrées sur le développement de méthodes ou de techniques qui est capable de fournir de l'assistance aux deux aspects mentionnés de la vérification à l'exécution : la collecte de données et l'évaluation de formules.

Le premier objectif et contribution principaux étaient de présenter une nouvelle méthode de la collecte de données et de discuter de sa faisabilité et de sa performance. Les codes QR sont considéré comme rapide et de grande capacité, et le fait plus important est que son utilisation ne nécessite qu'une surface (par exemple l'écran) comme l'émetteur et une caméra comme le récepteur, qui sont tous deux devenus générales dans presque tous les ordinateurs portables et les téléphones mobiles ces dernières années. Si un code QR contenant une certaine quantité de données est considéré comme un paquet de données du réseau, une séquence de codes QR est similaire à un flux de données du réseau. Notre préoccupation principale d'ici était la bande passante du canal de la communication unidirectionnelle composée de codes QR et les facteurs critiques qui affectent la performance, ainsi que la méthode de l'application de ce canal de communication à notre pratique de la vérification à l'exécution.

Le deuxième objectif était de proposer une solution pour améliorer la performance du système de la vérification à l'exécution. Les bitmaps sont démontrés par de nombreuses solutions pour sa capacité de l'amélioration de la performance. Parce que les états logiques temporelles sont souvent exprimées avec les valeurs booléennes, c'est-à-dire vrai ou faux, les bitmaps sont prévus pour améliorer le calcul de formules de LTL. Par conséquent, l'une de nos contributions était la solution de correspondre des états logiques temporelles à des bits et de concevoir des algorithmes nécessaires pour mettre en œuvre les opérations de LTL. Comme Kaser et Lemire (2014) le suggèrent, un bitmap rare est une perte d'espace. Une contribution supplémentaire était donc l'observation de l'impact des algorithmes de compression de bitmaps sur le calcul

de formules de LTL.

Il est important de mentionner que notre travail et réalisation du canal de communication de code QR a été publiée dans la revue IEEE Access, vol. 4, pp. 284-298, 2016. Une autre partie de notre recherche, l'évaluation de formules de LTL avec les manipulations de bitmaps est en cours de révision pour publier dans les actes de la conférence internationale : Runtime Verification 2016 (RV'16) à Madrid, Espagne en 2016.

1.3 MÉTHODOLOGIE

Cette recherche a suivi une méthodologie en trois étapes.

La première étape était de développer le canal de la communication unidirectionnelle de codes QR qui correspond à notre deuxième objectif principal. Les paquets de données ont été encodés aux code QR et décodés à partir des codes QR avec une librairie open source, et un protocole spécifique dédié à la sérialisation et à la transmission des données structurées sur les canaux de communication limités était introduit. Alors que l'expérience était en cours d'exécution, nous avons continué à optimiser notre solution basée sur le résultat de la première expérience pour améliorer le taux de correction et la vitesse de reconnaissance. Une webcam commune et un moniteur LED de 19 pouces étaient utilisés comme le récepteur et l'émetteur dans l'expérience. Dans la dernière partie de cette étape, les codes QR étaient imprimés sur les papiers de bureau et glissés devant la webcam afin de vérifier une allégation selon laquelle le protocole peut accepter les paquets de données entrantes sans ordre.

La deuxième étape a pour but de définir la relation de correspondance entre les états logiques temporelles et les bitmaps, et aussi de concevoir les algorithmes des opérateurs de logiques temporelles. La séquence temporelle d'états d'une proposition atomique peut être mappée

dans un bitmap où la valeur de chaque bit est 0 ou 1, ce qui correspond à juste titre à la valeur de type booléen d'états logiques temporelles. Nous avons catégorisé les opérateurs LTL habituels définis dans Huth et Ryan (2004) en trois groupes : les opérateurs de logiques propositionnelle, les opérateurs de logiques temporelles unaires et les opérateurs de logiques temporelles binaires. Chaque groupe avait ses caractéristiques et ses difficultés pour mettre en œuvre, en particulier les opérateurs de logiques temporelles binaires qui doivent énumérer deux bitmaps en même temps et prennent soin des conditions plus que les autres groupes.

Dans la dernière étape, nous avons mis en œuvre notre solution avec un langage de programmation informatique populaire. Une interface de l'opération de bitmap était constituée par abstraction afin d'adapter les algorithmes de compression de bitmaps qui sont toutes mises en œuvre dans les bibliothèques open source. Après le travail de programmation, une référence approfondie a été faite pour observer la vitesse de traitement sans compression ainsi que la performance de la vitesse et de l'espace avec les algorithmes de compression de bitmaps.

1.4 ORGANISATION DU MÉMOIRE

Ce mémoire est composé de cinq chapitres. Le contenu de chaque section est la suivante.

Le premier chapitre introduit l'arrière-plan du mémoire, présente les tâches, décrit les méthodes appliquées dans la recherche et à la fin précise la structure du mémoire.

Le chapitre deux met au courant de la connaissance pertinente de la vérification à l'exécution, des logiques temporelles linéaires et introduit certains systèmes de la vérification à l'exécution.

Le chapitre trois est l'une des contributions de cette recherche. Il présente la solution du canal de la communication unidirectionnelle constitué des codes QR vacillants. Il est en fait une version traduite et reformatée de la publication "Real-Time Streaming Communication with

Optical Codes” (Xie et al., 2016).

Le chapitre quatre est une autre contribution, la solution de calcul de formules LTL avec l’aide des bitmaps. Le chapitre détaille la définition de la cartographie, les algorithmes et les expériences. Il est basé sur l’article “Offline évaluation de LTL Formulæ avec Bitmap Manipulations”.

Enfin, le chapitre cinq conclut cette recherche avec le résumé de nos contributions et notre regard fixé sur le travail à venir.

CHAPITRE 2

REVUE DE LA VÉRIFICATION À L'EXÉCUTION ET DES TRAVAUX ASSOCIÉS

Dans ce chapitre, on revoit tout d'abord la vérification à l'exécution, y compris son histoire, sa définition et le comparaison avec d'autres techniques de vérification. D'autre part, la logique temporelle linéaire, en tant que la spécification formalisme commun de la vérification à l'exécution, est présenté avec la syntaxe, les opérateurs et la sémantique. Enfin, quelques cadres de la vérification à l'exécution bien connus sont introduits, ainsi que d'une comparaison simple d'entre eux.

2.1 VÉRIFICATION À L'EXÉCUTION

La vérification et la validation de logiciels, en tant qu'un aspect important de la gestion de projet et de l'ingénierie du logiciel, est le processus d'employer diverses techniques nécessaires pour détecter les violations ou les satisfactions et d'évaluer la qualité des logiciels et la performance d'un système (IEEE, 2012).

2.1.1 CONCEPTS FONDAMENTAUX

Il y a normalement deux types de techniques de vérification : analyse statique et dynamique. Certains techniques traditionnelles bien connues d'analyse statique sont la vérification de modèles (Clarke et al., 1999) et la démonstration de théorèmes (Heisel et al., 1990). L'analyse statique est généralement appliquée pour vérifier les comportements d'un système avant son exécution, mais ces techniques ont les lacunes naturelles. Par exemple, la vérification de modèles ne peut pas fonctionner sur un système dont la taille ou le nombre d'états pourraient se développer au-delà de la capacité de puissance de calcul en raison de la "state-explosion problem".

L'analyse dynamique est destinée de surveiller les systèmes en cours d'exécution. Bien que parfois le résultat pourrait être faux négatifs à cause de son inachèvement, cette incomplétude permet aux techniques d'analyse dynamique de briser la limitation de méthodes statiques et devenir ainsi les méthodes complémentaires de la vérification. (Falcone et al., 2013)

La vérification à l'exécution est une sorte de technique de vérification sur la base de l'analyse dynamique. En 2001, le Runtime Verification workshop¹ a été fondée, comme la terminologie "runtime verification" était officiellement introduite (Wikipedia, 2016). Elle est une technique relativement nouvelle qui est légère et qui vise à compléter d'autres techniques traditionnelles de vérification comme "model checking" et "testing".

Leucker et Schallhart (2009) définissent la vérification à l'exécution comme suit :

"Runtime verification is the discipline of computer science that deals with the study, development, and application of those verification techniques that allow checking whether a run of a system under scrutiny satisfies or violates a given

1. <http://www.runtime-verification.org/>

correctness property.”

Normalement, lorsqu’une violation est observée, la vérification à l’exécution ne résout pas le programme détecté elle-même, mais son résultat est un guide et base importante pour d’autres composants dans le même système pour régler le problème.

Leucker et Schallhart (2009) définissent également un *run* d’un système en tant qu’une séquence de traces infinies du système, et une *exécution* d’un système comme une trace finie et aussi un *préfixe fini* de un *run*. Le travail de vérification à l’exécution se concentre principalement sur l’analyse de *exécutions* qui sont effectuées par les *moniteurs*.

Un *moniteur* est une procédure de décision générée (ou “synthétisée”) à partir de l’une des propriétés formelles qui doit être vérifiée contre l’exécution du système donné. Lors de la vérification, un *moniteur* énumère les traces finies d’une *exécution*, vérifie si elles satisfont aux propriétés d’exactitude et produit un *verdict* comme le résultat. Un *verdict*, qui est normalement une valeur de vérité, indique la satisfaction de la propriété contre les événements recueillis.

Un verdict dans la plupart des cas simples peut être normalement exprimée comme vrai/faux, oui / non ou 1/0, selon le contexte. Mais en réalité, de nombreux systèmes de la vérification à l’exécution doivent introduire d’autres valeurs pour fournir un résultat plus précis. Par exemple, grâce à l’incomplétude du système de la vérification à l’exécution, un verdict ne peut pas être facilement émis lorsque le moniteur a besoin de plus d’événements successifs, donc une valeur *inconcluante* (écrite comme “?”) est introduite pour indiquer l’état présent du système surveillé. (Falcone et al., 2013)

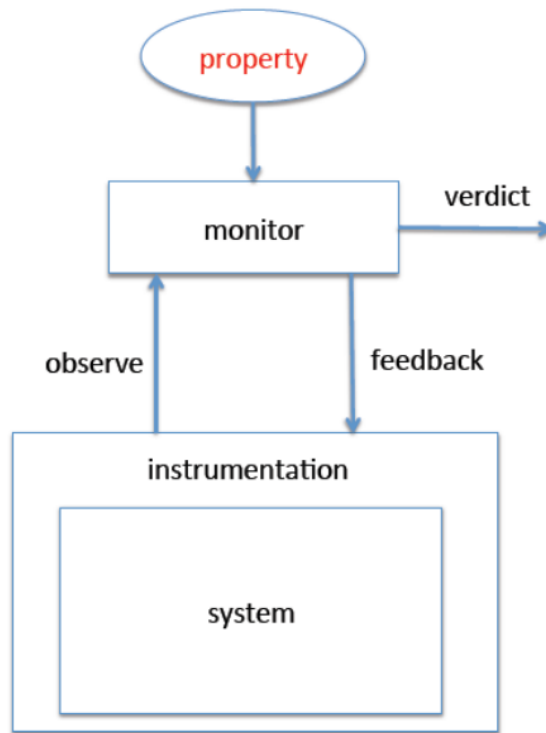


Figure 2.1: Processus de la vérification à l'exécution (de Falcone et al. (2013))

2.1.2 PROCÉDURE

La figure 2.1 décrit le processus d'un système typique de la vérification à l'exécution qui contient quatre étapes suivantes (Falcone et al., 2013) :

1. *Synthèse du moniteur* : Un moniteur est synthétisé à partir d'une propriété.
2. *Instrumentation du système* : Les instruments supplémentaires sont intégrés au système sous surveillance afin de générer les événements pour le *moniteur*.
3. *Exécution* : Le système est exécuté et commence à générer les événements et les envoie au moniteur.
4. *Analyse et réponse* : Le moniteur analyse les événements collectés, émet un *verdict* et envoie les informations supplémentaires, disons les *commentaires*, au système si

nécessaire.

Les moniteurs peuvent être classés en plusieurs modes d’aspects différents (Chen et Roşu, 2007) :

- *online/offline* dépend du moment où les moniteurs et le système fonctionnent : *Online* s’ils travaillent en même temps, et *offline* si les moniteurs commencent à travailler après la fin de l’exécution du système.
- *inline/outline* dépend de l’endroit où les moniteurs sont exécutés : *Inline* si les moniteurs sont embarqués dans le système et *outline* si les moniteurs fonctionnent tout seuls en recevant les traces d’événements du système par certaines méthodes, par exemple par un système de fichiers ou par un signal sans fil.
- *violation/validation* est déterminé par la spécification du verdict.

D’après les définitions des modes, on peut apercevoir qu’un moniteur travaillant en mode *offline* travaille également en mode *outline* et le mode *inline* implique le mode *online*.

2.1.3 COMPARAISON AVEC D’AUTRES TECHNIQUES

Comparant avec la vérification de modèle (Clarke et al., 1999) qui vise à vérifier les systèmes d’états finis, on voit que les méthodes de génération de moniteurs dans la vérification à l’exécution et de la génération d’automates dans la vérification de modèle ont des similitudes. Cependant, alors que la vérification de modèle traite principalement les traces infinies, la vérification à l’exécution ne traite que les traces finies, i.e. les *exécutions*. Pour cette raison, les moniteurs de la vérification à l’exécution travaillant en mode *online* doivent être en mesure d’accepter les traces supplémentaires.

Une autre différence importante entre la vérification de modèle et la vérification à l’exécution est que, contrairement à la vérification de modèle qui vérifie si toutes les *exécutions* d’un

système satisfait une propriété d'exactitude, la vérification à l'exécution est intéressée uniquement par le fait qu'il y a ou non une *exécution* qui appartient à un ensemble d'exécutions valides. En outre, la vérification à l'exécution ne nécessite qu'analyser les événements observés d'un système donné, sans avoir à regarder ses informations intérieures, mais dans la vérification de modèle, le modèle correct du système doit être reconnu afin de préparer chaque exécution possible avant de l'exécution du système. (Leucker et Schallhart, 2009)

Le test du logiciel (Broy et al., 2005) est une autre technique de vérification. Elle est un processus de l'exécution d'un programme avec un ensemble fini de séquences entrée-sortie qui est nommé "la suite de tests". Comparant avec la vérification à l'exécution, les suites de test sont définies directement, à la différence des propriétés de la vérification à l'exécution qui sont générées à partir des spécifications de formalisme. En outre, "le test exhaustif" qui est une méthode courante dans le test du logiciel, n'est normalement pas une option de la vérification à l'exécution.

2.2 LOGIQUE TEMPORELLE LINÉAIRE

Dans la vérification à l'exécution, un moniteur est traduit à partir d'une propriété d'exactitude, et les propriétés d'exactitude sont spécifiés dans les logiques temporelles en temps linéaire, telles que la logique temporelle linéaire.

La logique temporelle est une extension de la logique classique, et elle fournit un langage pratique avec les expressions des propriétés pour raisonner sur le changement des états en termes de temps. Bien qu'il y ait beaucoup de logiques temporelles différentes qui sont inventées pour satisfaire aux exigences diverses, les logiques temporelles sont normalement classées par le fait que le temps est linéaire ou en ramification. La logique temporelle avec le temps linéaire est appelé *Logique Temporelle Linéaire* (LTL), qui a d'abord été proposé par

Pnueli (1977). le temps dans la LTL est transformé en une séquence d'états qui s'étendent vers le futur infini. La séquence d'états est un *chemin* de calcul. (Clarke et al., 1999; Huth et Ryan, 2004)

Leucker et Schallhart (2009) résument la LTL comme une logique temporelle en temps linéaire qui est bien acceptée et utilisée pour spécifier les propriétés de traces infinies. Néanmoins, dans la vérification à l'exécution, la LTL est employée pour vérifier les exécutions finies.

2.2.1 SYNTAXE

Une formule bien formée de la LTL consiste en un ensemble fini de propositions atomiques, des opérateurs booléens $\neg, \wedge, \vee, \rightarrow$ et des opérateurs de logiques temporelles **F**(future), **G**(global), **X**(next), **U**(until), **W**(weak-until) et **R**(release). Elle peut être représentée sous la forme Backus Naur comme suit (Huth et Ryan, 2004) :

$$\begin{aligned} \phi ::= & \top \mid \perp \mid p \mid (\neg \phi) \mid (\phi \wedge \phi) \mid (\phi \vee \phi) \mid (\phi \rightarrow \phi) \\ & \mid (\mathbf{X} \phi) \mid (\mathbf{F} \phi) \mid (\mathbf{G} \phi) \mid (\phi \mathbf{U} \phi) \mid (\phi \mathbf{W} \phi) \mid (\phi \mathbf{R} \phi) \end{aligned} \quad (2.1)$$

2.2.2 SÉMANTIQUES

Pour une séquence d'états $s_0, s_1, s_2, \dots, s_i, s_{i+1}, \dots$ où s_{i+1} est un état futur de s_i , on définit un chemin avec $\pi^i = s_i \rightarrow s_{i+1} \rightarrow \dots$ où i est le premier état dans ce chemin. Étant donné que $\pi(i)$ est l'ensemble de propositions atomiques qui sont vraies au i ème état, le fait qu'un chemin π^i satisfait ou non une formule de la LTL est définie comme suit (Rozier, 2011) :

$$\text{— } \pi^i \models \top \quad (2.2)$$

$$\text{— } \pi^i \not\models \perp \quad (2.3)$$

$$— \pi^i \models p \iff p \in \pi(i) \quad (2.4)$$

$$— \pi^i \models \neg \psi \iff \pi^i \not\models \psi \quad (2.5)$$

$$— \pi^i \models \psi \wedge \varphi \iff \pi^i \models \psi \text{ et } \pi^i \models \varphi \quad (2.6)$$

$$— \pi^i \models \psi \vee \varphi \iff \pi^i \models \psi \text{ ou } \pi^i \models \varphi \quad (2.7)$$

$$— \pi^i \models \psi \rightarrow \varphi \iff \pi^i \models \varphi \text{ chaque fois que } \pi^i \models \psi \quad (2.8)$$

$$— \pi^i \models \mathbf{X} \psi \iff \pi^{i+1} \models \psi \quad (2.9)$$

$$— \pi^i \models \mathbf{G} \psi \iff \forall j \geq i, \pi^j \models \psi \quad (2.10)$$

$$— \pi^i \models \mathbf{F} \psi \iff \exists j \geq i, \pi^j \models \psi \quad (2.11)$$

$$— \pi^i \models \psi \mathbf{U} \varphi \iff \exists j \geq i, \pi^j \models \varphi \text{ et } \forall k, i \leq k < j, \pi^k \models \psi \quad (2.12)$$

$$— \pi^i \models \psi \mathbf{W} \varphi \iff \text{soit } \exists j \geq i, \pi^j \models \varphi \text{ et } \forall k, i \leq k < j, \pi^k \models \psi, \\ \text{soit } \forall k \geq i, \pi^k \models \psi \quad (2.13)$$

$$— \pi^i \models \psi \mathbf{R} \varphi \iff \text{soit } \exists j \geq i, \pi^j \models \psi \text{ et } \forall k, i \leq k \leq j, \pi^k \models \varphi, \\ \text{soit } \forall k \geq i, \pi^k \models \varphi \quad (2.14)$$

Les formules 2.2 et 2.3 suggèrent que les états dans le chemin π^i devraient toujours être vrais ou faux.

Dans la formule 2.4, p est une proposition atomique appartenant à l'ensemble fini de propositions atomiques de la LTL, et cette formule demande de vérifier seulement le i ème état.

Les formules 2.5—2.8 sont les opérateurs booléens de la logique propositionnelle qui respectent les règles du tableau 2.1.

Les formules 2.9, 2.11 et 2.10 sont les conjonctions unaires de logiques temporelles. L'opérateur \mathbf{X} signifie “la prochaine fois” et il saute le i ème état et évalue le chemin π^{i+1} . L'opérateur \mathbf{F} signifie “parfois dans l'avenir” qui exige que dès le i ème état, une propriété reste valide dans un état futur sur le chemin. Et l'opérateur \mathbf{G} (“globalement” ou “toujours”) indique qu'une propriété devrait

ψ	ϕ	$\neg\psi$	$\psi \wedge \phi$	$\psi \vee \phi$	$\psi \rightarrow \phi$
Vrai	Vrai	Faux	Vrai	Vrai	Vrai
Vrai	Faux	Faux	Faux	Vrai	Faux
Faux	Vrai	Vrai	Faux	Vrai	Vrai
Faux	Faux	Vrai	Faux	Faux	Vrai

Tableau 2.1: La table de vérité des opérateurs booléens de la logique propositionnelle

reste valide dans chaque état depuis la i ème état jusqu'à la fin ou le futur infini.

Les formules 2.12, 2.13 et 2.14 sont les opérateurs binaires de logiques temporelles. L'opérateur **U** est l'abréviation de "until". La formule $\psi \text{ U } \phi$ reste valide si ϕ reste valide à un état futur sur le chemin, et avant cet état, la propriété ψ reste valide à chaque état. L'opérateur **W** est une version faible de l'opérateur **U**, sauf que pour la formule $\psi \text{ W } \phi$, ϕ n'a pas besoin de rester valide à terme dans un état futur. L'opérateur **R**, qui signifie "libérer", est en fait une logique duale de l'opérateur **U**, i.e. $\psi \text{ U } \phi \equiv \neg(\neg\psi \text{ R } \neg\phi)$. L'opérateur **R** exige que pour la formule $\psi \text{ R } \phi$, la propriété ϕ devrait continuellement rester valide jusqu'à ψ devient valide et ψ n'a pas besoin de rester valide à terme.

Il convient de noter que dans la LTL, les logiques à deux valeurs pourraient donner un résultat prématuré qui est vrai ou faux. Tel que mentionné précédemment, la LTL est définie pour travailler avec les traces infinies tandis que le monitoring de la vérification à l'exécution est seulement capable de traiter les traces finies, ce qui pourrait conduire à un conflit, en particulier dans un système en cours d'exécution. Par exemple, **F** ψ indique que ψ devraient rester valide dans un état futur. Dans un système actif, tant que ψ ne reste pas valide dans les états observés, les résultats de la formule sont toujours *faux*, mais si ψ devient valide dans l'observation suivante, les résultats précédents deviendra corrompus et obsolètes. Par conséquent, Bauer et al. (2006) ont proposé la logique à trois valeurs (LTL₃) qui introduit une nouvelle valeur *inconcluant* pour les cas où la propriété ne peut pas être évaluée immédiatement.

2.2.3 DIVERSES LOGIQUES TEMPORELLES

Metric Temporal Logic

Metric Temporal Logic (MTL) (Chang et al., 1994) a été inventé pour raisonner sur les propriétés en temps réel. Pour préciser le temps avec précision, MTL coupe le temps en morceaux numérotés qui sont également appelés les modules de transition chronométrés, et emploie les opérateurs aux limites pour contraindre les opérateurs de logiques temporelles. Ses formules sont définies comme suit :

$$\phi ::= \perp \mid p \mid (\phi \rightarrow \phi) \mid (\bigcirc_{\sim c} \phi) \mid (\ominus_{\sim c} \phi) \mid (\phi U_{\sim c} \phi) \mid (\phi S_{\sim c} \phi)$$

où $\sim \in \{<, =, >, \equiv_d\}$ et $c \geq 0, d \geq 2$

$\bigcirc_{\sim c} \phi$ signifie “Suivant”, $\ominus_{\sim c} \phi$ signifie “Précédent”, $\phi U_{\sim c} \phi$ signifie “Jusqu’à” et $\phi S_{\sim c} \phi$ signifie “Depuispas” (Chang et al., 1994). Étant donné que T_i indique le temps du i ème état du chemin π^i , le fait qu’une formule reste ou non valide à la position j du chemin π est défini comme suit (on ignore les opérateurs propositionnels ici) :

$$\begin{aligned} \pi^i \models \bigcirc_{\sim c} \psi &\iff \pi^{i+1} \models \psi \text{ et } T_{i+1} - T_i \sim c \\ \pi^i \models \ominus_{\sim c} \psi &\iff i \geq 1 \text{ et } \pi^{i-1} \models \psi \text{ et } T_i - T_{i-1} \sim c \\ \pi^i \models \psi U_{\sim c} \phi &\iff \exists j \text{ où } i \leq j, \pi^j \models \phi \\ &\quad \text{et } T_k - T_j \sim c, \text{ et } \forall k \text{ où } i \leq k < j, \pi^k \models \psi \\ \pi^i \models \psi S_{\sim c} \phi &\iff \exists j \text{ où } 0 \leq j \leq i, \pi^j \models \phi \\ &\quad \text{et } T_j - T_k \sim c, \text{ et } \forall k \text{ où } j < k \leq i, \pi^k \models \psi \end{aligned}$$

Past Time LTL

Considérant que dans la dernière partie la LTL est définie pour vérifier les états futurs, Past Time LTL (ptLTL) vise à vérifier les états dans le passé. Les formules de la ptLTL sont définies comme suit (Havelund et Roşu, 2004) :

$$\begin{aligned} \phi ::= & \top \mid \perp \mid p \mid (\neg \phi) \mid (\phi \wedge \phi) \mid (\phi \vee \phi) \mid (\phi \rightarrow \phi) \\ & \mid (\odot \phi) \mid (\diamond \phi) \mid (\Box \phi) \mid (\phi S_s \phi) \mid (\phi S_w \phi) \\ & \mid (\uparrow \phi) \mid (\downarrow \phi) \mid [\phi, \phi]_s \mid [\phi, \phi]_w \end{aligned}$$

Comme on le voit dans la définition de formules, la ptLTL conserve plusieurs opérateurs fondamentaux comme la LTL et introduit cinq opérateurs du temps passé et quatre opérateurs de monitoring.

Les cinq opérateurs du temps passé sont \odot qui signifie “précédent”, \diamond “finalement dans le passé”, \Box “toujours dans le passé”, S_s “forte depuis” et S_w “faible depuis”.

Les opérateurs de monitoring $\uparrow \downarrow$, $[\cdot]_s$, $[\cdot]_w$ désignent respectivement “le début”, “la fin”, “intervalles fort” et “intervalle faible”.

Les sémantiques des opérateurs temporels sont décrites comme suit, dans la même forme que

la dernière section :

$$\begin{aligned}
\pi^i \models \odot \psi &\iff \text{if } i > 0, \pi^{i-1} \models \psi, \text{ ou if } i = 0, \pi^0 \models \psi \\
\pi^i \models \diamond \psi &\iff i > 0 \text{ et } \exists j \text{ où } 0 \leq j \leq i, \pi^j \models \psi \\
\pi^i \models \Box \psi &\iff i > 0 \text{ et } \forall j \text{ où } 0 \leq j \leq i, \pi^j \models \psi \\
\pi^i \models \psi S_s \varphi &\iff \exists 0 \leq j \leq i, \pi^j \models \varphi \text{ et } \forall k, j < k \leq i, \pi^k \models \psi \\
\pi^i \models \psi S_w \varphi &\iff \pi^i \models \psi S_s \varphi \text{ ou } \pi^i \models \Box \psi \\
\pi^i \models \uparrow \psi &\iff \pi^i \models \psi \text{ et } \pi^{i-1} \not\models \psi \\
\pi^i \models \downarrow \psi &\iff \pi^i \not\models \psi \text{ et } \pi^{i-1} \models \psi \\
\pi^i \models [\psi, \varphi)_s &\iff \exists j \text{ où } 0 \leq j \leq i, \pi^j \models \psi, \text{ et } \forall k \text{ où } j \leq k \leq i, \pi^k \not\models \varphi \\
\pi^i \models [\psi, \varphi)_w &\iff \pi^i \models [\psi, \varphi)_s \text{ et } \pi^i \models \Box \neg \varphi
\end{aligned}$$

EAGLE

EAGLE (Barringer et al., 2004) il est une logique temporelle de monitoring de traces finies supportant les équations paramétrées par combiner les sémantiques de points fixes minimales/maximales avec les opérateurs temporels.

La vérification de l'exécution en mode *online* nécessite d'accepter les traces incrémentales, ce qui signifie qu'il y a des limites possibles entre les traces. les règles de points fixes minimales/maximales ont été conçues pour résoudre ce problème. Avant d'évaluer la prochaine trace, les équations avec les règles maximales sont nécessaires pour être toujours valides et ceux avec les règles minimales nécessitent seulement d'être finalement valides.

2.3 CADRE DE LA VÉRIFICATION À L'EXÉCUTION

Dans la vérification à l'exécution, les moniteurs sont générés à partir des spécifications formelles par les cadres de la vérification à l'exécution. Il y a quatre modes de monitoring : *offline*, *online*, *inline*, et *outline* comme nous l'avons discuté plus tôt dans cette section. De nombreux cadres et systèmes utilisant des variantes ou des extensions de la LTL ont été proposés, comme le montre le tableau 2.2.

Non	Logique	Mode
JPax(Havelund et Rosu, 2001)	LTL & Past-time LTL	outline
JavaMaC(Kim et al., 2004)	Past-time LTL	outline
Hawk (d'Amorim et Havelund, 2005)	Hawk	outline
Temporal Rover(Drusinsky, 2000)	LTL & MTL	outline
MOP (Chen et Roşu, 2007)	Divers	inline/outline/offline

Tableau 2.2: Cadre de la vérification à l'exécution

Java PathExplorer (JPaX) (Havelund et Rosu, 2001) est un système de la vérification à l'exécution en ligne en vue de surveiller les traces d'exécution de programmes Java. Il dispose de trois modules (le montre la figure 2.2) : un module d'instrumentation, un module d'observation et un module d'interconnexion. Le programme travaillant avec le module d'instrumentation envoie les traces nécessaires d'événements au module d'interconnexion, qui transmet ensuite les traces au module d'observation qui fonctionne éventuellement sur un autre ordinateur. Le module d'instrumentation est fait fonctionner par un script spécifié par l'utilisateur en Java ou en Maude qui est destiné pour la spécification du monitoring de l'exécution.

JavaMaC (Kim et al., 2004) est un "système d'assurance d'exécution" pour les programmes Java tandis que MaC signifie monitoring et vérification. Son architecture est représentée dans la figure 2.3. Deux langues de définition sont proposées : une pour les spécifications de haut

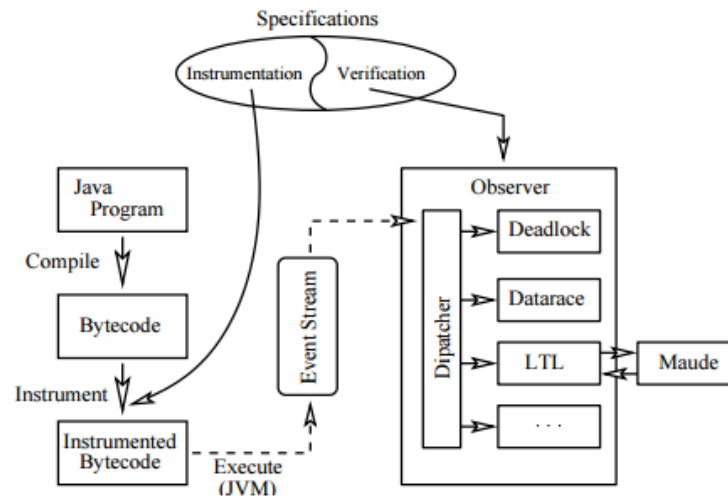


Figure 2.2: L'architecture de JPaX (Havelund et Rosu, 2001)

niveau qui spécifie les propriétés requises, un autre pour la spécification de bas niveau qui définit les événements et les conditions. Pendant la préparation, un “filter” et un “reconnaisseur d’événement” qui sont utilisés pour recueillir les traces d’événements nécessaires sont générés à partir de la spécification de bas niveau, et un “vérificateur d’exécution” est généré à partir de la spécification de haut niveau. Lors de l’exécution du programme cible, les événements collectés par le “filtre” et le “reconnaisseur d’événement” sont envoyés au “vérificateur d’exécution” qui est alors responsable pour les travaux de la vérification à l’exécution.

d’Amorim et Havelund (2005) présentent une logique nommée HAWK et ses outils de programmes Java pour la vérification à l’exécution. La HAWK est en fait construite sur l’EAGLE, une autre logique temporelle qui est considérée comme plus expressive (Barringer et al., 2004). Bien que la HAWK soit basée sur les événements en contraste avec l’EAGLE qui est basée sur les états, les spécifications de la HAWK sont convertis aux moniteurs de l’EAGLE. Comme le décrit la figure 2.4, pendant l’exécution du programme, l’état de la EAGLE est mis à jour par le programme instrumenté qui notifie alors l’observateur de l’EAGLE. Après cela,

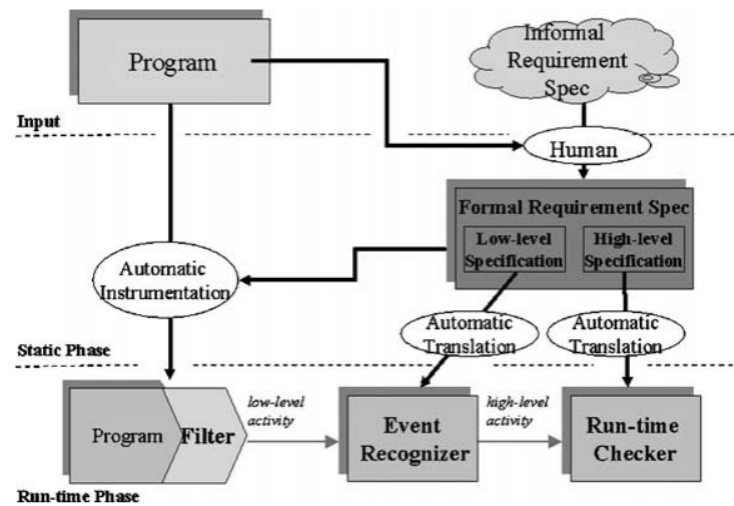


Figure 2.3: L'architecture de MaC (Kim et al., 2004)

l'observateur évalue la formule dans l'état actuel pour produire un résultat.

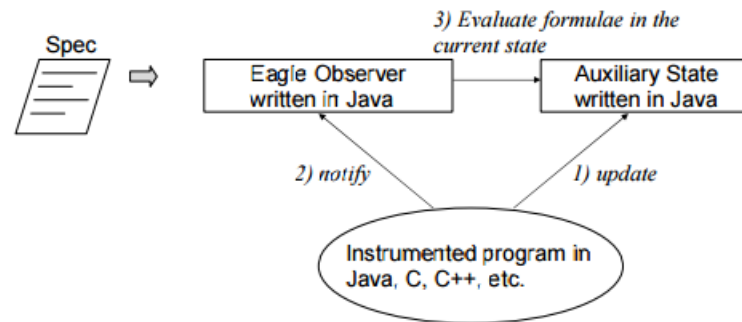


Figure 2.4: L'architecture d'Eagle (d'Amorim et Havelund, 2005)

Temporal Rover (Drusinsky, 2000) est un outil commercial de la vérification à l'exécution basé sur LTL et MTL. Le code de spécification de Temporal Rover est inséré dans le code source Java, C, C++ ou HDL, puis converti en un fichier source compilable du langage correspondant. Un système de la vérification à l'exécution de Temporal-Rover a normalement deux parties : l'hôte et la cible. L'hôte est responsable de la vérification alors que la cible effectue le calcul de formules propositionnelles et renvoie les résultats à l'hôte via le port en série, RPC ou un autre protocole configurable.

Chacun des cadres évoqués ci-dessus utilise une spécification formalisme différente, ce qui suggère qu’il n’y a pas une spécification formalisme général qui peut servir tous les objectifs. Pour être plus expressif et générique, Chen et Roşu (2007) apportent les “logic-plugins” personnalisable et extensible dans leur cadre de l’exécution MOP et a conçu son architecture qui est représentée sur la figure 2.5 avec deux couches : l’une est appelée “language clients” qui soutiennent de différents langages de programmation, tandis que l’autre est nommée “logic repository” qui comprend et gère divers “logic-plugins” pour soutenir différents formalismes de spécification, tels que : Linear Temporal Logic (LTL), Finite State Machines (FSM), Extended Regular Expressions (ERE), Context Free Grammars (CFG) and String Rewriting Systems (SRS).

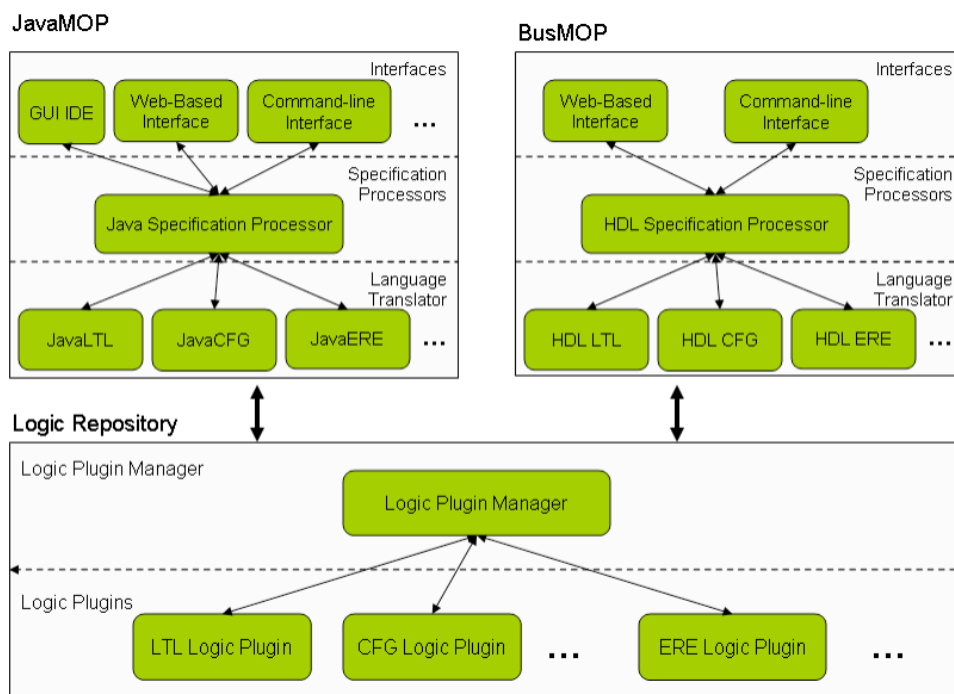


Figure 2.5: L'architecture de MOP (Chen et Roşu, 2007)

Outre les cadres présentés ci-dessus, il y a aussi beaucoup d'autres cadres inventés pour leurs exigences correspondantes ou leur logiques temporelles spécifiques. En comparant ces cadres,

on peut trouver qu'ils ont leurs spécialités aussi bien qu'ils partagent des caractéristiques communes. Par exemple, presque tous les cadres appuient le mode *online* de monitoring, le langage de programmation Java et la communication du réseau, peut-être parce que ces caractéristiques sont l'exigence la plus populaire dans l'industrie. Temporal Rover est un cadre commerciale, donc il doit prendre en charge plus de langages de programmation et fournir plus d'options de collecte de données pour son expansion de commercialisation. MOP est conçu pour être extrêmement générale, et ainsi la plupart des composants peuvent être échangés ou séparément optimisés.

CHAPITRE 3

COMMUNICATION EN STREAMING ET EN TEMPS RÉEL AVEC LES CODES OPTIQUES

Ce chapitre présente une version reformatée et traduite d'un article publié en 2016 dans IEEE Access, v.4, p.284-298 par K. Xie, S. Gaboury et S. Hallé.

3.1 INTRODUCTION

La communication sans fil est une technologie qui permet à deux ou plusieurs pairs de communiquer sans câbles électriques ou conducteurs (Tse et Viswanath, 2005) . Alors que la majorité de technologies de communication sans fil utilise les ondes radio comme leurs milieux de transmission, quelques autres utilisent la lumière, en particulier dans les situations où la technologie radio est difficile à fonctionner. La communication optique en elle-même remonte à l'utilisation de drapeaux, les signaux de fumée et les lampes signalétiques pour communiquer de l'information entre deux points avec l'utilisation d'un code spécifique (Burns, 2004).

Récemment, une forme simple de communication optique, appelé *Quick Response Code* (code QR) (Denso Wave Inc., 2015), a émergé comme un raffinement de la technologie existante de

code-barres unidimensionnels. En raison de leur exactitude et leur grande capacité, les codes QR ont été utilisés dans de nombreux domaines ; les applications du traitement de tels codes ont également été portées à une variété de dispositifs, y compris les ordinateurs de bureau, les smartphones, et même les télévisions.

Cependant, jusqu’au présent les codes QR ont été utilisés pour la transmission de données statique. En général, un code est imprimée sur un milieu physique, tel qu’une feuille de papier, et il est lu par un appareil optique (généralement une caméra) pour le décodage à un moment ultérieur. Dans ce chapitre, nous explorons l’idée de l’expansion de codes QR et les transformons en un canal dynamique de communication unidirectionnelle. Dans un tel canal, un flux de données est transmis par une *séquence de codes* ; généralement, ces codes sont continuellement générés et affichés sur un appareil, et simultanément capturés et décodés par un autre, ce qui est similaire aux autres types de technologies de communication.

Après avoir brièvement décrit dans la Section ?? les bases de codes QR et d’autres technologies de communication sans fil, nous nous concentrons dans la Section 3.3 sur le principe de communication de codes QR bruts. Particulièrement, nous essayons de trouver les limites intrinsèques d’un tel canal de communication, par l’analyse de l’influence de divers facteurs, tels que la densité de code, le nombre de codes affichés par seconde, etc. Les résultats d’un benchmark qui couvre plus de cent combinaisons différentes de paramètres permettent d’extraire les conditions optimales qui minimisent le taux d’erreur dans le décodage des images, tout en maximisant la quantité de données qui peuvent être transmises par unité de temps.

Ces premiers résultats indiquent que les flux de code QR peuvent en effet être utilisés comme un canal simple et unidirectionnel, mais que la communication sans erreur et la bande passante élevée sont plus ou moins impossible. Par conséquent, en tant qu’un deuxième temps, nous

concevons un protocole qui est approprié pour la nature spécifique de communication de codes QR. Ce protocole, appelé BufferTannen, est décrit dans la section 3.5. Il est capable d'encapsuler les données brutes, de fournir diverses capacités de signalisation, de pouvoir représenter les données semi-structurées (telles que JSON) sous une forme binaire compacte, et prend en charge le cadrage/décadrage et le streaming de données.

Une seconde expérience révèle la robustesse de ce schéma de transmission : en utilisant notre protocole spécialement conçu, le canal de communication créé par une personne qui pointe un smartphone à bout du bras vers un écran avec les codes QR vacillants, produit une bande passante suffisante pour transmettre l'audio à usage vocal en temps réel. La Section 3.4 présente l'environnement et les résultats des expériences de cette deuxième étape. Nous montrons aussi comment un morceau de données, coupé en plusieurs codes avec l'utilisation de BufferTannen, peut être reconstruit automatiquement par un utilisateur qui passe sa caméra sur une feuille de ces codes imprimés dans aucun ordre particulier.

Ce travail a été motivé par une application pratique dans le domaine de la vérification à l'exécution. Dans les recherches antérieures, nous avons proposé et officiellement expérimenté l'utilisation de codes optiques comme une forme de communication à couplage lâche entre un système logiciel et un moniteur externe qui reçoit les événements produits par ce système-là (Lavoie et al., 2014). Dans ce contexte, la communication par les milieux optiques assure un isolement complet entre le système et son moniteur.

Bien que l'utilisation de séquences de codes QR a été officiellement suggéré dans le passé, au mieux de notre connaissance, notre recherche est la première enquête systématique du potentiel de codes QR pour envoyer les flux de données en temps réel.

La solution que nous proposons fournit une méthode de distribuer les données en streaming sans dispositifs dédiés de communication. Les appareils requis sont seulement une caméra

commune (comme une webcam ou la caméra dans un téléphone portable) et une petite surface plane pour afficher les codes QR séquentielles — par exemple, un écran d’ordinateur, une télévision ou un smartphone, ou même une feuille de papier.

3.2 COMMUNICATIONS SANS FIL

Cette section rappelle quelques technologies communes de communication sans fil. Malgré leur popularité et leur performance, chacun a ses propres limites et les scénarios d’application.

3.2.1 ONDES RADIO

Le premier milieu évident de communication sans fil est grâce à l’utilisation d’ondes radio, dont le meilleur exemple est WiFi (Comer, 2008), utilisé pour la mise en réseau sans fil de la zone locale. Ses variantes sont basées sur la famille de standards IEEE 802.11, et prennent en charge la mise en réseau centralisée (routage) et décentralisée (*ad hoc*). Le Tableau 3.1 montre les standards populaires de 802.11 et une partie de leurs spécifications.

Protocole	Fréquence	Débit maximal de données physique	Portée intérieur
802.11a	5 GHz	54 Mbps	35 m
802.11b	2.4 GHz	11 Mbps	35 m
802.11g	2.4 GHz	54 Mbps	38 m
802.11n	2.4/5 GHz	150 Mbps	70 m
802.11ac	5 GHz	866.7 Mbps	35 m

Tableau 3.1: Résumé de protocoles WiFi (Theng, 2008; Perahia et Stacey, 2013)

Un deuxième concurrent dans cette famille est Bluetooth (Comer, 2008), qui est utilisé à courte portée et généralement point à point entre les appareils. Sa portée varie d’environ 1 à 100 mètres en fonction de la classe d’énergie. Le Tableau 3.2 montre différentes versions de Bluetooth et leurs débits de données spécifiques.

Version	Débit de données	Portée
Version 1.2	1 Mbps	Classe 1 : 100 m ; Classe 2 : 10 m ; Classe 3 : 1 m
Version 2.0 + EDR	3 Mbps	
Version 3.0 + HS	24 Mbps	
Version 4.0	24 Mbps	

Tableau 3.2: Spécifications de Bluetooth (Gupta, 2013)

Enfin, ZigBee (Farahani, 2011), basé sur le standard IEEE 802.15.4, vise à mettre en œuvre une communication sans fil à courte portée avec une faible énergie et une batterie longue durée. Le Tableau 3.3 montre ses performances dans différentes bandes de fréquences.

Bande de fréquence	Débit de données	Portée
868–870 MHz	20 kbps	10–100 m, en fonction de la puissance de sortie et de l’environnement
902–928 MHz	40 kbps	
2.4–2.4835 GHz	250 kbps	

Tableau 3.3: Spécifications de ZigBee (Lee et al., 2007)

Tous ces protocoles partagent un commun point : avant d’autoriser toute forme de communication entre deux extrémités, une certaine forme de *découverte* ou *configuration* de dispositifs est nécessaire. Ce processus est généralement achevé à travers l’établissement d’une *connexion* avec états à long terme entre les extrémités.

3.2.2 IRDA

Dans une autre famille, on trouve les technologies utilisant les ondes infrarouges au lieu du signal radio (Sarkar et al., 2007). Outre les longueurs d’onde différentes, ces technologies se détendent généralement les exigences de l’établissement d’une connexion, et permettent une communication plus “on-the-fly” entre deux appareils. En règle générale, une extrémité d’une liaison infrarouge attend les données entrantes, tandis que périodiquement, un autre appareil

pointe au récepteur et émet les rayons infrarouges transformés à partir des petit morceaux de données sans nécessité de préavis.

Une importance particulière est le standard IrDA (Infrared Data Association) ; ses émetteurs envoient les impulsions infrarouges avec un angle de cône et une irradiance modérée alors que ses récepteurs peuvent être à moins d'un mètre ou plusieurs mètres de ceux-là, en fonction de l'énergie des émetteurs et de la position dans le cône. La communication IrDA est semi-duplex et fournit CRC de base. Le Tableau 3.4 montre plusieurs schémas IrDA et leurs débits de données dans la portée spécifique.

Schéma	Débit de données	Portée
SIR	2.4–115.2 kbps	jusqu'à un mètre
MIR	0.576–1.152 Mbps	
FIR	4 Mbps	
GigaIR	512 Mbps–1 Gbps	

Tableau 3.4: Débits de données de schémas de couche physique de IrDA (Millar et al., 1998)

3.2.3 *VISIBLE LIGHT COMMUNICATION*

Comme l'indique son nom, Visible Communication Light (VLC) (Komine et Nakagawa, 2004) utilise les longueurs d'onde dans la gamme visible (400-700 nm) pour communiquer les données entre les pairs — ceci est généralement réalisé par allumer et fermer rapidement une source de lumière, ce qui permet une forme de codage des données comme les codes Morse. Un récepteur (par exemple une cellule photo-électrique) pointé par la source de lumière détecte ce vacillement et le convertit en données numériques. Avec les lampes fluorescentes comme la source lumineuse, le débit de données peut atteindre 10 kbps, tandis qu'avec la technologie LED, le débit de données peut être aussi élevé que 500 Mbps. La gamme dépend surtout des spécifications différentes, mais parce que la lumière ne peut pas traverser les murs

et peut également être affectée par le mauvais temps ou d’autres sources de lumière, sa portée et la fiabilité sont limitées (Arnon, 2015).

Ce mode de communication est intrinsèquement unidirectionnel, car on ne peut pas répondre à la source de lumière, reconnaître la réception de l’information, ou demander d’une retransmission en cas de la perte de données. Par conséquent, cette technologie est aussi celle qui nécessite le moins couplage entre un émetteur et un récepteur ; Selon tous les moyens pratiques, l’émetteur n’a pas connaissance de la présence d’un récepteur, qui, de son côté, peut choisir de commencer à recevoir à tout moment. Nous verrons plus loin que cette caractéristique est également partagée avec le canal de communication de codes QR que nous essayons de concevoir.

3.3 FLUX DE CODES QR

Dans le court sondage précédent de technologies de communication sans fil sont mentionné les codes optiques, qui sont aussi un moyen de transport de données sans nécessité d’un milieu physique. Dans cette section, nous passons en revue le concept de codes QR, et discute l’idée de produire les flux de données par les séquences de tels codes.

3.3.1 APERÇU DE CODES QR

Un code QR (officiellement appelé “Quick Response Code”) (Denso Wave Inc., 2015) est un code-barre à deux dimensions qui stocke des données, comme le montre la figure 3.1. En comparaison avec le code-barre bien connu UPC, qui est linéaire (i.e. unidimensionnel), un code QR peut stocker plus d’informations dans une impression plus petit.¹ Le standard du code QR

1. <http://www.qrcode.com/en/>



Figure 3.1: Un code QR avec le texte “Hello world !”

Niveau de correction d’erreur	Bits de données	Caractère numérique	Caractère alphanumérique	Caractère binaire	Kanji
L	23,648	7,089	4,296	2,953	1,817
M	18,672	5,596	3,391	2,331	1,435
Q	13,328	3,993	2,420	1,663	1,024
H	10,208	3,057	1,852	1,273	784

Tableau 3.5: Capacités maximales de stockage de codes de la version 40

stipule que ces codes peuvent avoir une capacité aussi élevée que 7089 caractères numériques ou 2953 caractères à 8 bits, et qu’un code est représenté dans un tableau carré d’un maximum de 177×177 “pixels”, appelé *modules* (International Organization for Standardization, 2006).

La capacité d’un code QR dépend principalement de son type de données, de sa version et de son niveau de correction d’erreur. Le type de données peut être *uniquement numérique*, *alphanumérique*, *binaire*, ou *Kanji*. La version de 1 à 40, détermine les dimensions d’un code, qui varient de 21×21 à 177×177 modules. Les codes QR utilisent une forme de codage à correction d’erreur qui peut choisir parmi quatre niveaux : *Low* (L), *Medium* (M), *Quartile* (Q), et *High* (H), comme il est indiqué dans le Tableau 3.5. Évidemment, comme le niveau augmente, plus de redondance est introduite dans le contenu du code, ce qui diminue sa capacité de stockage ; Cependant, plus de données peuvent être restaurées si le code est sale ou endommagé. Avec les formes de détection de position inclus dans le symbole, un code QR peut être décodé en 360 degrés.

Avant de générer un code QR à partir d’un morceau de données, un générateur de code doit

analyser les données d'entrée pour décider le mode et la version la plus efficace. Dans le codage de données, les caractères sont convertis en un flux de bits, et dans ce progrès, certains *indicateurs de mode* et *termateurs* sont insérés pour les changements de mode. Le flux de bits est ensuite divisé en mots de code à 8-bits, et les caractères de remplissage sont nécessaires pour combler le nombre de mots de code de la version choisie. La séquence de mots de code générée est divisée en blocs selon le niveau de correction d'erreur spécifique et un mot de code de correction d'erreurs est généré pour chaque bloc. Ensuite, les mots de code de chaque bloc sont entrelacés et quelques bits restants sont ajoutés selon le besoin.

Dans l'étape suivante, le générateur met les modules de mots de code dans une matrice en noir et blanc avec la forme de recherche, les séparateurs, la forme de synchronisation et les forme d'alignement ; il applique les formes de masquage, évalue et sélectionne ensuite la forme appropriée. Enfin, il génère le *format* et *l'information de version* et complète le code QR (International Organization for Standardization, 2006).

Les étapes de décodage ne sont que tout simplement l'inverse de la procédure de codage. Dans un premier temps, le code QR doit être situé et les modules noirs et blancs sont reconnus comme 0s et 1s qui forment un tableau binaire. De ce tableau binaire, le décodeur reçoit l'information du format et de la version. Avec ces informations, il peut commencer à lire les caractères et les mots de code de correction d'erreurs, puis tente de détecter et de corriger les erreurs avec les mots de code de correction d'erreur selon le niveau de correction d'erreur approprié. Dans l'étape suivante, les mots de code de données sont divisés selon le *indicateurs de mode* et les *indicateurs de nombre de caractères*, et les caractères de données sont finalement décodés et sortis.

3.3.2 LE CAS DU CODE QR COMMUNICATION

Le processus précité s'applique au codage au décodage d'un code unique contenant les données statiques. Nous enquêtons maintenant l'idée de l'utiliser les codes QR en tant qu'un canal de communication, où les données en temps réel seraient transformées en situation réelle comme une *séquence* de codes QR, qui pourraient ensuite être optiquement capturés par un dispositif, et reconverti en flux de données d'origine à l'extrémité de réception.

L'utilisation de communication de codes QR présente plusieurs avantages dans une poignée de scénarios. Par exemple, la Marine américaine a enquêté l'utilisation de codes QR comme un "sémaphore numérique". La technologie proposée se concentre sur la détection de codes à basse résolution à partir de très longues distances, et souligne l'intérêt et les cas possibles d'utilisation de cette technologie dans un contexte militaire :

"Arguably the most significant advantage of QR code LOS [line of sight] communications is the fact that they can be conducted without emitting energy in the RF spectrum. In an emissions controlled (EMCON) environment, this will provide a critical ability to communicate between ships without increasing the possibility of position detection." (Richter, 2013, p. 46)

Cependant, dans l'ouvrage cité, les codes sont considérés comme *statique*, c'est-à-dire qu'ils ne changent pas au fil du temps pour former un flux de données, et plus ou moins agissent comme un substitut de drapeaux ou de signes. Néanmoins, l'absence de toute émission d'ondes radio dans la communication de codes QR s'avère un avantage attrayant dans certains scénarios.

Nous avons également vu dans la section précédente comment toutes les autres technologies, telles que Bluetooth ou IrDA, nécessitent un matériel dédié. En revanche, la communication de codes QR peut être réalisée à travers les codes imprimés sur une surface dure, ou par un

dispositif capable d'afficher les images à une résolution suffisante : les écrans de télévision, les écrans d'ordinateur, les tablettes et les téléphones cellulaires. De même, la réception peut être faite par un appareil équipé d'une caméra commerciale normale. Cela peut convertir les appareils équipés de ce matériel courant en dispositifs de communication, même s'ils ne sont pas conçus à cet effet en premier lieu. On peut même imaginer les situations d'urgence dans lesquelles tous les moyens numériques de communication entre deux points ne fonctionnent pas. Si la ligne de vision peut être établie et un affichage et une caméra sont disponibles, l'utilisation de codes QR permet néanmoins de transmettre les données numériques — sans doute beaucoup plus rapidement que le manuel écriture ou transcription.

Enfin, nous avons mentionné au début comment l'utilisation d'un canal de communication optique et strictement unidirectionnelle peut également être souhaitable, même dans les situations où la communication radio ou câble est disponible. Par exemple, dans le contexte de la vérification à l'exécution, l'exécution d'un système est actuellement observée par un processus externe appelé *moniteur*. Pour empêcher le moniteur d'interférer avec l'exécution du système, il est souvent placé sur une machine séparée, avec un canal de communication qui transporte les événements d'une en faveur de l'autre. Cependant, dans les protocoles traditionnels tels que TCP, la nature bidirectionnelle d'une connexion présente un risque trop élevé d'attaques contre le programme de monitoring. En outre, certaines configurations de logiciels sont nécessaires pour brancher le moniteur au programme : les adresses IP, les noms de tube, les ports, etc., ce qui représentent trop de couplage dans de nombreux scénarios. Nous avons discuté dans le travail passé (?) comment l'utilisation d'un canal de communication optique peut atténuer ces problèmes en fournissant un plus grand isolement entre le système et son moniteur.

3.3.3 ESTIMATING BANDWIDTH AND ERROR RATE

However, one-way transmission introduces the possibility of losing frames during the process, due to the limitation of the physical devices or the vulnerability of the software. Moreover, it is impossible for the transmitter to be aware of any missing frames on the receiving end and resend them. Therefore, we need to analyze thoroughly this approach to estimate the *recognition rate* and the *transmission bandwidth* of such a communication channel.

The transmission of codes takes multiple parameters : each frame's data size, the number of generated frames per second (fps) and the error correction level. All three can have an important effect on the generation of QR codes and the resulting bandwidth. Larger data size leads to a higher symbol version of the QR code and more symbol modules, and with the same frame size, a higher correction level requires more symbol modules than a lower one.

Because the sender cannot be aware of any codes missed by the receiver, this one-way communication channel is actually a lossy channel, of which the *effective* bandwidth can be calculated with the measured frame recognition rate. This represents the number of bits that are correctly received.

$$bandwidth = fps \times frame_bits \times recognition_rate$$

If the receiver finds that not all the frames are received, the only way is to make sure the sender sends all the frames again and again until the receiver gets all frames and stops ; the actual bandwidth is :

$$bandwidth = fps \times frame_bits \div actual_sent_times$$

The recognition rate is normally determined by the ability of the camera and the screen,

the accuracy of the recognition algorithm and the code's complexity (i.e. the number of the displayed modules). However, within the ability of the camera and the screen, if we can send the same frame for more than once, meanwhile the value of *fps* doesn't need to change, the practical recognition rate can be improved.

$$practical_recognition_rate = 1 - (1 - recognition_rate)^{times}$$

3.4 EXPERIMENTS

In this section, we describe experiments in which we measure the accuracy of reading sequences of QR codes in various conditions. The purpose of these experiments is threefold :

1. assess whether data can be successfully transmitted through the reading of sequences of optical codes ;
2. determine the parameters that maximize the decoding rate and bandwidth of the transmitted data ;
3. from these results, determine the characteristics of a typical QR stream communication channel.

3.4.1 EXPERIMENTAL SETUP

Our set of experiments involves producing and displaying sequences of QR codes on one end, and capturing and decoding these sequences on the other. In our experimental environment, we used a Samsung 19-inch LED monitor as the transmitter and a high-definition Logitech webcam as the receiver. The camera was placed at a fixed distance of 50 cm from the screen. The resolution of the monitor was 1280×1024 pixels. The camera was placed on a stable



Figure 3.2: Experimental setup for reading codes.

surface, with the optical code zone correctly in focus and covering the whole field of view. The computer used for the experiments is a laptop with the Intel Core i7-3632QM processor and 16 GB of memory. Figure 3.2 shows the setup used for the experiments.

In the development, we chose OpenCV² to capture the images from the camera and ZXing³ to generate and decode the QR codes. To reduce the CPU and memory's overhead of capturing and decoding, the captured images were transformed to 16-level grayscale. The data used to generate QR codes were randomly generated *alphanumerics*. All benchmarking code is implemented in Java and is freely available.⁴

2. <http://opencv.org/>

3. <https://github.com/zxing/zxing>

4. <http://github.com/sylvainhalle/GyroGearloose>

The code decoding depends on the quality and the complexity of the captured image. If the image is broken or blurred, it will be difficult to decode. And the algorithms of image recognition may have the probability of failure (Adelmann et al., 2006). Therefore, our first step is to measure the ability of optical recognition libraries to properly read sequences of codes, irrespective of the actual data contained in these codes. Sequences of codes were generated by producing a character string of the form `dddd#rrrr...`, where `dddd` is a sequential number starting from zero and incrementing by one on each successive code, and `rrrr...` is a random string of characters (different on each code) long enough to fill the code up to its maximum size. Each test consisted in filming the sequence of such codes and storing the sequential number of each correctly decoded image into a file. This allows us to determine the fraction of all codes that were correctly read; given the size of each code and the number of codes sent, this makes it possible to compute the bandwidth and decoding error rate.

Our experiments quickly tripped over what appears to be a bug in the ZXing image decoding library. When analyzing sequences of images captured by the camera to look for decoding errors, we discovered that a number of times, the decoding failed while the corresponding image seemed to have no apparent problem (no blurring, correct framing, etc.). Putting the offending codes back on screen and trying to properly decode them with the camera yielded no success, even after changing the code's size, the camera's position, lighting conditions, etc. This is all the more puzzling that codes immediately before and after the problematic one were correctly decoded in multiple frames, while being captured in the same conditions. Even sending the code's "pure" image directly back into the decoding algorithm, without going through a camera, produces a decoding error.

It therefore seems the library cannot recognize some of the codes it itself produces (Figure 3.3 shows such an example). This most probably indicates a bug in the library, which has persisted up to the latest version available at the time this chapter was written. Therefore, in



Figure 3.3: A QR code generated by ZXing that ZXing itself cannot decode in the experiment.

the following, the reader should keep in mind that an unknown proportion of reading errors may be due to this purported bug, and not to the particular experimental conditions. This is the case, for example, for the gaps in the correction rate we shall observe in Figures 3.4 and 3.5.

3.4.2 *EXPERIMENTAL PARAMETERS*

The experiment seeks the combination of parameters that could maximize the bandwidth and minimize the error rate for the transmission of codes. The parameters that were considered are the following.

Code Resolution

The first parameter is code data size (i.e. the number of data bits contained in each code) and physical size (number of pixels used to display the code on screen). We varied the data size in increments of 500 bits, from 500 up to 4,500 bits. As shown in Table 3.6, the largest QR code, which contains 4,500 bits of data using the highest error correction level, is 101×101 modules large. We also fixed the code's physical size to 700×700 pixels, which makes each module a square of at least 6×6 pixels.

Input data bits	Error correction level	Symbol version	Symbol size
500	L	3	29×29
	H	5	37×37
1000	L	5	37×37
	H	9	53×53
1500	L	6	41×41
	H	11	61×61
2000	L	8	49×49
	H	13	69×69
2500	L	9	53×53
	H	15	77×77
3000	L	10	57×57
	H	17	85×85
3500	L	11	61×61
	H	18	89×89
4000	L	12	65×65
	H	20	97×97
4500	L	13	69×69
	H	21	101×101
5800	L	19	93×93
	H	30	137×137

Tableau 3.6: Sample QR code sizes, according to their data size and error correction level (International Organization for Standardization, 2006)

Code Rate

The second experimental parameter we considered is the code rate, i.e. the number of codes displayed per unit of time. We initially selected 2, 4, 6, 8, and 10 codes per second (cps), and also considered up to 16 cps in a later phase of the experiment.

Error Correction Level

As we have seen, QR codes include additional data intended for error correction. We hence also varied the level of error correction used in each experiment, using either its highest setting (H) or its lowest (L).

Camera Resolution and Rate

The resolution of the camera was not considered as an experimental parameter. It was fixed to its maximal setting, 1920×1080 pixels. Similarly, its frame rate was kept fixed at 30 frames per second. This corresponds to 1080p high-definition video, a setting expected to be found in the majority of recent and future video capture devices. We performed some informal tests with lower resolutions (down to 640×480), which were globally conclusive, but did not deem relevant of including them in our detailed analysis.

3.4.3 EXPERIMENTAL RESULTS

The product of all combinations of code size, error correction level and code rate produces a total of 90 different experiments. These experiments were repeated in three sets, differing in the way in which codes were displayed.

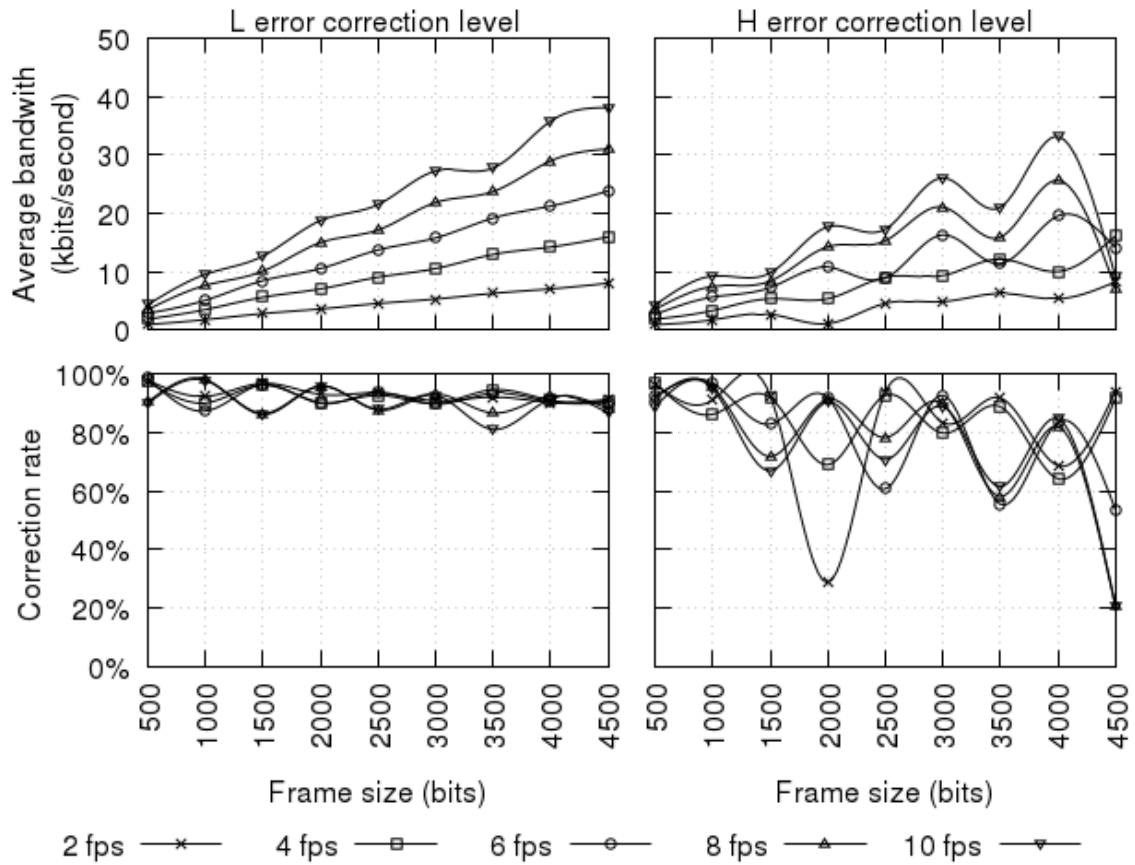


Figure 3.4: Bandwidth and decoding rate in the first experiment

Single Display

In a first experiment, each code was displayed in sequence for a duration of $1/f$ second, where f is the code rate. The bandwidth and decoding rate are shown in Figure 3.4 for combinations of all parameters.

As one can see, the recognition rates of higher correction level were lower than the ones of lower correction level, with all other parameters being equal. This can be explained by the fact that the same amount of data, carried inside a code with a higher correction level, has to display more modules. For example, according to Table 3.6, the modules of a 2,000-bit,

H-level code are as small as those of a 4,500-bit, L-level code. Smaller modules, in turn, yields increased difficulty in recognition by the camera. Therefore, a first conclusion one can draw is that, surprisingly, effective bandwidth seems to be improved by using a *lower* level of error correction.

With the same data sizes and correction levels, the figure shows that the recognition rate decreases as the code rate increases. This can be explained by the fact that, in a higher code rate, the same code occupies fewer camera frames, and hence has fewer chances of being correctly decoded in one of the frames. Moreover, the probability that a code change occurs at the moment a frame is taken (resulting in a blurry image showing part of two different codes) is also increased. In the L level, the decrease is slight, but in the H level, the decrease is dramatic when the code size reaches 3,000 bits. As the data size increases, the recognition rate drops constantly and considerably.

These figures seem to indicate that the ideal configuration for level L is 4,500 bits and 10 fps, which yields an effective bandwidth of 39.0 kbps ; for level H, 4,000 bits and 10 fps result in a bandwidth of 24.6 kbps.

Double Display

Considering that the camera might have missed several frames, we performed a second experiment in which every QR code is displayed twice within a small time window. Hence, instead of displaying each code once for $1/f$ second, each code was interleaved with neighbouring codes and displayed twice for $1/2f$ second each time. This results in the same total exposure time for each code, but increases the diversity in the images captured by the camera.

The results are plotted in Figure 3.5. They show an increase in all recognition rates, which

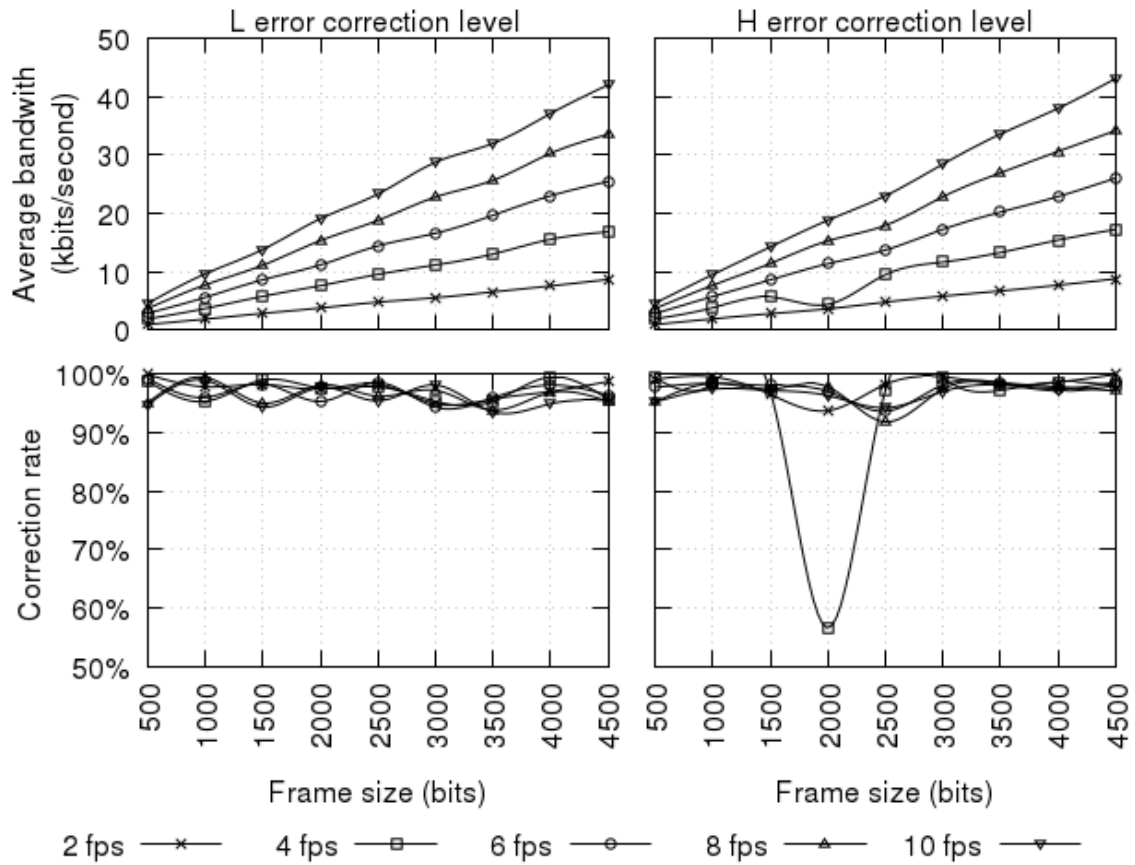


Figure 3.5: Bandwidth and decoding rate in the second experiment, where each code is displayed twice

are now all higher than 90%. This, in turn, increases the effective bandwidth ; using the same settings as above, one can get a bandwidth of 43.0 kbps using level L, and 44.1 kbps using level H.

Random Padding

However, as we discussed earlier, not all QR codes are created equal ; for the same resolution and error correction level, experimental results indicate that some codes seem to be more difficult to read than some others. Therefore, merely repeating the same image multiple

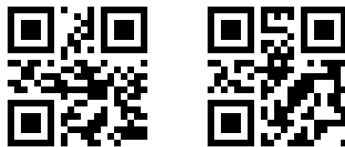


Figure 3.6: Examples of two codes with slightly different data, but widely different dot patterns. The code on the left contains the string “abcdefg”, while the one on the right contains “abcdeff”.

times has no impact on that intrinsic “hardness”. Our third experiment introduces yet another mechanism for boosting recognition rate.

This time, we tried to make the codes from the same input data different by appending, at the end of the data to be encoded, a small random string intended to change every time the code is to be displayed. Hence the same original data, if displayed twice, is prepended to a different random padding each time, yielding a slightly different array of bits. However, by virtue of the QR encoding schema, even a small change at the end of an array produces a completely different pattern of dots in the resulting QR code. Figure 3.6 shows an example of this phenomenon. Therefore, if a code is harder to read, the same data is also displayed in a largely different pattern of dots, increasing the odds of being properly picked up at least once.

Although the objective reason for some codes being harder to read is unknown and out of the focus of this chapter, experimental results seem to confirm this hypothesis. We performed a third experiment where every input data was displayed three times with different generated QR codes. The recognition rate is better than before when the code rate is lower than 10 fps, as shown in Figure 3.7.

These results led us to experiment with higher code rates ; we added 12 cps, 14 cps and 16 cps. The codes were displayed twice. As the Figure 3.8 shows, the maximum effective bandwidth in the result is 65.5 kbps using level L, and 68.3 kbps in level H level, using 16 cps and 4,500-bit codes.

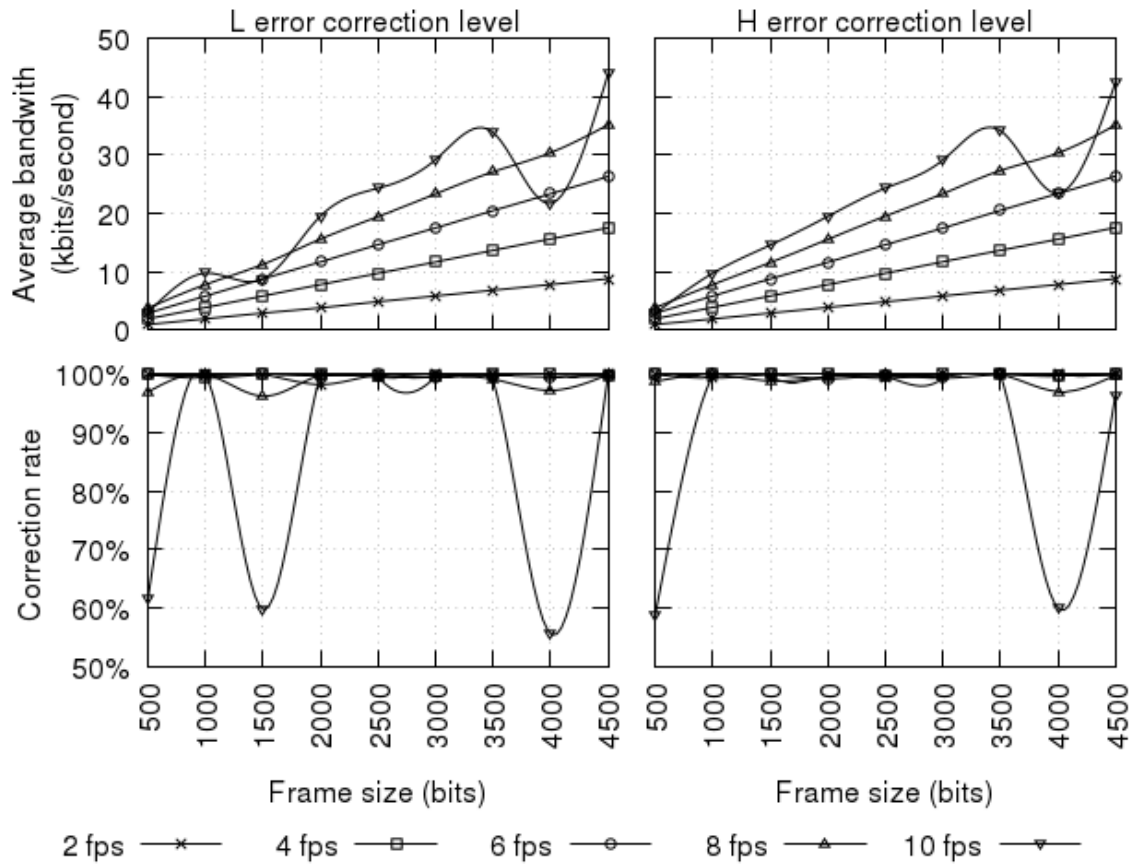


Figure 3.7: Third experiment : triple display and random padding

3.4.4 PARTIAL CONCLUSIONS

These initial experiments allow us to draw a few conclusions on the nature of a QR-based communication channel. First, although higher code rate and code size have a negative impact on the recognition ratio, the increased data that can be carried globally compensates for the higher error rate in terms of *effective* bandwidth. Second, introducing repetition and varying the dot pattern for the same data increases the effective bandwidth; that is, showing two different codes for half the time is more effective than a single code for the same interval. Third, even for the smallest code sizes, the error rate of the channel is never zero, indicating

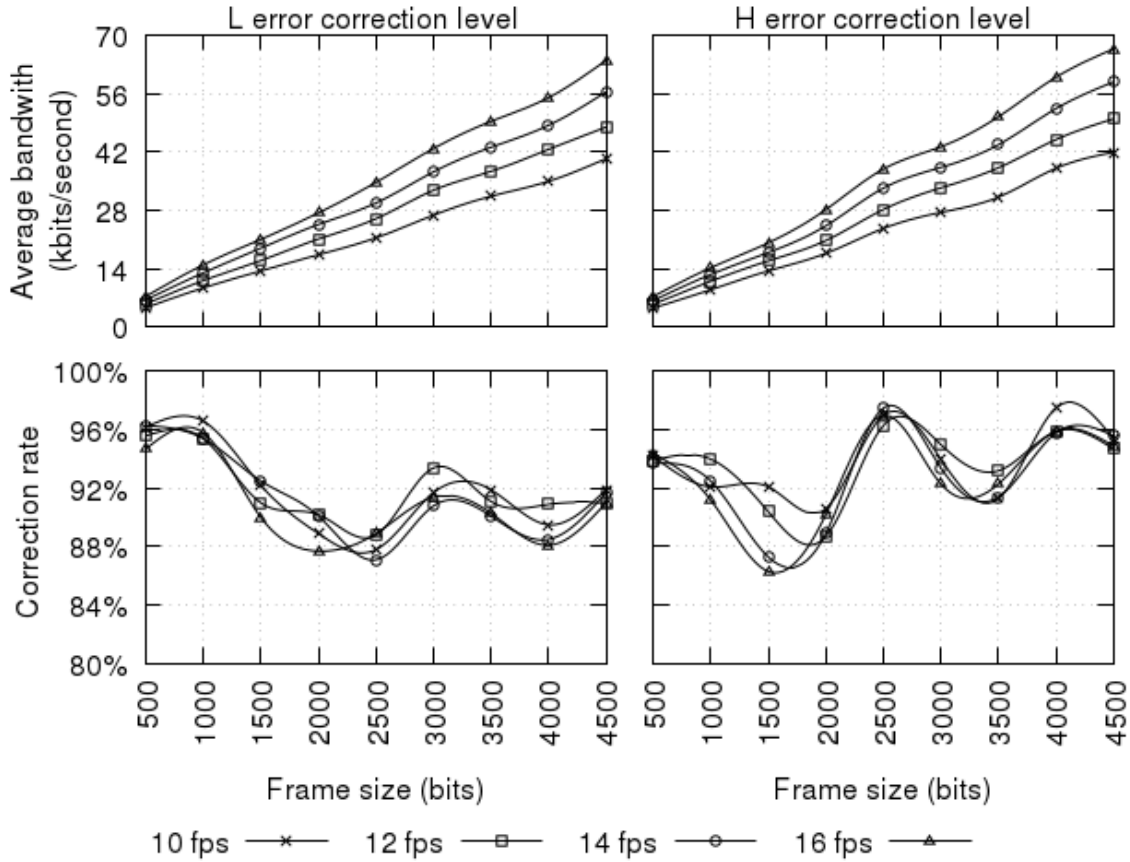


Figure 3.8: Fourth experiment : double display and higher code rates

that the channel is intrinsically lossy.

From these findings, one can reasonably expect a QR code stream to provide a channel with an effective bandwidth of about 40 kbps, when displaying 10 4,000-bit codes per second using the random padding technique and L-level error correction. The decoding rate of the channel using these parameters should be of at least 95%. Obviously, these findings apply to a fixed-camera setting. They do not take into account potential jitter, blurring or other effects that may occur in other contexts —although an informal experiment described in Section 3.5.8 tends to indicate the technology is relatively robust.

3.5 A PROTOCOL FOR ONE-WAY, LOSSY COMMUNICATION CHANNELS

In this section, we propose an approach which uses continuous QR codes as a medium to achieve one-way data transmission.

3.5.1 DESIGN GOALS

In order to implement a communication channel, a specific protocol is essential ; it should be well designed so that the data can be serialized and transferred without significant overhead. Besides, the protocol has to have the ability of splitting the to-be-transferred data into frames to generate the QR images. The result is BufferTannen, a Java software package dedicated to the serialization and transmission of structured data over limited communication channels.⁵ It provides a set of classes allowing the representation of structured data in a compact binary form. Contrarily to other systems, like Google's Protocol Buffers⁶, defining new message types can be done at runtime and does not require compiling new classes to be used. Moreover, messages in BufferTannen cannot be encoded and decoded without prior knowledge of their structure. However, since messages do not contain information about their structure, they use much less space.

BufferTannen also defines a protocol allowing the transmission of messages. Although any channel (TCP connection, etc.) can be used, BufferTannen was designed to operate on a channel with the following specifications, which are based on our initial experimental results :

- The channel is *point-to-point*. The goal is to send information directly from A to B ; no addressing, routing, etc. is provided.

5. <https://github.com/sylvainhalle/BufferTannen>

6. <https://github.com/google/protobuf>

- The channel is *low-bandwidth* (that is, able to transmit a few hundred bytes at a time, possibly less than 10 times per second).
- The channel is *one-way* : typically, one side of the communication sends data that is to be picked up by some receiver. This entails that the receiver cannot acknowledge reception of data or ask the sender to transmit again, as in protocols like TCP.
- The channel is *lossy*. However, we assume that the channel provides a mechanism (such as some form of checksum) to detect when a piece of data is corrupted and discard it.
- A receiver can start listening on the channel at any time, and be able to correctly receive messages from that point on. As such, the communication does not have a formal “start” that could be used, for example, to advertise parameters used for the exchange.

Therefore, the communication channel envisioned as the transmission medium for BufferTannen’s messages can be likened in many ways to a slow broadcast signal, such as Hellschreiber (Evers, 1979), slow-scan television (Bretz, 1984), Teletext (tel, 1976) or RBDS (rbd, 2011).

BufferTannen’s protocol aims at transmitting messages as reliably as possible under these conditions, while preserving the integrity of data and the ordering of messages. The low-bandwidth nature of the channel explains the emphasis on serializing messages in a compact binary form. Since the receiver cannot ask for any form of re-transmission, the protocol must provide for automatic re-transmissions of each message to maximize their chances of being picked up, while at the same time not confusing a re-transmission with a new message with identical content. Moreover, as the receiver can start listening at any moment, and that the schema of messages must be known in order to decode them, the schemas used in the communication must also be transmitted at periodic intervals.

3.5.2 SCHEMAS

The declaration of a data structure is called a *schema*. Information can be represented in three different forms :

- Smallscii : A variable-length string of characters. Since BufferTannen is aimed towards limiting as much as possible the number of bits required to represent information, these strings are restricted to a subset of 63 ASCII characters (letters, digits and punctuation). Each character in a Smallscii string takes 6 bits, and each string ends with the 6-bit string 000000.
- Integer : The only numerical type available in BufferTannen. When declared, integers are given a “width”, i.e. the number of bits used to encode them. The width can be anything between 1 and 16 bits.
- Enumeration : A list of predefined Smallscii constants. Enumerations can be used to further reduce the amount of space taken by a data element when its set of possible values is known in advance.

These basic building blocks can be used to write schemas by combining them using compound data structures :

- List : a variable-length sequence of elements, all of which must be of the same type (or schema). List elements are accessed by their index, starting with index 0.
- FixedMap : a table that associates strings to values. The structure is fixed and the exact strings that can be used as keys must be declared. However, each key can be associated to a value of a different type.

These constructs can be mixed freely. The following represents the declaration of a complex message schema :

```
FixedMap {
  "title" : Smallscii,
  "price" : Integer(5),
  "chapters" : List [
    FixedMap {
      "name" : Smallscii,
      "length" : Integer(8),
      "type" : Enum {"normal", "appendix"}
    }
  ]
}
```

The top-level structure for this message is a map (delimited by {...}). This map has three keys : `title`, whose associated value is a `Smallscii` string, `price`, whose associated value is a integer in the range 0-32 (i.e. 5 bits), and `chapters`, whose value is not a primitive type, but is itself a list (delimited by [...]). Each element of this list is itself a map with three keys : a string `name`, an integer `length`, and `type` whose possible values are `normal` or `appendix`.

Schemas can be represented in a compact and unequivocal binary representation as follows.

Integer The declaration of an integer is encoded as the following sequence of bits :

```
ttt wwwww dddddd s
```

The sequence `ttt` represents the element type, encoded on 3 bits. An integer contains the decimal value 6. The sequence of `w` indicates the integer's width in bits. The width itself is encoded over 5 bits. The sequence of `d` indicates the integer's width, in bits, when expressed as a delta value, i.e. as the difference with respect to an integer from a previous message. The width itself is encoded over 5 bits. The single bit `s` is the sign flag. If set to 0, the integer is unsigned ; if set to 1, the integer is signed. Note that integers expressed as delta values are always encoded as signed integers ; hence this flag only applies to integers occurring as full values.

Smallscii string The declaration of a Smallscii string is simply coded as three bits representing the element type ; a string contains the decimal value 2.

Enumeration An enumeration must provide the list of all possible values it can take. It is formally represented as :

```
ttt 1111 [ssssss ssssss ... 000000 ...
      ssssss ssssss ... 000000]
```

The element type is the decimal value 1, and the sequence `1111` is the number of elements in the enumeration, encoded on 4 bits. What follows is a concatenation of Smallscii strings defining the possible values for the enumeration. Each character is encoded on 6 bits, and the end of a string is signalled by the 6-bit sequence `000000`.

List The declaration of a list is as follows :

```
ttt 11111111 ...
```

The element type is the decimal value 3 ; the 8-bit sequence 11111111 defines the maximum number of elements in the list. What follows is the declaration of the element type for elements of that list.

Fixed Map The last element type is the fixed map, declared as follows :

```
ttt [ssssss ssssss ... 000000 ddd...]
```

The element type is the decimal value 4 ; what follows is a Smallscii string defining the name of a key, followed by the declaration of the element type for that key ; this is repeated for as many keys the map declares.

3.5.3 MESSAGES

A *message* is an instance of a schema. For example, the following is a possible message abiding by the previous schema :

```
{
  "title" : "hello world",
  "price" : 21,
  "chapters" : [
    {
      "name" : "chapter 1",
      "length" : 3,
      "type" : "normal"
    },

```

```

{
  "name" : "chapter 2",
  "length" : 7,
  "type" : "normal"
},
{
  "name" : "conclusion",
  "length" : 2,
  "type" : "appendix"
}
]
}

```

The reader familiar with JSON or similar notations will notice strong similarities between BufferTannen and these languages. As a matter of fact, elements of a message can be queried using a syntax similar to JavaScript. For example, assuming that `m` is an object representing the above message, fetching the length of the second chapter would be written as the expression :

```
m[chapters][1][length]
```

This fetches the `chapters` value in the top-level structure (a list), then the second element of that list (index 1), and then the `length` value of the corresponding map element.

As with schemas, messages can be represented in a compact binary form.

Smallscii string Strings are represented as a sequence of 6-bit characters, terminated by the end of string delimiter 000000.

Integer Numbers are represented by the sequence of bits that encodes their value, without any terminating sequence : the number of bits to read is dictated by the size of the integer, as specified by the corresponding schema element. If the integer is signed, the first bit represents the sign (0 = positive, 1 = negative) and the remainder of the sequence represents the absolute value.

Enumeration An enumeration is simply made of the sequence bits corresponding to the appropriate value. Again, the number of bits to read is dictated by the size of the enumeration, as specified in the schema of the message to read. For example, if the enumeration defines 4 values, then 2 bits will be read. The numerical value i corresponds to the i -th string declared in the enumeration.

List A list begins by 8 bits recording the number of elements in the list. The remainder of the list is the concatenation of the binary representation of each list element. Since the type of each element and the number of such elements to read are both known, no delimiter is required between each element or at the end of the list.

Fixed Map The contents of a fixed map is simply the concatenation of the binary representation of each map value. The key to which each value is associated, and the value type to read, are specified in the schema of the message to read, and are expected to appear exactly in the order they were declared. This spares us from repeating the map's keys in each message.

3.5.4 *READING AND WRITING MESSAGES*

In BufferTannen, both schemas and instances of schemas are represented by the same object, called `SchemaElement`. An empty `SchemaElement` must first be instantiated using some

schema ; this can be done by either :

- Reading a character string formatted as above ; or
- Reading a binary string containing an encoding of the schema. As a matter of fact, in BufferTannen both messages *and* schemas can be transmitted in binary form over a communication channel, and a method is provided to export the schema of some message into a sequence of bits.

Once an empty SchemaElement is obtained, it can be filled with data, again in two ways :

- By reading a character string formatted as above ; or
- By reading a binary string containing an encoding of the data.

Similar methods exist to operate in the opposite way, and to *write* a message's schema or data contents either as a character string or as a binary string. This way, messages and schemas can be freely encoded/decoded using human-readable text strings or compact binary strings.

As one can see, for a message to be read or written, it is necessary first to instantiate an object with a schema. As a matter of fact, trying to decode a stream of data without first advertising the underlying schema will cause an error, even if the stream contains properly formatted data. Similarly, trying to read data that uses some schema with an object instantiated with another schema will also cause an error. In other words, no data can be read or written without knowledge of the proper schema to use.

This might seem restrictive, but it allows BufferTannen to heavily optimize the binary representation of messages. In the absence of a known schema, each message would require to carry, in addition to its actual data, information about its own structure. Practically speaking, this amounts to repeating within each message the description of its schema, interspersed through

the message data. On the contrary, if the schema is known, all this signaling information can be discarded : when receiving a sequence of bits, a reader that possesses the schema knows exactly how many bits to read, what data this represents and where to place it in the message structure being populated. This entails, however, that a receiver that does not know the schema to apply has no clue whatsoever on how to process a binary string.

To illustrate the interest of BufferTannen as a message encoding scheme, we consider the example of transmitting events from a video game to an external monitor.

3.5.5 SEGMENTS

Messages and schemas are encapsulated into a structure called a *segment*. A segment can be of four types :

Message segments contain the binary representation of a message, along with a sequential number (used to preserve the ordering of messages received), as well as the number referring to the schema that must be used to decode the message. A message segment consists of a header structured as follows :

```
tt nnnnnnnnnnnn wwwwwwwwww ssss ...
```

The header starts with two bits describing the type of the segment ; a message segment contains the decimal value 1. The *n* and *w* sections describe the segment's sequential number and total length, both encoded on 12 bits. The four *s* bits provide the schema number in the schema bank that should be used to read this segment. The remainder of the segment is comprised of a map, list, Smallscii string or number, whose binary representation was described above.

Schema segments contain the binary representation of a schema, which is associated to a number. Multiple schemas can be used in the same communication, hence creating a bank of schemas identified by their number. A schema segment consists of a header structured as follows :

```
tt nnnnnnnnnnnn ssss ...
```

The header starts with two bits describing the type of the segment ; a schema segment contains the decimal value 2. The n section describes the segment's sequential number, and the s section gives the the schema number in the schema bank this segment should be assigned to. The remainder of the segment is comprised of a binary string describing the schema, whose representation was described above.

Blob segments are intended to carry raw binary data over the BufferTannen protocol.

Delta segments contain the binary representation of a message, expressed as the difference ("delta") between that message and a previous one used as a reference. Delta segments are used to further compress the representation of a message, in the case where messages don't change much over an interval of time.

```
tt nnnnnnnnnnnn wwwwwwwwwww rrrrrrrrrrrr...
```

The header starts with two bits describing the type of the segment ; a delta segment contains the decimal value 1. The n and w sections describe the segment's sequential number and total length, both encoded on 12 bits. The r section gives the sequential number of another segment, relative to which the delta of the current segment are expressed. What follows is a binary

string that describes the “difference” one must compute with respect to that segment to obtain the contents of the current one.

The computation of the delta is performed recursively on each element of the two messages to compare in the order they occur. It is defined for each element type as follows.

- Smallscii strings : if the corresponding strings are identical, emit the single bit 0. Otherwise, emit the bit 1 followed by the Smallscii string of the target message.
- Integers : if the corresponding numbers are identical, emit the single bit 0. Otherwise, emit the bit 1 followed by the difference between the source and the target integer.
- Enumerations : if the corresponding value of the enumerated type is the same, emit the single bit 0. Otherwise, emit the bit 1 followed by the integer value corresponding to the index of the value in the target message.
- Lists : if both lists have the same elements in the same order, emit the single bit 0. Otherwise, emit the bit 1 followed by the binary representation of the target list.
- Maps : recursively apply the previous rules for each key of the map.

One can see that delta segments apply only a coarse form of comparison. For example, no attempt is made to detect whether two lists differ by the addition or deletion of an element ; the contents of the list is retransmitted in full whenever it is not identical to the original. Nevertheless, this technique allows substantial savings whenever a part of a data structure remains identical from one message to the next.

3.5.6 *FRAMES*

The communication channel sends binary data in units called *frames*. A frame is simply a set of concatenated segments in binary form, preceded by a header containing the version number

of the protocol (currently “1”) and the length (in bits) of the frame’s content. Formally, the binary structure of a frame is as follows :

```
vvvv nnnnnnnnnnnnnn ffff... ffff...
```

The v section consists of the 4-bit protocol version number, followed by 14 bits indicating the total length (in bits) of the frame. Each segment is appended directly to this 18-bit header. As each segment’s header contains its own length, no further marshaling is required to correctly decode segment data.

When many segments are awaiting to be transmitted, the protocol tries to fit as many segments as possible (in sequential order) within the maximum size of a frame before sending it. This maximum size can be modified to fit the specifics of the communication channel that is being used. In the current incarnation of the protocol, segments cannot be fragmented across multiple frames. Hence a segment cannot exceed the maximum size of a frame.

Each frame is then converted into a QR code, with its binary content Base64-encoded as the code’s text. This QR code can then be read at the receiving site, converted into a binary sequence, and parsed back into frames, segments and messages by applying the reverse transformations.

3.5.7 *STREAMING MODES*

BufferTannen is designed with two sending modes, respectively called “Lake” mode and “Stream” mode.

Lake mode is intended for the sending of a finite piece of data, such as a file, or a sequence of BufferTannen messages whose complete contents are known in advance. The data to be sent is

divided into a finite set of segments, and the whole sequence of segments is repeatedly emitted through QR codes. If any frames are missed or incorrectly decoded, the infinite repetition of all segments makes possible to catch the missing data at the next loop. Ultimately, decoding errors may entail that the data needs to be read for more than one loop before it is completely received.

The use of Lake mode can be detected by frames carrying a non-zero value to their “total segments” header field. Hence a receiver that starts reading at any point through the sequence of frames knows how many segments in total are to be received, and the relative position of each segment in the data to be reconstructed. This makes Lake mode a relatively slow, but very robust optical data transmission scheme.

In Stream mode, the data is continuously read into segments which then form a stream of frames, and the frames are immediately sent. The reading process stops only when there is no more data to read. The frames already sent are removed from the memory, so there is no way to resend the data for several times. However, for the sake of the data consistency, we made a buffer for the clones of the sent frames, and after having sent a specific amount frames fetched from the original data, the frames in the buffer are resent again and then removed from the buffer. Therefore, Stream mode is intended to send realtime data, typically where where the data loss is acceptable and the consistency can be slightly sacrificed (e.g. audio or video).

Figure 3.9 shows a portion of the text interface of our QR code receiver implementation. The interface shows that the frames being received are in Lake mode. The buffer state field indicates the progress of the reception. In the example, it shows that 130 out of 219 segments have been correctly received ; the text bar at the left indicates to what portions of the total sequence these segments correspond. A section of the sequence that has not been received at all is indicated by a blank space ; increasingly full portions of the sequence are represented

```

-----
Sending mode:      lake
Buffer state:      [|>      |:..:|:|] 59% (130/219)
Progress:          0408/0000 (13.8 sec @30 fps)
Link quality:      22/30 [***** ] (73%) Global:  339/454 (74%)
Data stream index: 0
Resource ident.:   myfile.jpg
Processing rate:   35 ms/frame (27 fps)
-----

```

Figure 3.9: Part of the text interface of the QR code receiver operating in Lake mode

respectively by the symbols ., . and |. The > symbol indicates the relative position of the last segment that was correctly read.

The “Link quality” field gives a realtime indication of the decoding rate. It shows that 22 of the last 30 images captured by the camera were correctly decoded, and that globally, 339 images were decoded out of 454 captured. The resource identifier and data stream index, carried by each frame, is also displayed.

3.5.8 *EXPERIMENTAL RESULTS*

The experiments of Section 3.4 confirmed our intuition that optical code streams are an inherently unreliable and low-bandwidth communication channel. The compactness of the BufferTannen protocol can be motivated by an example from runtime verification. A particular video game, called Pingus, was instrumented to produce events containing the state of every character in the game. The schema for these events is shown in Figure 3.10.

```

FixedMap {
  "pingus" : List [
    FixedMap [
      "id" : Integer(6),
      "x" : Integer(10),
      "y" : Integer(10),
      "velocity-x" : Integer(4),
      "velocity-y" : Integer(4),
      "state" : Enum {"floater",
        "basher", "builder",
        "athlete", "normal"}
    ]
  ]
}

```

Figure 3.10: The schema of events produced by an instrumented video game.

File Transfer

An event typically contains data for 50 characters, hence the map structure is repeated that many times. Sending such an event in clear-text format, without any whitespace, takes roughly 3,750 bytes. At a rate of 30 events per second, it takes 879 kbps of bandwidth to transmit the event stream. The same event in BufferTannen takes 1,856 *bits*, or 232 bytes. This divides by more than 16 the bandwidth requirements for sending a stream of such events, yielding a bandwidth of 54 kbps.⁷ From that point on, delta segments can be used to further reduce the stream's bandwidth, and transmit the remaining events using slightly more than 100 bytes each, consuming a bandwidth of approximately 24 kbps. Our previous experiments show that this is within the range of what one can reasonably expect to transmit using QR codes.

We then tested the ability of the BufferTannen protocol to mitigate these defects, through its use of repetition and its compact binary representation.⁸

7. Sending the same character string into Gzip shrinks it down to 716 bytes, which makes standard compression a less appealing alternative in that context.

8. A video of BufferTannen in action is available online : <https://www.youtube.com/watch?v=>

We chose to encode data into 4,000-bit codes, which, after the encapsulation of BufferTannen, amounts to a QR code of about 5,800 bits. With the combination of 5800 bits and L correction level, according to Table 3.6, the symbol size is about 93×93 which is between the combinations of 3,500-bit, H-level and 4,000-bit, H-level. From the result of the last experiment, the combinations of 4,000-bit, H level and any sample fps has more than 95% correction rate which is reliable. Secondly, the code rates were 4, 6, 8, 10, 12 fps. According to the last experiment, this configuration is reliable and supposed to be able to supply 23.2–69.6 kbps, and 16.0–48.0 kbps of bandwidth, respectively. In the consideration of the practical application, we chose to transfer a sample file of which the size is 37,656 bytes, and we performed each experiment 20 times.

The result of the Lake mode experiment in Figure 3.11 shows that the best fps value is 10, and in this case the sample file needed to be transferred on average 2.4 times to make sure that the receiver could get all the frames. The average spent time is 17.27 seconds, from which the bandwidth is about 17.0 kbps.

In Stream mode, the percentage of received codes is important. In the experiment, according to Figure 3.12, the average completion ratios of all configurations are over 99%, and the configuration of 12 fps needs approximately 13.11 seconds to send all frames with a data streaming channel of 22.4 kbps.

Paper Swiping

The ability to send streams of data in Lake mode can also be used to supplement QR codes' inherently limited capacity. When displaying a printed code on a piece of paper, large amounts of data can be carried only through increasing the code's resolution ; however, resolution can

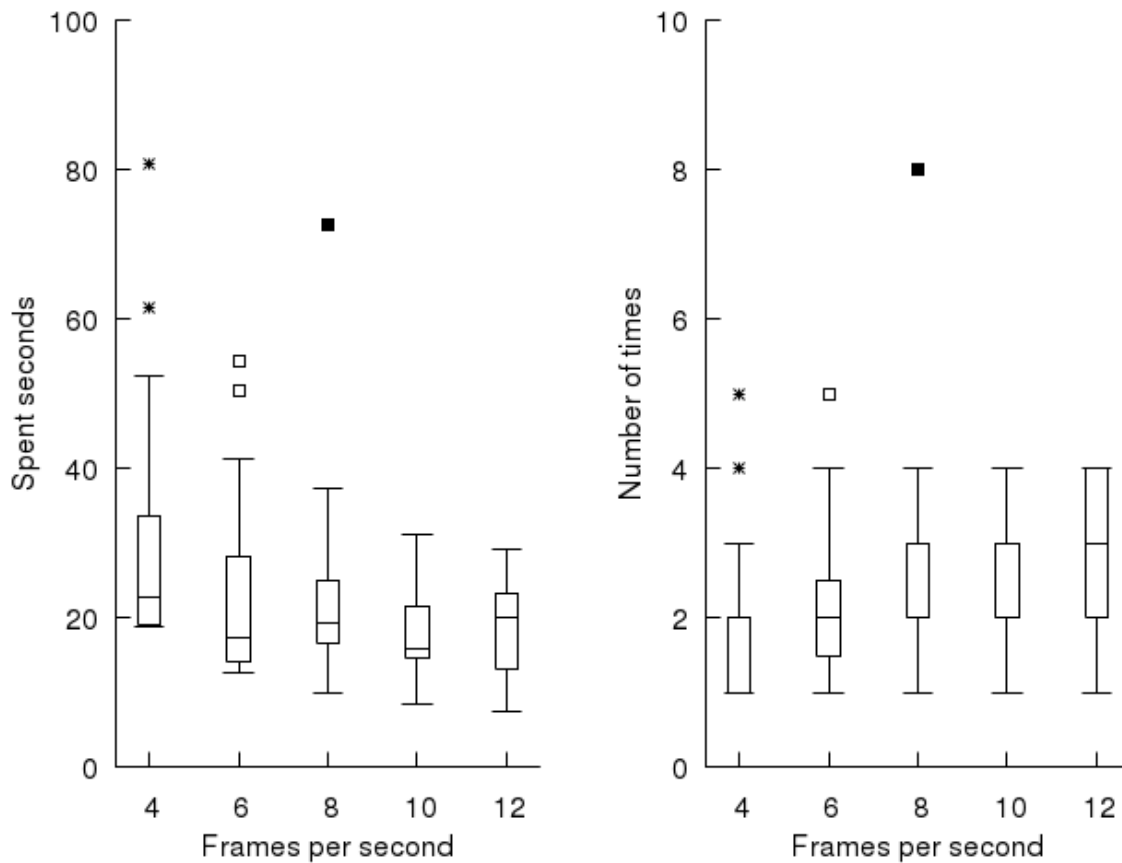


Figure 3.11: Time to send data in Lake mode

only be increased up to a certain, predefined limit.⁹ Moreover, for higher resolutions, the code may become hard to read using entry-level, low-resolution cameras. Therefore, it is safe to assume that, using existing QR code technology, no more than 3,000 bytes of data can be transferred using a QR code.

This limitation can be overcome by the use of the BufferTannen protocol. Although no code larger than roughly 4,000 bytes can be created, multiple such codes can be lined on a piece of paper. Each such code can be formatted to contain a single frame of data sent by the BufferTannen protocol in Lake Mode. It suffices for a user to swipe the camera over these

9. 4,296 alpha-numeric characters, or 3,222 bytes assuming Base-64 encoding.

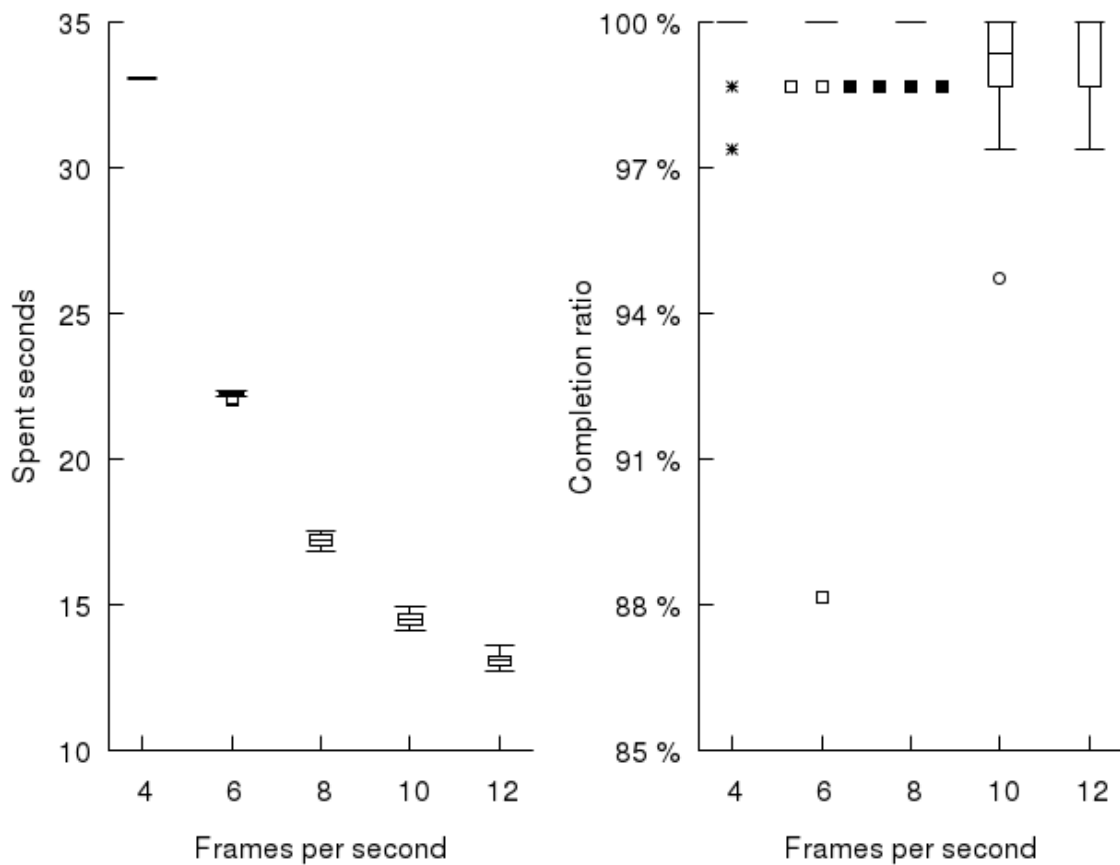


Figure 3.12: Time to send data in Stream mode

multiple codes ; by virtue of Lake Mode, the order in which the codes are scanned is irrelevant, and the complete piece of data can be correctly reconstructed from the individual frames. It is therefore possible to transmit theoretically unlimited amounts of data, while using codes of a lower resolution (this lower resolution being compensated by the presence of more than one code).

To verify this claim, we printed on a piece of paper the contents of a 37 kb file as a sequence of QR codes, processed as frames through BufferTannen in Lake Mode. We then hovered the camera over that sheet of paper at arm's length (see Figure 3.13). The software's user interface displayed in real time the number of frames remaining to be decoded and their location in the

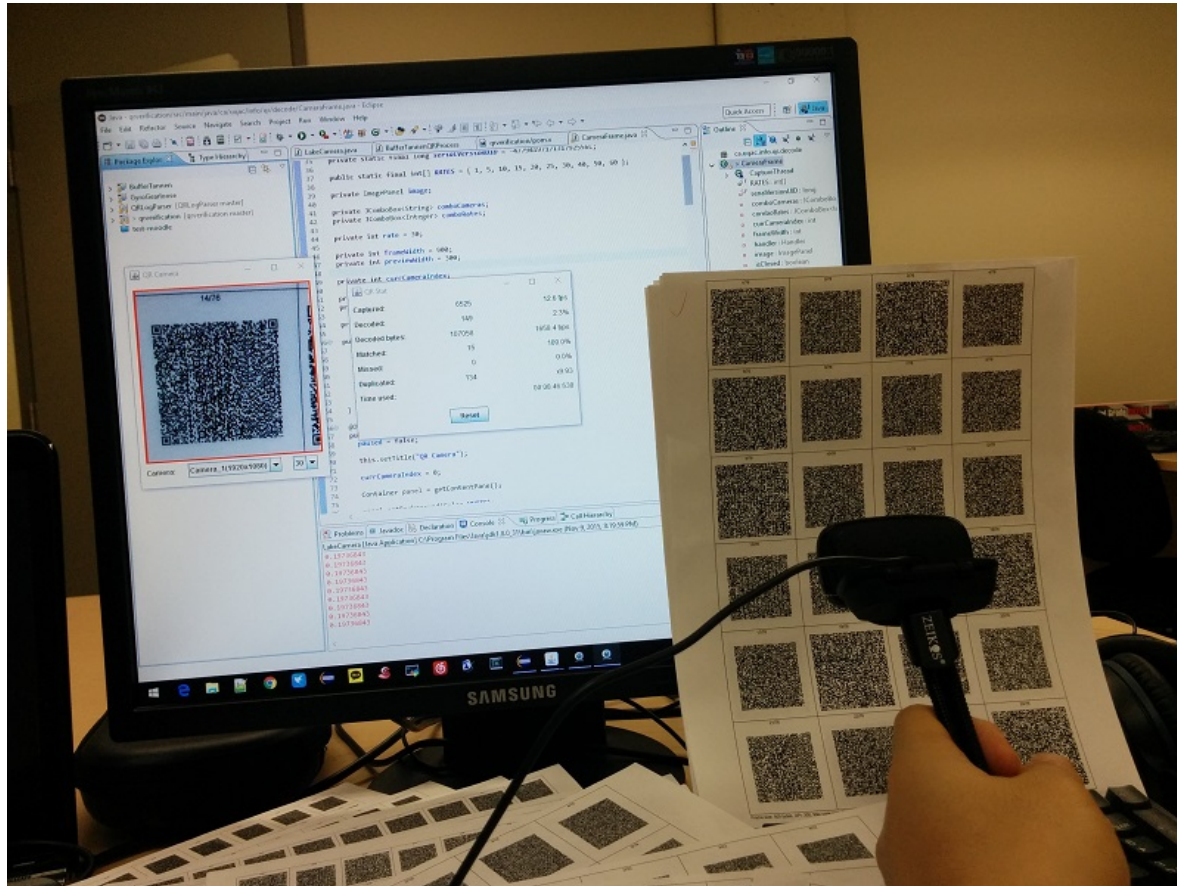


Figure 3.13: Swiping the camera over a set of QR codes to reconstruct the contents of a larger file.

complete stream, giving indications to the user as to which codes to swipe over. It shall be noted that the camera operated in “film” mode, and not in “snapshot” mode. In other words, images were continuously captured by the camera as it was being moved over the sheet ; the user did not need to point and click at each individual QR code (which would be fastidious).

The error correction level chosen was L and the sizes of raw data per code that we tested were 500, 750, 1,000, 1,250, 1,500, 1,750, and 2,000 bytes. With 500 bytes there were 76 codes while with 2,000 bytes there were only 19. After being encapsulated by BufferTannen protocol, the final sizes of data used to generate the QR codes became correspondingly 723, 1,055, 1,391, 1,724, 2,054, 2,389, and 2,722 bytes. The codes were printed at 300 dpi and 600

dpi on standard office paper, and we programmed to give each edge of every code 500 dots in the paper.

At 300 dpi, the codes of size ranging from 500 to 1,250 bytes were all decoded successfully and smoothly. However, when the size reaches 1,500 bytes, the decoding becomes more problematic. For some codes, we had to retry for several times by sticking the camera near the paper for a few seconds, yet among the total 31 codes, three remained impossible to decode at all. In the case of codes of 1,750 and 2,000 bytes, none of the codes could be decoded. This can be explained by the fact that higher density codes entail that each module of the code is smaller and hence harder to capture. For example, the edge of a 500-bytes and L-level code is about 77 modules, so each module can have approximately 6 dots in the paper, while the edge of a 2000-bytes, L-level code is 149 modules, so each module amounts to only 3 printed dots.

At 600 dpi, none of the codes could be decoded, no matter how many bytes they carried. The reason is that the codes printed at 600 dpi are too small and the camera has to approach very closely to the paper, but the captured images were all blurred and out of focus. It therefore seems that codes printed at 600 dpi are beyond the ability of a standard web camera.

Nevertheless, this experiment demonstrates the viability of the concept of hovering a camera across an array of QR codes. Our empirical findings indicate that a stream of data can be split into a set of QR codes of about 1,000 bytes each, the contents of which correspond to individual frames of the BufferTannen protocol containing the data to be transmitted. Swiping the camera over this set of codes, in no particular order, is sufficient to reconstruct on the device side the complete data contents.

3.6 CONCLUSION

In this chapter, we presented a solution for an one-way communication channel based on QR codes, and performed experiments to measure its performance. We first experimentally tested the characteristics of a QR data stream under various conditions, and extracted the parameters maximizing the effective bandwidth of the channel. However, since that channel is inherently error-prone and low-bandwidth, we then introduced BufferTannen, a protocol designed especially for this kind of channel. BufferTannen takes care of splitting, marshaling, and to some extent compressing the data to transmit in order to maximize the efficiency of the QR code stream. The feasibility of this approach was then empirically observed through a new set of experiments.

Within the limits of the protocol and of the communication channel, the presented results can be put to good use in a variety of situations. In limited environments where the use of radio signal or cables is forbidden or difficult, our approach can provide an easy way to communicate between peers, either as an emergency backup or as a primary means. Furthermore, the evolution of the quality of both display and image capture devices makes it possible to foresee increased transmission rates in the future. Finally, the aforementioned techniques could be turned into a bidirectional communication link in the case of endpoints equipped with both a camera and a display. In such a case, acknowledgments of correctly decoded images could be exchanged, which in turn would allow resending data on demand and increase the effective bandwidth.

CHAPITRE 4

OFFLINE EVALUATION OF LTL FORMULÆ WITH BITMAP MANIPULATIONS

This chapter represents a modified version of a paper which is written by K. Xie and S. Hallé and still under review for publication in the proceedings of the International Conference : Runtime Verification 2016 (RV'16) in Madrid, Spain in 2016.

4.1 INTRODUCTION

Temporal logic Huth et Ryan (2004) is a logistic system which uses rules and symbols to describe and reason about the change of a system's state in terms of time. It is based on the idea that one state may not be constantly true or false as time goes. *Linear Temporal Logic (LTL)* (Pnueli, 1977) is a temporal logic, and as its name entails, *LTL* can denote only one sequence of states and for each state there is only one future state.

A *bitmap*, also known as a bit array or bitset, is a compact data structure storing a sequence of binary values. As will be shown in Section 4.2, it can be used to express a set of numbers, or an array where each bit represents a 2-valued option. Bitmaps present several advantages as a data structure : they can concisely represent information, and provide very efficient functions to manipulate them, taking advantage of the fact that multiple bits can be processed in parallel

in a single CPU instruction.

In this paper, we explore the idea of using bitmap manipulations for the offline evaluation of LTL formulæ on an event log. For this purpose, in Section 4.3, we introduce a solution which, for a given event trace σ and an LTL formula φ , first converts each ground term into as many bitmaps ; intuitively, the bitmap for atomic proposition p describes which events of σ satisfy p . Algorithms are then detailed for each LTL operator, taking bitmaps as their input and returning a bitmap as their output. The recursive application of these algorithms can be used to evaluate any LTL formula.

This solution presents several advantages. First, the use of bitmaps can be seen as a form of *indexing* (in the database sense of the term) of a trace’s content. Rather than being an online algorithm merely reading a pre-recorded trace, our solution exploits the fact that the trace is completely known in advance, and makes extensive use of this index to jump to specific locations in the trace to speed up its process. Second, a bitmap having consecutive 0s or 1s can be compressed, which reduces the space cost and speeds up the execution of many operations even further (Kaser et Lemire, 2014).

To this end, Section 4.4 describes an experimental setup used to test our solution. It reveals that, that, for complex LTL formulæ containing close to 20 temporal operators and connectives, large event traces can be evaluated at a throughput ranging in the tens of millions of events per second. These experiments show that the bitmaps are a compact and fast data structure, and are particularly appropriate for the kind of manipulations required for offline monitoring.

4.2 BITMAPS AND COMPRESSION

A bitmap (or bitset) is a binary array that we can view as an efficient and compact representation of an integer set. Given a bitmap of n bits, the i -th bit is set to 1 if the i -th integer in the range $[0, n - 1]$ exists in the set.

It was recognized early on that bitmaps could provide efficient ways of manipulating these sets, by virtue of their binary representation. For example, union and intersection between sets of integers can be computed using bitwise operations (OR, AND) on their corresponding bitmaps ; in turn, such bitwise operations can be performed very quickly by microprocessors, and even in a single CPU operation for 32 or 64-bit wide chunks, depending on the architecture

Furthermore, a bitmap can be used to map n chunks of data to n bits. If the size of each chunk is greater than 1, the bitmap can greatly reduce the size of the storage. In addition, with its capacity of exploiting bit-level parallelism in hardware, standard operations on bitmaps can be very efficient. Unsurprisingly, bitmaps have been used in a lot of applications where the space or speed requirements are essential, such as information retrieval Chan et Ioannidis (1998), databases Burdick et al. (2001), and data mining Ayres et al. (2002); Uno et al. (2005).

A bitmap with low fraction of bits set to value 1 can be considered *sparse* Kaser et Lemire (2014). Such a sparse bitmap, stored as is, is a waste of both time and especially space. Consequently, many algorithms have been developed to *compress* these bitmaps ; most of them there are based on the Run-Length Encoding (RLE) model derived from the BBC compression scheme Antoshenkov (1995). In the following, we briefly describe a few of these techniques. In particular, we detail the WAH Wu et al. (2006), Concise Colantonio et Di Pietro (2010) and EWAHLemire et al. (2010) algorithms, because they have well-implemented open source libraries in Java that we will evaluate experimentally later in this paper.

4.2.1 WAH

WAH (Wu et al., 2006) divides a bitmap of n bits into $\lceil \frac{n}{w-1} \rceil$ words of $w-1$ bits, where w is a convenient word length (for example, 32). WAH distinguishes between two types of words : words made of just $w-1$ ones ($11 \dots 1$) or just $w-1$ zeros ($00 \dots 0$), are *fill words*, whereas words containing a mix of zeros and ones are *literal words*. Literal words are stored using w bits : the most significant bit is set to zero and the remaining bits store the heterogeneous $w-1$ bits. Sequences of homogeneous fill words (all ones or all zeros) are also stored using w bits : the most significant bit is set to 1, the second most significant bit indicates the bit value of the homogeneous block sequence, while the remaining $w-2$ bits store the run length of the homogeneous block sequence.

4.2.2 CONCISE

Concise (Colantonio et Di Pietro, 2010) is a bitmap compression algorithm based on WAH. Comparing with WAH, for which the run length is $w-2$ bits, Concise uses $w-2-\lceil \log_2 w \rceil$ for the run length and $\lceil \log_2 w \rceil$ bits to store an integer value indicating to flip a bit of a single word of $w-1$ bits. This feature can improve the compression ratio in the worst case.

4.2.3 EWAH

EWAH Lemire et al. (2010) is also a variant of WAH but it does not use its first bit to indicate the type of the word like WAH and Concise. EWAH rather defines a w -bits marker word. The most significant $w/2$ bits of the word are used to store the number of the following fill words (all ones or all zeros) and the rest $w/2$ bits encodes the number of *dirty words*. These words are exactly like the literal words of WAH, but utilize all w bits.

With respect to WAH and Concise, the structure used for EWAH makes it difficult to recognize a single word in the sequence as a marker word or a dirty word without reading the sequence from the beginning. Hence, apart from exceptional situations, a reverse enumeration of the bits in the sequence is nearly impossible.

4.2.4 ROARING

In all the previous models, fast random access to the bits in an arbitrary sequence is relatively difficult. At the very least, the word that contains the bit to read must be identified, and the position of this word in the stream requires a knowledge of how many literal or fill words are present before. Besides the RLE-model algorithms, there exist other bitmap compression models that support fast random access similar to uncompressed bitmaps. One of them is called “Roaring bitmap” Chambi et al. (2015), which we shall briefly describe.

Roaring bitmap has a compact and efficient two-level indexing data structure that splits 32-bit indexes into chunks, each of which stores the 16 most significant bits of a 32-bit integer and points to a specialized container storing the 16 least significant bits. There are two types of containers : a sorted 16-bit integer array for *sparse* chunks, which store at most 4,096 integers, and a bitmap for *dense* chunks that stores 2^{16} integers. This hybrid data structure allows fast random access whereas all RLE-model algorithms mentioned cannot because of the characteristics mentioned earlier.

4.2.5 DISCUSSION

The RLE-model algorithms share some common features and also have their own characteristics. First, all of them have two different kinds of words, one of which is to store the raw

uncompressed word (literal word) and the other is compressed word (sequence word) having a bit and a number. The number represents the number of consecutive words which are full of 0s or 1s determined by the bit.

We use $wlen$ to represent the number of bits in a word, $ulen$ the number of available in a literal word and $wcap$ the maximum number of bits stored in a sequence word. Table 4.1 lists the parameters of the three RLE-model algorithms.

	ulen	wlen	wcap
WAH	31 bits	32 bits	$2^{30} - 1$
Concise	31 bits	32 bits	$2^{25} - 1$
EWAH	32 or 64 bits	32 or 64 bits	$2^{16} - 1$ or $2^{32} - 1$

Tableau 4.1: Parameters of RLE-model algorithms

Considering that a n -bits bitmap has m sequences of consecutive (0...1...) bits :

$c_0^1 c_1^0 c_1^1 c_1^0 c_2^1 c_2^0 \dots c_{m-1}^1 c_{m-1}^0, c_j^i$ is the number of consecutive i bits and $i \in (0, 1), 0 \leq j \leq m$.

Then the number of total bits, i.e. the size of the uncompressed bitmap is :

$$total_bits = \sum_{j=0}^{m-1} \sum_{i=0}^1 c_j^i = \sum_{j=0}^{m-1} \sum_{i=0}^1 l_j^i + s_j^i,$$

$$l_j^i = c_j^i \bmod ulen, s_j^i = c_j^i - l_j^i$$

If exists a positive integer $slen$, $\forall c_j^i = slen$, then

$$m = n \div (2 \times slen) \quad (4.1)$$

When $1 \leq slen < wlen$, then $\forall l_j^i > 0, \forall s_j^i = 0$, which is considered the worst case, the size of the compressed bitmap is :

$$compressed_bits = \lceil \frac{total_bits}{ulen} \rceil \times wlen$$

None of the three RLE-model algorithms can well compress this kind of bitmap. Both *WAH* and *Concise* waste one bit for the type identification and *EWAH* seems to cost the least for its $ulen = wlen$ but its actual size should be a little more than $total_bits$ because some empty sequence word is needed to store the number of the literal words.

Furthermore, when $wlen \leq slen$, then $\forall s_j^i > 0$, the sequence can be well compressed with any RLE-model algorithm. Suppose $\forall l_j^i > 0$, the size of the compressed bitmap is :

$$\begin{aligned} compressed_bits &= \sum_{j=0}^{m-1} \sum_{i=0}^1 \lceil \frac{slen}{wcap} \rceil \times wlen + wlen \\ &= 2 \times m \times wlen \times (1 + \lceil \frac{slen}{wcap} \rceil) \end{aligned}$$

From this discussion, we can see that $slen$, i.e. the number of consecutive 1 or 0 bits in a sequence, is a crucial argument and is able to decide the compression rate of a RLE bitmap compression algorithm. Some optimization like *Concise* is merely to try to improve the performance of the worst case.

4.3 EVALUATING LTL FORMULÆ WITH BITMAP

Since bitmaps have been shown to be very efficient for storing manipulating encoded sets of integers, in this section we describe a technique for evaluating arbitrary formulæ expressed in

$\bar{s} \models p$	\iff	$p \in \pi(0)$
$\bar{s} \models \neg \psi$	\iff	$\bar{s} \not\models \psi$
$\bar{s} \models \psi \wedge \phi$	\iff	$\bar{s} \models \psi$ and $\bar{s} \models \phi$
$p^i \models \psi \vee \phi$	\iff	$\bar{s} \models \psi$ or $\bar{s} \models \phi$
$\bar{s} \models \psi \rightarrow \phi$	\iff	$\bar{s} \models \phi$ whenever $\bar{s} \models \psi$
$\bar{s} \models \mathbf{X} \psi$	\iff	$\pi^1 \models \psi$
$\bar{s} \models \mathbf{G} \psi$	\iff	$\forall j \geq 0, \bar{s}^j \models \psi$
$\bar{s} \models \mathbf{F} \psi$	\iff	$\exists j \geq 0, \bar{s}^j \models \psi$
$\bar{s} \models \psi \mathbf{U} \phi$	\iff	$\exists j \geq i, \pi^j \models \phi$ and $\forall k, i \leq k < j, \pi^k \models \psi$
$\bar{s} \models \psi \mathbf{W} \phi$	\iff	either $\exists j \geq i, \pi^j \models \phi$ and $\forall k, i \leq k < j, \pi^k \models \psi$, or $\forall k \geq i, \pi^k \models \psi$
$\bar{s} \models \psi \mathbf{R} \phi$	\iff	either $\exists j \geq i, \pi^j \models \psi$ and $\forall k, i \leq k \leq j, \pi^k \models \phi$, or $\forall k \geq i, \pi^k \models \phi$

Tableau 4.2: The semantics of LTL. Here \bar{s}^i denotes the subtrace of \bar{s} that starts at event i .

Linear Temporal Logic on a given trace of events through bitmap manipulations.

4.3.1 PRELIMINARIES

We shall first recall some basic background about Linear Temporal Logic (LTL). LTL formulæ are made of a finite set of atomic propositions, constituting the ground terms of any expression. These propositions can be combined using the Boolean connectives \neg , \wedge , \vee , \rightarrow and temporal logic operators \mathbf{F} (eventually), \mathbf{G} (globally), \mathbf{X} (next), and \mathbf{U} (until).

Let $\bar{s} = s_0, s_1, s_2, \dots, s_n$ be a finite sequence of *events*, and let $\pi(i)$ be the set of atomic propositions that are true in s_i . The trace \bar{s} is said to satisfy an LTL formula ϕ if the rules described in Table 4.2 apply recursively. We assume a finite-trace semantics where, if \bar{s} is the empty trace, $\bar{s} \not\models \mathbf{F} \phi$, $\bar{s} \not\models \mathbf{X} \phi$, $\bar{s} \not\models \phi \mathbf{U} \psi$, but $\bar{s} \models \mathbf{F} \phi$.

LTL is one of the notations that is widely used in the context of offline monitoring and

Function	Description
<code>addMany(bitmap, val, len)</code>	adds a <i>len</i> -bits sequence of the same value <i>val</i> to the end of the bitmap whose size then increases by <i>len</i> .
<code>copyTo(bitmapDest, bitmapSrc, start, len)</code>	copies the <i>len</i> -bits sequence from the index <i>start</i> in bitmap <i>bitmapSrc</i> to the end of another bitmap <i>bitmapDest</i> whose size then increases by <i>len</i> .
<code>removeFirstBit(bitmap)</code>	removes the first bit of the bitmap, and the size of the bitmap decreases by 1.
<code>next(b, bitmap, start)</code>	gets the position of the next occurrence of the bit with value <i>b</i> from the inclusive position <i>start</i> of the bitmap, or -1 if there is no more.
<code>last(b, bitmap)</code>	gets the position of last occurrence of the bit with value <i>b</i> in the bitmap, or -1 if the bitmap does not have a bit with value <i>b</i> .

Tableau 4.3: Derivative bitmap functions

runtime verification. Depending on the context, LTL formulæ can represent security policies, constraints on sequences of method calls in an object-oriented program, correct interaction between a user and some interface, etc.

We suppose that a well-designed bitmap data structure implements a number of basic functions. Given bitmaps a , b , we will note $|a|$ the function that computes the length of a . The notation $a \otimes b$ will denote the bitwise logical AND of a and b , $a \oplus b$ the bitwise logical OR, and $!a$ its bitwise inverse.

These bitmap functions would be enough to evaluate the LTL operators, but in order to optimize our solution and integrate more closely with bitmap compression algorithms shown in Section 4.2, we need to manipulate the internal data structure of the bitmap and thus introduce seven derivative bitmap functions see Table 4.3).

4.3.2 MANIPULATING BITMAPS TO IMPLEMENT LTL OPERATORS

We are now ready to define a procedure for evaluating arbitrary LTL formulæ with the help of bitmaps. Given a finite sequence of states $(s_0, s_1, \dots, s_{n-1})$ and an LTL formula φ , the principle is to compute a bitmap $(b_0 b_1 \dots b_i b_{i+1} \dots b_{n-1})$ of length n , noted B_φ , whose content is defined follows :

$$b_i = \begin{cases} 1 & \text{if } \bar{s}^i \models \varphi \\ 0 & \text{otherwise} \end{cases} \quad (4.2)$$

The finite set of atomic propositions constitute the initial bitmaps. These basic bitmaps are created by reading the original trace, and setting bit i of B_p to 1 if the atomic proposition is true at the corresponding state s_i , and otherwise 0. One can see that this construction respects Definition 4.2 in the case of ground terms.

From these initial bitmaps, bitmaps corresponding to increasingly complex formulæ can now be recursively computed. The cases of conjunction, disjunction and negation are easy to deal with, since these connectives have their direct equivalents as bitwise operators. For example, given bitmaps B_φ and B_ψ , the bitmap $B_{\varphi \wedge \psi}$ can be obtained by computing $B_\varphi \otimes B_\psi$. The remaining propositional connectives can be easily reduced to these three through standard identities. Temporal logic operators are a little more complicated because they concern the change of the states in terms of time, potentially requiring to enumerate the actual states and the bits in the bitmaps.

A few of them can still be handled easily. The expression $\mathbf{X} \varphi$ states that φ must hold in the next state of the trace. To compute the bitmap $B_{\mathbf{X} \varphi}$, it suffices to remove the first state of B_φ , shift the remaining bits one position to the left, and fill the last bit with 0. This is illustrated in

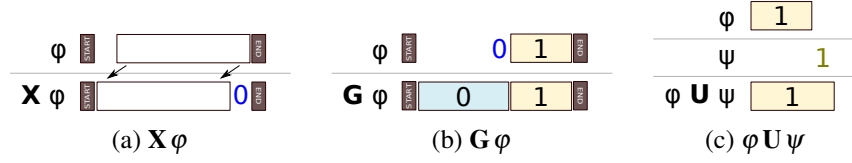


Figure 4.1: A graphical representation of the computation of three temporal operators on bitmaps

Figure 4.1a, and formalized in Algorithm 1.

Algorithm 1 Computing $X a$

Require: Bitmap a

- 1: $out \leftarrow \text{removeFirstBit}(a)$
 - 2: $\text{addMany}(out, 0, 1)$
 - 3: **return** out
-

To compute the vector for $G \psi$, it suffices to find the smallest position i such that all subsequent bits are 1. In $B_{G \psi}$, all bits before i are set to 0, and all bits after (and including) i are set to 1. Thus to implement this operator using bitmaps, we need to do a search in the bitmap B_ψ from back to front to find the last occurrence of the bit 0, as can be seen from Algorithm 2.

Operator **F** (See Algorithm 3) is the dual of **G**; its corresponding algorithm works in the same way as for **G**, swapping 0 and 1.

Algorithm 2 Computing $G a$

Require: Bitmap a

- 1: $p \leftarrow \text{last}(0, a)$
 - 2: **if** $p = -1$ **then**
 - 3: **return** a
 - 4: **else**
 - 5: $out \leftarrow \langle \rangle$
 - 6: $\text{addMany}(out, 0, p + 1)$
 - 7: $\text{addMany}(out, 1, |a| - p - 1)$
 - 8: **return** out
 - 9: **end if**
-

According to Definition (2.12), if there is an index j such that $\bar{s}^j \models \psi$ and \bar{s}^i for all $i < j$, then

Algorithm 3 Future

Require: Bitmap a

```

1:  $pos \leftarrow \text{last}(1, a)$ 
2: if  $pos = -1$  then
3:   return  $a$ 
4: else
5:    $out \leftarrow \text{empty Bitmap}$ 
6:    $\text{addMany}(out, 1, pos + 1)$ 
7:    $\text{addMany}(out, 0, |a| - pos - 1)$ 
8:   return  $out$ 
9: end if

```

$\bar{s} \models \varphi \mathbf{U} \psi$. In terms of bitmap operations, we need to keep checking if there is any bit set as 1 in B_φ before every occurrence of bit 1 in B_ψ (see Algorithm 4).

The operation $\psi \mathbf{W} \varphi$ (Definition (2.13)) is quite like $\psi \mathbf{U} \varphi$, except that as the equation (4.3) (Huth et Ryan, 2004) entails, the operation of the former also includes the operation $\mathbf{G}\psi$. Algorithm 5 explains its operation.

$$\psi \mathbf{W} \varphi \equiv \psi \mathbf{U} \varphi \vee \mathbf{G}\psi \quad (4.3)$$

As the dual of the operator \mathbf{U} , the operator \mathbf{R} defined in (2.14) need to union two parts for the formula $\psi \mathbf{R} \varphi$: the first part aims to find whether exist $i, j (0 \leq i < j)$ which make $\pi^i, \pi^{i+1}, \dots, \pi^j$ satisfy φ when π^j satisfies ψ ; and the second is simply $\mathbf{G}\varphi$. Algorithm 6 describes this procedure.

4.3.3 DISCUSSION

An interesting point of this last algorithm is that the bitmaps a and b are not traversed in a linear fashion. Rather, entire blocks of each bitmap can be skipped to reach directly the next 0

Algorithm 4 Computing $a \cup b$

<p>Require: Bitmaps a and b</p> <p>1: $out \leftarrow \langle \rangle$</p> <p>2: $p, a_0, a_1, b_0, b_1 \leftarrow 0$</p> <p>3: while $p < a$ do</p> <p>4: if $a_1 \leq p$ then</p> <p>5: $a_1 \leftarrow \text{next}(1, a, p)$</p> <p>6: end if</p> <p>7: if $b_1 \leq p$ then</p> <p>8: $b_1 \leftarrow \text{next}(1, b, p)$</p> <p>9: end if</p> <p>10: if $a_1 = -1$ or $b_1 = -1$ then</p> <p>11: break</p> <p>12: end if</p> <p>13: $\text{nearest1} \leftarrow \min(a_1, b_1)$</p> <p>14: if $\text{nearest1} > p$ then</p> <p>15: $\text{addMany}(out, 0, \text{nearest1} - p)$</p> <p>16: $p \leftarrow \text{nearest1}$</p> <p>17: continue</p> <p>18: end if</p> <p>19: if $p = b_1$ then</p> <p>20: if $b_0 \leq b_1$ then</p> <p>21: $b_0 \leftarrow \text{next}(0, b, b_1)$</p> <p>22: if $b_0 = -1$ then</p> <p>23: $b_0 \leftarrow a$</p> <p>24: end if</p>	<p>25: end if</p> <p>26: $\text{addMany}(out, 1, b_0 - p)$</p> <p>27: $p \leftarrow b_0$</p> <p>28: continue</p> <p>29: end if</p> <p>30: if $a_0 \leq a_1$ then</p> <p>31: $a_0 \leftarrow \text{next}(0, a, a_1)$</p> <p>32: if $a_0 = -1$ then</p> <p>33: $a_0 \leftarrow a$</p> <p>34: end if</p> <p>35: end if</p> <p>36: if $a_0 \geq b_1$ then</p> <p>37: $\text{addMany}(out, 1, b_1 - p + 1)$</p> <p>38: $p \leftarrow b_1 + 1$</p> <p>39: else</p> <p>40: $\text{addMany}(out, 0, a_0 - p + 1)$</p> <p>41: $p \leftarrow a_0 + 1$</p> <p>42: end if</p> <p>43: end while</p> <p>44: if $b_1 = -1$ then</p> <p>45: $\text{addMany}(out, 0, a - out)$</p> <p>46: else if $a_1 = -1$ then</p> <p>47: $\text{copyTo}(out, b, p, a - p)$</p> <p>48: end if</p> <p>49: return out</p>
--	---

or the next 1, depending on the case. Note that this is only possible if the trace is completely known in advance before starting to evaluate a formula (and moreover, the trace is traversed backwards). Therefore, our proposed solution is an example of an offline monitor that is not simply an online monitor that is fed events of a pre-recorded trace one by one : it exploits the possibility of *random access* to parts of the trace that is only possible in an offline setting.

This example shows one of the advantages of our proposed technique in terms of complexity. Indeed, reading the original log to create the ground bitmaps can be done in linear time (and

Algorithm 5 Computing $a \mathbf{W} b$

Require: Bitmaps a and b

```

1:  $out \leftarrow \langle \rangle$ 
2:  $p, a_0, a_1, b_0, b_1 \leftarrow 0$ 
3: while  $p < |a|$  do
4:   if  $a_1 \leq p$  then
5:      $a_1 \leftarrow \text{next}(1, a, p)$ 
6:   end if
7:   if  $b_1 \leq p$  then
8:      $b_1 \leftarrow \text{next}(1, b, p)$ 
9:   end if
10:  if  $a_1 = -1$  or  $b_1 = -1$  then
11:    break
12:  end if
13:   $\text{nearest1} \leftarrow \min(a_1, b_1)$ 
14:  if  $\text{nearest1} > p$  then
15:     $\text{addMany}(out, 0, \text{nearest1} - p)$ 
16:     $p \leftarrow \text{nearest1}$ 
17:    continue
18:  end if
19:  if  $p = b_1$  then
20:    if  $b_0 \leq b_1$  then
21:       $b_0 \leftarrow \text{next}(0, b, b_1)$ 
22:      if  $b_0 = -1$  then
23:         $b_0 \leftarrow |a|$ 
24:      end if
25:    end if
26:     $\text{addMany}(out, 1, b_0 - p)$ 
27:     $p \leftarrow b_0$ 
28:    continue
29:  end if
30:  if  $a_0 \leq a_1$  then
31:     $a_0 \leftarrow \text{next}(0, a, a_1)$ 
32:    if  $a_0 = -1$  then
33:       $a_0 \leftarrow |a|$ 
34:    end if
35:  end if
36:  if  $a_0 \geq b_1$  then
37:     $\text{addMany}(out, 1, b_1 - p + 1)$ 
38:     $p \leftarrow b_1 + 1$ 
39:  else
40:     $\text{addMany}(out, 0, a_0 - p + 1)$ 
41:     $p \leftarrow a_0 + 1$ 
42:  end if
43: end while
44: if  $b_1 = -1$  then
45:   if  $a_1 = -1$  then
46:     $\text{addMany}(out, 0, |a| - |out|)$ 
47:   else
48:     $\text{last0} \leftarrow \text{last}(0, a)$ 
49:    if  $\text{last0} = -1$  or  $\text{last0} < p$  then
50:       $\text{addMany}(out, 1, |a| - |out|)$ 
51:    else
52:       $\text{addMany}(out, 0, \text{last0} - p +$ 
53:        1)
54:       $\text{addMany}(out, 1, |a| - |out|)$ 
55:    end if
56:   end if
57: else if  $a_1 = -1$  then
58:    $\text{copyTo}(out, b, |b| - b_1 - 1, |b| - b_1)$ 
59: end if
60: return  $out$ 

```

Algorithm 6 Computing $a \mathbf{R} b$

Require: Bitmaps a and b

```

1:  $out \leftarrow \langle \rangle$ 
2:  $p, a_0, a_1, b_0, b_1 \leftarrow 0$ 
3: while  $p < |a|$  do
4:   if  $b_1 \leq p$  then
5:      $b_1 \leftarrow \text{next}(1, b, p)$ 
6:   end if
7:   if  $b_1 = -1$  then
8:     break
9:   end if
10:  if  $b_1 > p$  then
11:     $\text{addMany}(out, 0, b_1 - p)$ 
12:     $p \leftarrow b_1$ 
13:    continue
14:  end if
15:  if  $a_1 \leq p$  then
16:     $a_1 \leftarrow \text{next}(1, a, p)$ 
17:  end if
18:  if  $a_1 = -1$  then
19:    break
20:  end if
21:  if  $b_0 \leq b_1$  then
22:     $b_0 \leftarrow \text{next}(0, b, b_1)$ 
23:    if  $b_0 = -1$  then
24:       $b_0 \leftarrow |a|$ 
25:    end if
26:  end if
27:  if  $a_1 \geq b_0$  then
28:     $\text{addMany}(out, 0, b_0 - p + 1)$ 
29:     $p \leftarrow b_0 + 1$ 
30:    continue
31:  end if
32:  if  $a_0 \leq a_1$  then
33:     $a_0 \leftarrow \text{next}(0, a, a_1)$ 
34:    if  $a_0 = -1$  then
35:       $a_0 \leftarrow |a|$ 
36:    end if
37:  end if
38:   $\text{nearest0} \leftarrow \min(a_0, b_0)$ 
39:   $\text{addMany}(out, 1, \text{nearest0} - p)$ 
40:   $p \leftarrow \text{nearest0}$ 
41: end while
42: if  $a_1 = -1$  and  $b_1 \neq -1$  then
43:    $\text{last0} \leftarrow \text{last}(0, b)$ 
44:   if  $\text{last0} = -1$  and  $\text{last0} < p$  then
45:      $\text{addMany}(out, 1, |a| - |\text{out}|)$ 
46:   else
47:      $\text{addMany}(out, 0, \text{last0} - p + 1)$ 
48:      $\text{addMany}(out, 1, |a| - |\text{out}|)$ 
49:   end if
50: else
51:    $\text{addMany}(out, 0, |a| - |\text{out}|)$ 
52: end if
53: return  $out$ 

```

in a single pass for all propositional symbols at once). However, once these initial bitmaps are computed, many of the required operations do not require a linear processing of the trace anymore. For example, evaluating $\mathbf{X} \phi$ requires a simple bit shift, which can be done in a single CPU operation for 64 bits at a time, and potentially much more if compression is used.¹ Similarly, looking for the next 0 or 1 seldom requires linear searching, as the use of compression makes it possible to skip over full words in one operation. Computing the bitmap for a \mathbf{F} or \mathbf{G} operator requires a single such lookup for the entire trace.

Another interesting point is the fact that operators \mathbf{F} and \mathbf{G} are monotonous. As can be seen in Figure 4.1, the resulting bitmap is of the form 0^*1^* (or the reverse). Hence a very simple bitmap is propagated upwards to further algorithms ; it can be heavily compressed, and makes any lookup for the next 0 or the next 1 trivial. While not producing such simple vectors, bitmaps resulting from the application of \mathbf{U} still have a relatively regular structure that is again amenable to reasonable compression.

4.4 IMPLEMENTATION AND EXPERIMENTS

While the worst-case complexity of every algorithm presented in the previous section is still $O(n)$ (where n is the size of the input bitmap), we suspect that performance in practice should be much better. Therefore, in this section, we describe experiments in order to achieve the following purposes :

1. Test the performance of fundamental LTL algorithms
2. Test the performance of the recursive application of these algorithms on complex LTL formulæ

1. The left bit shift of a compressed block is the block itself, as long as the next bit to the right has the same value.

Bitmap	Source
Uncompressed	java.util.BitSet from Java SDK
WAH	Original : https://github.com/metamx/extendedset Modified : https://github.com/phoenixxie/extendedset
Concise	Original : https://github.com/metamx/extendedset Modified : https://github.com/phoenixxie/extendedset
EWAH	Original : https://github.com/lemire/javaewah Modified : https://github.com/phoenixxie/javaewah
Roaring	https://github.com/lemire/RoaringBitmap

Tableau 4.4: Bitmap libraries

3. Evaluate the performance and space savings incurred by the use of compression

4.4.1 EXPERIMENTAL SETUP

As a means to avoid the runtime disk I/O cost we load all relevant files into memory before the calculations. Thus although using bitmap can considerably reduce the requirement of memory, we prepared a workstation with an Intel Xeon E5-2630 v3 Processor and 48 GB of memory.

All codes are implemented in Java which self takes responsibility of the memory management and garbage collection. Concerning the delay caused by garbage collection (GC) and especially Full-GC, we called *System.gc()* before and after every formula calculation to provide a runtime environment that was as “clean” as possible.

Table 4.4 shows the libraries used for different types of bitmap. In order to implement all the LTL operations, we modified the codes of the libraries to add the necessary functions listed in Table 4.3 and to optimize the functions so that the time complexities of the operators become $O(m)$ where m is the number of sequences of consecutive 0/1 bits.

Because of lack of the support of random access for the RLE-model bitmap compression algorithms, we cannot enumerate the bits in the same way as for an uncompressed bitmap.

Therefore we designed an *iterator* data structure to store not only the absolute index of current bit in the uncompressed bitmap but also the relative index in the compressed bitmap. Taking the function **next(1,x)** as an example, if the current relative index is in a sequence word of 0, the search in this word is unnecessary, and we just jump to the next word ; if the index is in a sequence word of 1, we return the current index ; however, if the index is in a literal word, we have to look for the bit 1 in the *ulen*-bits word.

For the experiments, we developed a random data generator. Every time it generates 5×10^7 tuples, and each tuple contains 3 random numbers (a, b, c) related with 3 simple inequalities : $a > 0$, $b > 0$ and $c \leq 0$, which will be labelled as s_0 , s_1 and s_2 , respectively. According to (2.4), the true/false values of these 3 statements consist of the atomic propositions. When a tuple was passed to the 3 statements, we got 3 boolean values each of which was then turned into a 1/0 bit in the bitmap corresponding to one of the 3 statements. When all tuples were processed, we had 3 bitmaps having 50 million bits each.

4.4.2 BASIC LTL OPERATORS

A first experiment consisted of evaluating the performance, in terms of computation time, for evaluating a bit vector on each propositional and temporal operator taken separately.

In the first experiment, we ran 100 passes of a benchmark on the fundamental operators with uncompressed bitmaps. In every pass, the experiment data was regenerated and passed to the relational statements from which the bitmaps were created. Then the formulæ were executed with the bitmaps. In the final step we calculated the average running time of a pass for each LTL operator, and the number of bits processed per second.

Table 4.5 shows that the propositional logic operators were faster than most temporal logic

Formula	Min. time (ms)	Max. time (ms)	Avg. time (ms)	Throughput (b/s)
$\neg s_0$	0	15	6.18	8.09×10^9
$s_0 \wedge s_1$	0	16	5.86	8.53×10^9
$s_0 \vee s_1$	0	16	5.8	8.62×10^9
$s_0 \rightarrow s_1$	0	16	4.66	1.07×10^{10}
$\mathbf{X} s_0$	0	16	8.93	5.60×10^9
$\mathbf{G} s_0$	46	63	51.3	9.75×10^8
$\mathbf{F} s_0$	140	174	150.55	3.32×10^8
$s_0 \mathbf{U} s_1$	1562	2017	1747.05	5.72×10^7
$s_0 \mathbf{W} s_1$	1531	1957	1685.71	5.93×10^7
$s_0 \mathbf{R} s_1$	1735	2188	1961.37	5.10×10^7

Tableau 4.5: Running time for evaluating each LTL operator on a bit vector, without the use of a compression library.

operators. Among the temporal logic operators, the binary operators were slower than the unary ones because the former require more operations than the latter, especially in the situation that many 0s and 1s sequences are mixed in the bitmap. The dual operators **G** and **F** have similar algorithms but **F** surprisingly took three times longer than **G**. This can be explained by the fact that for a fairly-randomized input bitmap, **F** will append more 1s than 0s to its output bitmap, while **G** will append more 0s than 1s. Although the Java `BitSet` implementation supports both to set a bit to 1 and to clear a bit to 0², it actually does nothing when clearing a new bit of which the index is beyond its size, i.e. appending a bit 0. This results in an asymmetrical processing of 0s and 1s in the bitmap.

4.4.3 COMPLEX FORMULÆ

The results from this first experiment suggest that propositional logic operators, temporal logic unary operators and temporal logic binary operators have different magnitudes of processing speed ; therefore we can divide the operators into three groups.

2. <https://docs.oracle.com/javase/8/docs/api/java/util/BitSet.html>

At the beginning of this second experiment, we composed various combinations of operators into 14 LTL formulæ with the help of the tool *randltl* from the library *Spot*³; the formulæ are shown in Table 4.6. Then we also ran a 50-pass benchmark on these formulæ with uncompressed bitmaps. In each cycle the data was regenerated and re-executed with the 14 formulæ. We measured the running time of each cycle and calculated the average time cost and the processing speed as before.

As is indicated in Table 4.7, 3 groups of operators have different scales of processing speed. The combinations having temporal logic and binary operators always took more time than others, and formulæ 13 and 14 are the slowest. This result also shows that our solution can handle a fairly large number of bits (events from the trace) per second, ranging from millions to billions.

4.4.4 USE OF BITMAP COMPRESSION

According to the RLE-model algorithms, the compression ratio mostly depends on the length of consecutive 0s or 1s. Hence in this experiment we modified the generator to enable it to repeat the same tuple a specified number of times : 1, 32 and 64. This new mechanism is able to ensure the existence of continuous sequences with a minimum length (*slen*) in the generated bitmaps. Intuitively, when the value of *slen* increases, the number of sequences decreases; therefore the RLE-model algorithms can be expected to have better performance than an uncompressed bitmap.

In the first part of the experiment, we generated the bitmaps with different algorithms and different values of *slen*, and then calculated the compression ratios. The result in Figure 4.2 confirms the hypothesis that when $slen < wlen$ (where *wlen* is the length of a word),

3. <https://spot.lrde.epita.fr/index.html>

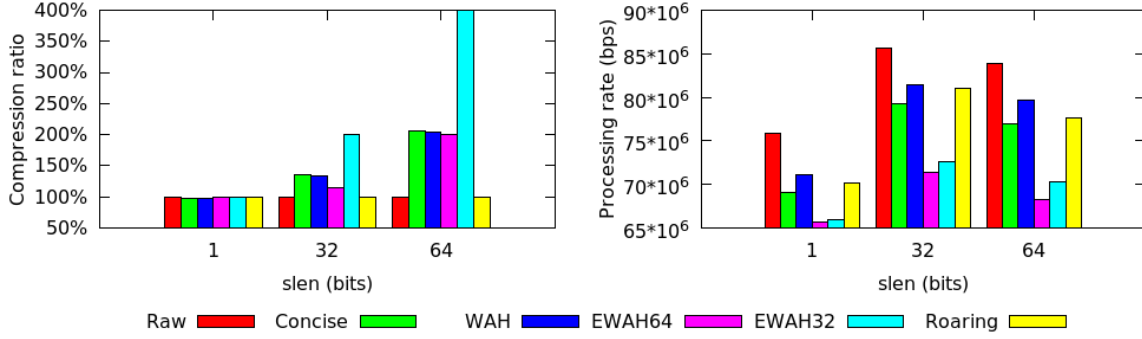


Figure 4.2: Bitmap generation with compression algorithms

the bitmap cannot be well compressed by any RLE-model algorithm, and in this case, the algorithm EWAH behaves a little better than the others due to its smaller structural cost. When $slen$ increases to 32 and 64, i.e. $slen \geq wlen$, the RLE algorithms start to work well and the compression ratio of $slen = 64$ is obviously better than the one of $slen = 32$. From the figure 4.2 we can also see that when $slen$ is 1, 32 and 64, EWAHs are much slower than WAH, Concise and Roaring.

In the second part of the experiment, we measured the performance of the compressed bitmaps when applying the algorithms for all fundamental operators and all LTL formulæ in the previous experiments. Detailed results covering all the operators and formulæ can be found in Appendix A.

To this end, we picked formula F1 and F14 from the previous experiment, as F1 contains all the operators and connectives of LTL and F14 is the slowest of all formulæ in the previous experiment. We again ran the benchmark 100 passes ; in each cycle, the formula was evaluated with one group of input bitmaps from the last step and we recorded the time cost of each bitmap algorithm and each length of consecutive bits.

According to Figure 4.3 and 4.4, the performance of the RLE-model algorithms, WAH, EWAH

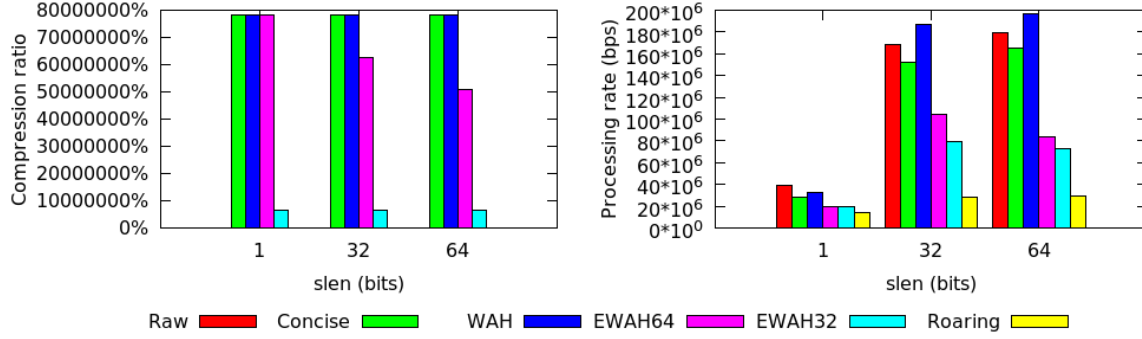


Figure 4.3: Comparison of compression ratio and processing rate for LTL formula 1, for various bitmap compression libraries and various values of $slen$

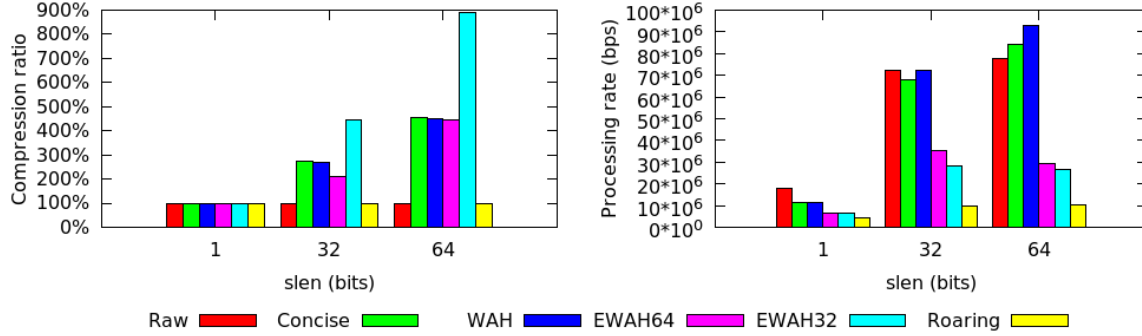


Figure 4.4: Comparison of compression ratio and processing rate for LTL formula 14, for various bitmap compression libraries and various values of $slen$

and Concise is obviously related to the value of $slen$. The Figure 4.3 also suggests that the presence of operators **G** and **F** can vastly increase the length of consecutive bits of same value, which in turn can be well compressed by RLE-model algorithms. In such a case, several algorithms have better performance than the uncompressed bitmap as $slen$ increases.

4.5 RELATED WORK

The prospect of using physical properties of hardware to boost the performance of runtime verification has already been studied in the recent past. For example, Pellizzoni et al. (Pellizzoni

et al., 2008) utilized dedicated commercial-off-the-shelf (COTS) hardware (Emerson, 1990) to facilitate the runtime monitoring of critical embedded systems whose properties were expressed in Past-time Temporal Linear Logic (PTLTL).

As the number of cores (GPU or multi-core CPUs) in the commodity hardware keeps increasing, the research of exploiting the available processors or cores to parallelize the tasks and the computing brings a challenge and also an opportunity to improve the architecture of runtime verification. For example, Ha et al. (Ha et al., 2009) introduced a buffering design of *Cache-friendly Asymmetric Buffering (CAB)* to improve the communications between application and runtime monitor by exploiting the shared cache of the muticore architecture ; Berkovich et al. (Berkovich et al., 2015) proposed a GPU-based solution that effectively utilizes the available cores of the GPU, so that the monitor designed and implemented with their method can run in parallel with the target program and evaluate LTL properties.

Previous work by one of the authors (Hallé et Soucy-Boivin, 2015) introduced an algorithm for the automated verification of Linear Temporal Logic formulæ on event traces, using an increasingly popular cloud computing framework called MapReduce. The algorithm can process multiple, arbitrary fragments of the trace in parallel, and compute its final result through a cycle of runs of MapReduce instances. The proposed technique manipulates objects called *tuples*, which are of the form $\langle \phi, (n, i) \rangle$, and are interpreted as the statement “the process is at iteration i , and LTL formula ϕ is true for the suffix of the current trace starting at its n -th event”. One can see that this statement corresponds exactly to the fact, in the present solution, that the n -th position of the bitmap generated by the evaluation of ϕ contains the value 1.

Apart from this similarity, however, the two techniques are radically different. Since the MapReduce approach operates on tuples one by one, while the present solution manipulates entire bitmaps, the algorithms for each LTL operator have little in common (especially that

for U). Where the MapReduce approach gets its speed from the processing of multiple subformulae on different machines, our present solution is efficient because some operations (such as conjunction) can be computed simultaneously for many adjacent events in a single CPU cycle. In addition, a downside of the MapReduce solution is the large number of tuples generated, and the impossibility of compressing that volume of data.

As one can see, there have been multiple attempts at leveraging parallelism and properties of hardware to evaluate temporal expressions on traces. However, As far as we know, our work is the first to get its performance boost at the level of the *data structures* used to evaluate these expressions.

4.6 CONCLUSION AND FUTURE WORK

We proposed a solution for the offline evaluation of LTL formulae by means of bitmap manipulations. In such a setting, propositional predicates on individual events of a trace states are mapped to bits of a vector (“bitmap”) that are then manipulated to implement each LTL operator. In addition to the fact that bitmap manipulations are in themselves very efficient, our algorithms take advantage of the fact that the trace is completely known in advance, and that random access to any position of that trace makes it possible to skip large blocks of events to speed up the evaluation.

For this reason, our solution is a prime example of an offline evaluation algorithm that exploits the fact that it indeed works offline—it is not merely an online algorithm that reads events from a pre-recorded trace one by one. As a matter of fact, in some cases (such as the U operator), the trace is even evaluated from the end, rather than from the beginning. A thorough performance benchmark for both fundamental operators and complex LTL formulae proved the feasibility of the approach, and showed how events from a trace can be processed at a rate

ranging from millions to billions of events per second.

To further exploit the potential of bitmaps, we introduced bitmap compression algorithms in our solution and integrated them in our benchmark. In the experiments, as we expected, compressed bitmaps demonstrated their ability to easily compress sparse bitmaps and accelerating the LTL operations when there is a certain amount of consecutive bits with the same value. We have explained, how many LTL operators naturally increase the regularity of the bitmaps they are processing.

Obviously, this solution is suitable only for offline evaluation. However, The promising results obtained in our implementation lead to a number of potential extensions and improvements over the current method. First, the algorithm can be reused as a basis for other temporal languages that intersect with LTL, such as PSL Eisner et Fisman (2006). Second, the technique could be expanded to take into account data parameters and quantification. Finally, one could also consider to parallelize the evaluation of large segments of bitmaps on multiple machines.

$$\mathbf{G}((s_2 \rightarrow \mathbf{F}(\neg(s_1 \mathbf{U} s_2) \mathbf{W} (s_2 \vee \mathbf{G} s_1)))) \mathbf{W} (\neg \mathbf{F}(s_0 \mathbf{R} \mathbf{X} s_2) \mathbf{W} ((s_0 \wedge s_2 \wedge \mathbf{F} s_2) \mathbf{U} s_0))) \quad (\text{F1})$$

$$\mathbf{F}(\neg(s_2 \rightarrow \mathbf{X}(s_0 \mathbf{U} s_1)) \mathbf{U} (\neg(s_0 \vee \mathbf{F} \mathbf{X}(s_0 \mathbf{U} (\mathbf{X}(\mathbf{F} s_1 \mathbf{W} s_1) \mathbf{R} s_1))) \mathbf{U} (s_0 \mathbf{R} \mathbf{G} s_2))) \quad (\text{F2})$$

$$\mathbf{X} \mathbf{F}((s_1 \vee s_2 \vee (\mathbf{G}(s_0 \vee s_1 \vee \neg s_1) \wedge \mathbf{X} \neg s_0)) \rightarrow ((\neg s_0 \rightarrow (s_0 \wedge \neg s_1)) \wedge \mathbf{G} s_0)) \quad (\text{F3})$$

$$\mathbf{X}(\neg \mathbf{G}(s_0 \rightarrow s_2) \rightarrow \mathbf{F}(s_1 \wedge ((\mathbf{F}(s_0 \wedge s_2) \rightarrow s_1) \rightarrow \mathbf{X} \neg s_2) \wedge \mathbf{G}(s_2 \rightarrow (s_2 \wedge \mathbf{F} s_1)))) \quad (\text{F4})$$

$$\neg((s_0 \mathbf{U} (\neg(\neg s_0 \wedge s_2) \vee (\neg s_0 \mathbf{W} (s_2 \rightarrow s_0)))) \mathbf{W} \neg s_0) \vee (s_1 \mathbf{R} ((s_1 \vee (s_0 \mathbf{W} s_2)) \mathbf{W} (\neg s_0 \mathbf{W} s_2))) \quad (\text{F5})$$

$$(s_1 \mathbf{W} ((s_2 \rightarrow (\neg s_2 \mathbf{R} \neg(\neg s_1 \mathbf{W} s_0)))) \mathbf{W} (\neg s_1 \vee \neg((\neg s_2 \rightarrow s_1) \rightarrow \neg s_0))) \mathbf{W} (s_0 \mathbf{R} \neg s_2) \quad (\text{F6})$$

$$\mathbf{X}(((\mathbf{F} s_2 \mathbf{R} s_0) \mathbf{U} \mathbf{F} s_0) \mathbf{R} \mathbf{G}((s_2 \mathbf{W} s_1) \mathbf{W} ((\mathbf{G} s_2 \mathbf{U} s_1) \mathbf{R} \mathbf{X} s_0) \mathbf{R} (s_2 \mathbf{W} ((s_2 \mathbf{R} \mathbf{X} s_2) \mathbf{W} s_1)))) \quad (\text{F7})$$

$$(\mathbf{G}(s_0 \mathbf{R} \mathbf{F} s_1) \mathbf{U} \mathbf{F} s_2) \mathbf{W} \mathbf{G}((s_1 \mathbf{U} s_2) \mathbf{R} ((\mathbf{G} \mathbf{X} s_0 \mathbf{U} (s_2 \mathbf{W} s_0)) \mathbf{W} \mathbf{F}((\mathbf{G} s_1 \mathbf{U} s_2) \mathbf{R} s_2))) \quad (\text{F8})$$

$$\mathbf{G} \mathbf{F}(\mathbf{G} \mathbf{F} s_0 \wedge \mathbf{F} \mathbf{X} \mathbf{G} s_1 \wedge \mathbf{G} \mathbf{F} \mathbf{X} \mathbf{X} \mathbf{X} \mathbf{G} \mathbf{X} \mathbf{F} \mathbf{G} s_2) \quad (\text{F9})$$

$$\mathbf{F} \mathbf{G} \mathbf{F} \mathbf{X}(\mathbf{X} s_2 \wedge \mathbf{X} \mathbf{G} \mathbf{X} \mathbf{X} \mathbf{G} \mathbf{F}(\mathbf{G} \mathbf{X} \mathbf{F} s_1 \wedge \mathbf{X} \mathbf{G} s_0)) \quad (\text{F10})$$

$$\neg(((s_0 \vee s_2) \rightarrow (\neg(s_2 \wedge (\neg s_2 \rightarrow \neg(s_0 \wedge (s_0 \vee \neg s_1)))) \vee (s_0 \wedge \neg s_0))) \vee (\neg s_0 \wedge (s_0 \vee s_2))) \quad (\text{F11})$$

$$(s_1 \wedge \neg s_2 \wedge (s_2 \rightarrow s_0)) \vee \neg((s_0 \wedge \neg s_0) \rightarrow s_1) \vee ((s_2 \vee (s_1 \rightarrow s_0)) \wedge ((s_0 \wedge \neg s_2 \wedge (s_1 \rightarrow s_0)) \rightarrow s_0)) \quad (\text{F12})$$

$$(((s_0 \mathbf{W} s_2) \mathbf{W} s_0) \mathbf{U} ((s_1 \mathbf{U} (((s_1 \mathbf{W} s_2) \mathbf{W} (s_1 \mathbf{R} (s_1 \mathbf{R} s_0))) \mathbf{W} s_2)) \mathbf{W} s_2)) \mathbf{W} ((s_0 \mathbf{R} s_1) \mathbf{R} (((s_2 \mathbf{U} s_1) \mathbf{U} s_1) \mathbf{R} ((s_0 \mathbf{W} s_2) \mathbf{W} s_1)))) \quad (\text{F13})$$

$$(((s_1 \mathbf{U} s_2) \mathbf{U} (s_2 \mathbf{U} s_1)) \mathbf{U} s_1) \mathbf{R} (s_1 \mathbf{R} s_2)) \mathbf{U} (((s_2 \mathbf{W} ((s_0 \mathbf{W} ((s_2 \mathbf{R} s_0) \mathbf{R} s_1)) \mathbf{U} s_1)) \mathbf{W} s_0) \mathbf{W} (((s_0 \mathbf{R} s_1) \mathbf{R} (s_0 \mathbf{W} s_1)) \mathbf{U} s_0)) \quad (\text{F14})$$

Tableau 4.6: The complex LTL formulæ evaluated experimentally.

Formula No.	Prop. Logic Ops.	Temp. Unary Ops.	Temp. Binary Ops.	Min Time (ms)	Max Time (ms)	Avg. Time (ms)	Approx. bits/second
F1	6	6	6	10454	14205	11483.02	1.31×10^7
F2	4	7	7	7728	10673	8937.59	1.68×10^7
F3	13	5	0	281	422	326.63	4.59×10^8
F4	11	7	0	422	704	560.58	2.68×10^8
F5	11	0	7	8532	10496	9374.5	1.60×10^7
F6	12	0	6	7280	9357	7934.6	1.89×10^7
F7	0	7	11	12330	15004	13413.91	1.18×10^7
F8	0	8	10	9442	11833	10428.37	1.44×10^7
F9	2	16	0	431	1155	682.68	2.20×10^8
F10	2	16	0	375	857	472.76	3.17×10^8
F11	18	0	0	31	56	45.18	3.32×10^9
F12	18	0	0	46	68	51.58	2.91×10^9
F13	0	0	18	22768	27308	24825.21	6.04×10^6
F14	0	0	18	22800	27481	24877.67	6.03×10^6

Tableau 4.7: Running time for the evaluation of LTL formulæ of Table 4.6, without the use of a compression library.

CHAPITRE 5

CONCLUSION AND FUTURE WORK

Software verification and validation is a critical part in software engineering and project management. People have learned this from lots of lessons in the past ranging from crashed games to fatal disaster. Comparing with traditional techniques of software verification, runtime verification is relatively new. It has root in other techniques and it has its own feature. In recent years, a great amount of work and time has been invested in various aspects of this area. Some researchers focus on the improvement and applications of various variant of LTL, and some others manage to develop more and more generic frameworks.

Although network has already covered much place on earth, many networking mediums have been exploited and various networking protocols have been proposed, there is still some place where cable and wireless radio have not reached, like deserts or underwater, or some environment where both cable and wireless radio are undesirable or even forbidden, for example, in planes, hospitals, mines or petro-chemical plants. Even under these limitations, software verification is as essential as in networking-covered places. Visible light communication (VLC) is an efficient solution in these situations and has many successful solutions, which enlightened us to think of a method of using optical codes for the data communication work. QR code is encoded optical label which is able to store considerable data and to efficiently encode and

decode data, which gave us the confidence to apply it in our solution.

In the first part of our research, the goal was to design and implement an one-way QR Code communication channel. In the development, we used the computer programming language Java and the well-known QR Code library ZXing. In early experiment, we tested the characteristics of a QR data stream and found that due to the limitation of the hardwares we used, the data loss rate was impossibly zero and it grew fast as the data size of each frame increased. Therefore on one hand we managed to improve the recognition rate of QR codes by adjusting the options of the ZXing library and the camera. On the other hand we proposed the protocol BufferTannen which is in charge of splitting, marshaling, and to some extend compressing the data to transmit. The final result presented in Section 3.4 proves the feasibility of our solution. This part of our research has been published in the journal IEEE Access in 2016.

Every software system, no matter operation systems of mobile phones, web applications, or cloud computing system, needs to guarantee its smooth running and response in time for the exceptions in order to reduce the loss or avoid the disaster. The requirement of software verification for each system could be similar, as is suggested in Section 2.3 which introduced several runtime verification frameworks sharing same functionalities. However, the scale of every software systems varies a lot. For example, a smartphone has much lower memory and slower processor than a mainstream workstation, not to mention a cloud computing system like Amazon EC2. When developing a RV system for a smartphone, the usage of memory and processor is always the main concern. In another way, even in a computer system which has huge memory and power processor, there is always a limit to the memory and the processor. Therefore, there are many researches on the improvement of RV systems. Some tried to distribute the computing to a cluster of servers, some managed to optimize the algorithms or find a better solution.

Our second objective was to find a way to improve the speed of LTL formulæ's calculation. Bitmap is a compact and efficient data structure which has a lot of applications and solutions. A verdict issued by offline runtime verification monitor is two-valued truth value, which can be easily mapped into a bit in a bitmap. We also designed a few algorithms to implement the LTL operators with mapped bitmaps. Kaser et Lemire (2014) suggests that a sparse bitmap can be well compressed, and as we discussed in Section 4.3, the output bitmap from the algorithms has longer consecutive 1/0 sequence than the input. Therefore we integrated bitmap compression algorithms into our solution. The experiment results demonstrate the performance and the feasibility of our solution, and prove that the usage of bitmap compression can make our solution faster and more space-efficient with certain algorithms. This part of our research is also written in a paper which is still under review for publication in the proceedings of the International Conference : Runtime Verification 2016 (RV'16) in Madrid, Spain in 2016.

FUTURE WORK

Our QR code communication channel supports only one-way data transfer, resulting that even our program resends the same data frame for several times, we still cannot ensure that the receiver has got all the data. A bidirectional communication seems an answer to this problem, and it can also allow to resend data on demand and thus increase the effective bandwidth.

A bitmap has bits of either 1 or 0, so the *inconclusive* value of LTL_3 cannot be easily implemented. As a result, our solution works only in the offline monitoring mode. To support the online mode is a big but interesting challenge. In addition, making our solution parallelized to be able to run in a computing cloud is also very intriguing.

Appendices

CHAPITRE A

EXPERIMENT RESULTS OF CALCULATING LTL FORMULÆS WITH BITMAP COMPRESSION

In this appendix, we present the experiment results of the third part of Section 4.4. To get better formatting, the data format is different than it in Section 4.4. “Ratio” here has not percentage mark because it is compression rate calculated by the division of original data size and compressed size.

	<i>slen</i>	1			32			64		
Type		Min	Max	Avg.	Min	Max	Avg.	Min	Max	Avg.
Raw	Ratio	1.00	1.00	1.00	1.00	1.00	1.00	1.00	1.00	1.00
	bps	6.44E+7	8.32E+7	7.59E+7	7.64E+7	9.18E+7	8.57E+7	7.40E+7	9.27E+7	8.39E+7
Concise	Ratio	0.97	0.97	0.97	1.35	1.35	1.35	2.06	2.07	2.07
	bps	6.18E+7	7.60E+7	6.91E+7	6.99E+7	8.56E+7	7.93E+7	6.67E+7	8.47E+7	7.70E+7
WAH	Ratio	0.97	0.97	0.97	1.33	1.34	1.33	2.03	2.04	2.03
	bps	6.28E+7	7.84E+7	7.12E+7	7.23E+7	8.86E+7	8.15E+7	6.58E+7	8.95E+7	7.97E+7
EWAH64	Ratio	1.00	1.00	1.00	1.14	1.14	1.14	1.99	2.01	2.00
	bps	5.66E+7	7.29E+7	6.56E+7	6.24E+7	7.62E+7	7.14E+7	5.99E+7	7.58E+7	6.83E+7
EWAH32	Ratio	1.00	1.00	1.00	2.00	2.00	2.00	3.99	4.01	4.00
	bps	5.82E+7	7.34E+7	6.59E+7	6.48E+7	7.74E+7	7.26E+7	6.09E+7	7.73E+7	7.03E+7
Roaring	Ratio	1.00	1.00	1.00	1.00	1.00	1.00	1.00	1.00	1.00
	bps	6.11E+7	7.78E+7	7.01E+7	7.04E+7	8.72E+7	8.10E+7	6.78E+7	8.88E+7	7.76E+7

Tableau A.1: Bitmap generation with compression algorithms

	<i>slen</i>	1			32			64		
Type		Min	Max	Avg.	Min	Max	Avg.	Min	Max	Avg.
Raw	Ratio	1.00	1.00	1.00	1.00	1.00	1.00	1.00	1.00	1.00
	bps	3.00E+10	4.50E+11	7.28E+10	4.50E+10	7.50E+10	5.79E+10	2.65E+10	6.43E+10	5.17E+10
Concise	Ratio	0.97	0.97	0.97	1.35	1.35	1.35	2.06	2.07	2.07
	bps	7.37E+9	3.32E+10	1.24E+10	1.45E+10	2.09E+10	1.84E+10	1.04E+10	1.68E+10	1.35E+10
WAH	Ratio	0.97	0.97	0.97	1.33	1.34	1.33	2.03	2.04	2.03
	bps	9.48E+9	4.65E+11	1.80E+10	3.75E+10	4.82E+10	4.34E+10	3.16E+10	4.43E+10	3.84E+10
EWAH64	Ratio	1.00	1.00	1.00	1.14	1.14	1.14	1.99	2.00	2.00
	bps	2.65E+10	4.50E+11	3.03E+10	1.57E+10	2.07E+10	1.85E+10	1.13E+10	1.41E+10	1.27E+10
EWAH32	Ratio	1.00	1.00	1.00	2.00	2.00	2.00	3.99	4.01	4.00
	bps	1.41E+10	3.00E+10	1.67E+10	1.12E+10	1.25E+10	1.19E+10	5.63E+9	7.03E+9	6.45E+9
Roaring	Ratio	1.00	1.00	1.00	1.00	1.00	1.00	1.00	1.00	1.00
	bps	2.81E+10	4.50E+11	6.48E+10	5.00E+10	6.43E+10	5.76E+10	4.50E+10	6.43E+10	5.66E+10

Tableau A.2: Calculation of $\neg s_0$ with compression algorithms

	<i>slen</i>	1			32			64		
Type		Min	Max	Avg.	Min	Max	Avg.	Min	Max	Avg.
Raw	Ratio	1.00	1.00	1.00	1.00	1.00	1.00	1.00	1.00	1.00
	bps	2.81E+10	4.50E+11	7.68E+10	6.43E+10	9.00E+10	7.48E+10	5.00E+10	9.00E+10	7.20E+10
Concise	Ratio	0.97	0.97	0.97	1.79	1.80	1.80	2.74	2.77	2.76
	bps	5.96E+9	1.50E+10	8.93E+9	3.84E+9	4.77E+9	4.23E+9	2.72E+9	3.35E+9	2.98E+9
WAH	Ratio	0.97	0.97	0.97	1.77	1.78	1.78	2.70	2.72	2.71
	bps	9.29E+9	2.90E+10	1.34E+10	3.92E+9	5.92E+9	5.54E+9	3.88E+9	4.61E+9	4.34E+9
EWAH64	Ratio	1.00	1.00	1.00	1.47	1.47	1.47	2.66	2.68	2.67
	bps	1.41E+10	3.00E+10	1.83E+10	4.92E+9	6.67E+9	6.02E+9	3.81E+9	4.79E+9	4.33E+9
EWAH32	Ratio	1.00	1.00	1.00	2.66	2.67	2.67	5.31	5.35	5.33
	bps	9.18E+9	1.55E+10	1.29E+10	3.04E+9	3.57E+9	3.26E+9	1.94E+9	2.34E+9	2.21E+9
Roaring	Ratio	1.00	1.00	1.00	1.00	1.00	1.00	1.00	1.00	1.00
	bps	1.41E+10	3.00E+10	2.37E+10	2.37E+10	2.81E+10	2.54E+10	2.25E+10	2.81E+10	2.52E+10

Tableau A.3: Calculation of $s_0 \wedge s_1$ with compression algorithms

	<i>slen</i>	1			32			64		
Type		Min	Max	Avg.	Min	Max	Avg.	Min	Max	Avg.
Raw	Ratio	1.00	1.00	1.00	1.00	1.00	1.00	1.00	1.00	1.00
	bps	2.81E+10	4.50E+11	7.76E+10	5.00E+10	9.00E+10	7.13E+10	5.00E+10	9.00E+10	6.63E+10
Concise	Ratio	0.97	0.97	0.97	1.79	1.80	1.80	2.74	2.77	2.76
	bps	7.74E+9	1.50E+10	1.25E+10	3.93E+9	6.42E+9	5.04E+9	2.59E+9	4.84E+9	3.52E+9
WAH	Ratio	0.97	0.97	0.97	1.77	1.78	1.78	2.70	2.72	2.71
	bps	1.26E+10	3.10E+10	1.87E+10	6.14E+9	1.05E+10	9.07E+9	6.92E+9	9.22E+9	8.25E+9
EWAH64	Ratio	1.00	1.00	1.00	1.47	1.47	1.47	2.65	2.68	2.67
	bps	1.41E+10	3.00E+10	2.01E+10	5.55E+9	7.43E+9	6.66E+9	4.41E+9	5.49E+9	4.88E+9
EWAH32	Ratio	1.00	1.00	1.00	2.66	2.67	2.67	5.31	5.35	5.33
	bps	9.57E+9	1.50E+10	1.30E+10	3.46E+9	4.50E+9	3.86E+9	2.30E+9	2.96E+9	2.54E+9
Roaring	Ratio	1.00	1.00	1.00	1.00	1.00	1.00	1.00	1.00	1.00
	bps	2.81E+10	4.50E+11	3.94E+10	3.22E+10	3.75E+10	3.52E+10	3.22E+10	3.75E+10	3.47E+10

Tableau A.4: Calculation of $s_0 \vee s_1$ with compression algorithms

	<i>slen</i>	1			32			64		
Type		Min	Max	Avg.	Min	Max	Avg.	Min	Max	Avg.
Raw	Ratio	1.00	1.00	1.00	1.00	1.00	1.00	1.00	1.00	1.00
	bps	2.81E+10	4.50E+11	9.66E+10	5.00E+10	1.12E+11	7.39E+10	2.81E+10	9.00E+10	5.78E+10
Concise	Ratio	0.97	0.97	0.97	1.79	1.80	1.80	2.74	2.77	2.75
	bps	7.37E+9	2.90E+10	1.17E+10	6.30E+9	8.35E+9	7.22E+9	4.84E+9	6.40E+9	5.63E+9
WAH	Ratio	0.97	0.97	0.97	1.77	1.78	1.78	2.70	2.72	2.71
	bps	9.88E+9	1.94E+10	1.36E+10	6.75E+9	9.64E+9	8.07E+9	6.15E+9	7.63E+9	6.92E+9
EWAH64	Ratio	1.00	1.00	1.00	1.47	1.48	1.47	2.65	2.68	2.67
	bps	1.29E+10	3.00E+10	1.50E+10	5.18E+9	1.16E+10	8.60E+9	4.33E+9	7.76E+9	6.58E+9
EWAH32	Ratio	1.00	1.00	1.00	2.66	2.68	2.67	5.30	5.36	5.33
	bps	1.41E+10	3.00E+10	1.87E+10	3.26E+9	4.41E+9	3.76E+9	2.45E+9	4.17E+9	3.50E+9
Roaring	Ratio	1.00	1.00	1.00	1.00	1.00	1.00	1.00	1.00	1.00
	bps	2.81E+10	4.50E+11	4.69E+10	3.75E+10	6.43E+10	5.05E+10	3.75E+10	6.43E+10	4.95E+10

Tableau A.5: Calculation of $s_0 \vee s_1$ with compression algorithms

	<i>slen</i>	1			32			64		
Type		Min	Max	Avg.	Min	Max	Avg.	Min	Max	Avg.
Raw	Ratio	1.00	1.00	1.00	1.00	1.00	1.00	1.00	1.00	1.00
	bps	2.81E+10	4.50E+11	5.04E+10	4.50E+10	5.62E+10	5.06E+10	4.09E+10	5.62E+10	4.95E+10
Concise	Ratio	0.97	0.97	0.97	1.35	1.35	1.35	2.06	2.07	2.07
	bps	1.50E+10	3.10E+10	1.80E+10	8.14E+9	1.04E+10	9.44E+9	4.84E+9	6.80E+9	6.22E+9
WAH	Ratio	0.97	0.97	0.97	1.33	1.34	1.33	2.03	2.04	2.03
	bps	1.45E+10	3.10E+10	1.86E+10	7.34E+9	1.16E+10	1.04E+10	5.40E+9	7.91E+9	7.21E+9
EWAH64	Ratio	1.00	1.00	1.00	1.07	1.07	1.07	1.33	1.34	1.33
	bps	1.41E+10	3.00E+10	2.23E+10	1.01E+10	1.41E+10	1.28E+10	5.11E+9	6.82E+9	6.09E+9
EWAH32	Ratio	1.00	1.00	1.00	1.33	1.34	1.33	1.99	2.00	2.00
	bps	1.25E+10	3.00E+10	1.51E+10	4.17E+9	5.36E+9	4.73E+9	2.34E+9	3.13E+9	2.77E+9
Roaring	Ratio	1.00	1.00	1.00	1.00	1.00	1.00	1.00	1.00	1.00
	bps	9.72E+8	1.15E+9	1.07E+9	9.60E+8	1.14E+9	1.09E+9	9.38E+8	1.29E+9	1.05E+9

Tableau A.6: Calculation of X_{s_0} with compression algorithms

	<i>slen</i>	1			32			64		
Type		Min	Max	Avg.	Min	Max	Avg.	Min	Max	Avg.
Raw	Ratio	1.00	1.00	1.00	1.00	1.00	1.00	1.00	1.00	1.00
	bps	7.14E+9	9.78E+9	8.77E+9	3.38E+9	9.38E+9	5.19E+9	9.38E+9	1.25E+10	1.12E+10
Concise	Ratio	7.81E+5	1.56E+6	1.56E+6	3.91E+5	1.56E+6	9.89E+5	3.91E+5	1.56E+6	9.59E+5
	bps	4.65E+11	4.65E+11	4.65E+11	3.34E+11	3.34E+11	3.34E+11	2.18E+11	2.18E+11	2.18E+11
WAH	Ratio	7.81E+5	1.56E+6	1.56E+6	3.91E+5	1.56E+6	9.77E+5	3.91E+5	1.56E+6	9.30E+5
	bps	4.65E+11	4.65E+11	4.65E+11	3.37E+11	3.37E+11	3.37E+11	2.21E+11	2.21E+11	2.21E+11
EWAH64	Ratio	3.91E+5	7.81E+5	5.58E+5	2.60E+5	7.81E+5	5.11E+5	3.91E+5	7.81E+5	5.50E+5
	bps	4.50E+11	4.50E+11	4.50E+11	1.97E+10	3.03E+10	2.70E+10	1.32E+10	1.73E+10	1.58E+10
EWAH32	Ratio	6.25E+4	6.51E+4	6.40E+4	6.25E+4	6.51E+4	6.39E+4	6.25E+4	6.51E+4	6.40E+4
	bps	4.50E+11	4.50E+11	4.50E+11	1.41E+10	1.87E+10	1.67E+10	7.03E+9	1.02E+10	8.78E+9
Roaring	Ratio	2.60E+5	7.81E+5	5.23E+5	1.57E+4	7.81E+5	9.59E+4	6.87E+3	7.81E+5	5.18E+4
	bps	2.25E+11	4.50E+11	4.50E+11	2.25E+11	4.50E+11	3.91E+11	2.25E+11	4.50E+11	3.75E+11

Tableau A.7: Calculation of G_{s_0} with compression algorithms

	<i>slen</i>	1			32			64		
Type		Min	Max	Avg.	Min	Max	Avg.	Min	Max	Avg.
Raw	Ratio	1.00	1.00	1.00	1.00	1.00	1.00	1.00	1.00	1.00
	bps	2.59E+9	3.21E+9	2.99E+9	2.59E+9	3.15E+9	2.95E+9	2.56E+9	3.17E+9	2.88E+9
Concise	Ratio	7.81E+5	7.81E+5	7.81E+5	7.81E+5	7.81E+5	7.81E+5	7.81E+5	7.81E+5	7.81E+5
	bps	4.65E+11	4.65E+11	4.65E+11	3.34E+11	3.34E+11	3.34E+11	2.18E+11	2.18E+11	2.18E+11
WAH	Ratio	7.81E+5	7.81E+5	7.81E+5	7.81E+5	7.81E+5	7.81E+5	7.81E+5	7.81E+5	7.81E+5
	bps	4.65E+11	4.65E+11	4.65E+11	3.37E+11	3.37E+11	3.37E+11	2.21E+11	2.21E+11	2.21E+11
EWAH64	Ratio	3.91E+5	7.81E+5	4.88E+5	2.60E+5	7.81E+5	4.76E+5	3.91E+5	7.81E+5	4.94E+5
	bps	4.50E+11	4.50E+11	4.50E+11	1.97E+10	3.03E+10	2.65E+10	1.41E+10	1.73E+10	1.62E+10
EWAH32	Ratio	6.25E+4	6.51E+4	6.35E+4	6.25E+4	6.51E+4	6.37E+4	6.25E+4	6.51E+4	6.36E+4
	bps	4.50E+11	4.50E+11	4.50E+11	1.50E+10	1.87E+10	1.70E+10	8.04E+9	1.02E+10	8.90E+9
Roaring	Ratio	1.00	1.00	1.00	1.00	1.00	1.00	1.00	1.00	1.00
	bps	7.11E+8	1.03E+9	9.36E+8	8.27E+8	1.03E+9	9.38E+8	7.48E+8	9.87E+8	8.91E+8

Tableau A.8: Calculation of F_{s_0} with compression algorithms

	<i>slen</i>	1			32			64		
Type		Min	Max	Avg.	Min	Max	Avg.	Min	Max	Avg.
Raw	Ratio	1.00	1.00	1.00	1.00	1.00	1.00	1.00	1.00	1.00
	bps	2.23E+8	2.88E+8	2.58E+8	9.72E+8	1.27E+9	1.13E+9	1.12E+9	1.49E+9	1.34E+9
Concise	Ratio	0.97	0.97	0.97	1.89	1.90	1.89	3.12	3.15	3.14
	bps	1.22E+8	1.52E+8	1.36E+8	5.52E+8	7.89E+8	6.43E+8	4.81E+8	9.31E+8	6.48E+8
WAH	Ratio	0.97	0.97	0.97	1.86	1.87	1.86	3.05	3.08	3.07
	bps	1.47E+8	1.86E+8	1.68E+8	5.77E+8	7.83E+8	7.19E+8	7.74E+8	9.63E+8	8.61E+8
EWAH64	Ratio	1.00	1.00	1.00	1.47	1.48	1.48	2.99	3.01	3.00
	bps	8.69E+7	1.04E+8	9.74E+7	4.82E+8	6.21E+8	5.51E+8	3.54E+8	4.88E+8	4.31E+8
EWAH32	Ratio	1.00	1.00	1.00	2.99	3.01	3.00	5.97	6.03	6.00
	bps	8.77E+7	1.10E+8	1.00E+8	3.04E+8	4.48E+8	4.21E+8	3.07E+8	4.25E+8	3.90E+8
Roaring	Ratio	1.00	1.00	1.00	1.00	1.00	1.00	1.00	1.00	1.00
	bps	6.74E+7	8.35E+7	7.62E+7	1.71E+8	2.11E+8	1.93E+8	1.78E+8	2.27E+8	2.02E+8

Tableau A.9: Calculation of $s_0U_{s_1}$ with compression algorithms

	<i>slen</i>	1			32			64		
Type		Min	Max	Avg.	Min	Max	Avg.	Min	Max	Avg.
Raw	Ratio	1.00	1.00	1.00	1.00	1.00	1.00	1.00	1.00	1.00
	bps	2.30E+8	2.94E+8	2.67E+8	1.00E+9	1.32E+9	1.15E+9	1.15E+9	1.51E+9	1.33E+9
Concise	Ratio	0.97	0.97	0.97	1.89	1.90	1.89	3.12	3.15	3.14
	bps	1.24E+8	1.56E+8	1.40E+8	5.71E+8	6.98E+8	6.47E+8	5.42E+8	7.56E+8	6.09E+8
WAH	Ratio	0.97	0.97	0.97	1.86	1.87	1.86	3.05	3.08	3.07
	bps	1.44E+8	1.85E+8	1.64E+8	4.05E+8	8.19E+8	7.26E+8	8.20E+8	9.80E+8	8.96E+8
EWAH64	Ratio	1.00	1.00	1.00	1.47	1.48	1.48	2.99	3.01	3.00
	bps	8.64E+7	1.06E+8	9.77E+7	4.72E+8	6.36E+8	5.63E+8	3.46E+8	5.06E+8	4.45E+8
EWAH32	Ratio	1.00	1.00	1.00	2.99	3.01	3.00	5.97	6.03	6.00
	bps	9.30E+7	1.09E+8	1.01E+8	3.74E+8	4.63E+8	4.32E+8	3.38E+8	4.48E+8	4.03E+8
Roaring	Ratio	1.00	1.00	1.00	1.00	1.00	1.00	1.00	1.00	1.00
	bps	6.29E+7	9.32E+7	7.93E+7	1.65E+8	2.13E+8	1.91E+8	1.81E+8	2.25E+8	2.02E+8

Tableau A.10: Calculation of $s_0W_{s_1}$ with compression algorithms

	<i>slen</i>	1			32			64		
Type		Min	Max	Avg.	Min	Max	Avg.	Min	Max	Avg.
Raw	Ratio	1.00	1.00	1.00	1.00	1.00	1.00	1.00	1.00	1.00
	bps	2.06E+8	2.59E+8	2.29E+8	1.19E+9	1.63E+9	1.41E+9	1.49E+9	1.92E+9	1.71E+9
Concise	Ratio	0.97	0.97	0.97	1.92	1.93	1.92	3.18	3.21	3.20
	bps	1.34E+8	1.62E+8	1.48E+8	7.26E+8	1.21E+9	8.33E+8	6.52E+8	1.39E+9	7.60E+8
WAH	Ratio	0.97	0.97	0.97	1.87	1.88	1.88	3.08	3.11	3.09
	bps	1.54E+8	2.10E+8	1.88E+8	5.35E+8	1.03E+9	8.74E+8	1.14E+9	1.33E+9	1.25E+9
EWAH64	Ratio	1.00	1.00	1.00	1.47	1.48	1.48	2.99	3.01	3.00
	bps	8.99E+7	1.09E+8	1.01E+8	4.50E+8	5.80E+8	5.27E+8	3.67E+8	4.93E+8	4.35E+8
EWAH32	Ratio	1.00	1.00	1.00	2.99	3.01	3.00	5.97	6.02	6.00
	bps	8.70E+7	1.11E+8	1.02E+8	3.80E+8	4.72E+8	4.33E+8	3.38E+8	4.59E+8	4.10E+8
Roaring	Ratio	1.00	1.00	1.00	1.00	1.00	1.00	1.00	1.00	1.00
	bps	6.65E+7	9.90E+7	8.38E+7	1.86E+8	2.43E+8	2.17E+8	2.00E+8	2.57E+8	2.31E+8

Tableau A.11: Calculation of $s_0R_{s_1}$ with compression algorithms

	<i>slen</i>	1			32			64		
Type		Min	Max	Avg.	Min	Max	Avg.	Min	Max	Avg.
Raw	Ratio	1.00	1.00	1.00	1.00	1.00	1.00	1.00	1.00	1.00
	bps	3.17E+7	4.30E+7	3.92E+7	1.42E+8	1.91E+8	1.68E+8	1.60E+8	1.98E+8	1.79E+8
Concise	Ratio	7.81E+5	7.81E+5	7.81E+5	7.81E+5	7.81E+5	7.81E+5	7.81E+5	7.81E+5	7.81E+5
	bps	2.52E+7	3.03E+7	2.78E+7	1.30E+8	1.81E+8	1.53E+8	1.38E+8	2.20E+8	1.65E+8
WAH	Ratio	7.81E+5	7.81E+5	7.81E+5	7.81E+5	7.81E+5	7.81E+5	7.81E+5	7.81E+5	7.81E+5
	bps	2.91E+7	3.60E+7	3.30E+7	1.44E+8	2.20E+8	1.87E+8	1.78E+8	2.41E+8	1.97E+8
EWAH64	Ratio	7.81E+5	7.81E+5	7.81E+5	3.91E+5	7.81E+5	6.25E+5	3.91E+5	7.81E+5	5.11E+5
	bps	1.71E+7	2.08E+7	1.92E+7	8.92E+7	1.17E+8	1.04E+8	7.45E+7	9.67E+7	8.40E+7
EWAH32	Ratio	6.51E+4	6.51E+4	6.51E+4	6.25E+4	6.51E+4	6.36E+4	6.25E+4	6.51E+4	6.37E+4
	bps	1.71E+7	2.17E+7	2.00E+7	7.20E+7	8.44E+7	7.97E+7	6.47E+7	8.06E+7	7.30E+7
Roaring	Ratio	1.00	1.00	1.00	1.00	1.00	1.00	1.00	1.00	1.00
	bps	1.18E+7	1.58E+7	1.38E+7	2.50E+7	3.14E+7	2.82E+7	2.53E+7	3.33E+7	2.94E+7

Tableau A.12: Formulæ 1 calculation with compression algorithms

	<i>slen</i>	1			32			64		
Type		Min	Max	Avg.	Min	Max	Avg.	Min	Max	Avg.
Raw	Ratio	1.00	1.00	1.00	1.00	1.00	1.00	1.00	1.00	1.00
	bps	4.22E+7	5.82E+7	5.03E+7	1.58E+8	2.35E+8	1.92E+8	1.56E+8	2.08E+8	1.77E+8
Concise	Ratio	7.81E+5	1.56E+6	1.53E+6	7.81E+5	1.56E+6	1.56E+6	7.81E+5	1.56E+6	1.56E+6
	bps	3.57E+7	4.87E+7	4.16E+7	2.00E+8	2.87E+8	2.53E+8	2.07E+8	3.48E+8	2.92E+8
WAH	Ratio	7.81E+5	1.56E+6	1.53E+6	7.81E+5	1.56E+6	1.56E+6	7.81E+5	1.56E+6	1.56E+6
	bps	3.94E+7	5.12E+7	4.51E+7	2.00E+8	2.87E+8	2.44E+8	2.54E+8	3.41E+8	2.93E+8
EWAH64	Ratio	7.81E+5	7.81E+5	7.81E+5	7.81E+5	7.81E+5	7.81E+5	7.81E+5	7.81E+5	7.81E+5
	bps	2.22E+7	2.99E+7	2.61E+7	1.16E+8	1.77E+8	1.44E+8	9.22E+7	1.49E+8	1.14E+8
EWAH32	Ratio	6.51E+4	6.51E+4	6.51E+4	6.51E+4	6.51E+4	6.51E+4	6.51E+4	6.51E+4	6.51E+4
	bps	2.37E+7	3.18E+7	2.74E+7	9.13E+7	1.27E+8	1.09E+8	7.95E+7	1.18E+8	1.01E+8
Roaring	Ratio	1.00	7.81E+5	1.96	1.00	7.81E+5	2.22	1.00	7.81E+5	2.13
	bps	1.39E+7	1.92E+7	1.60E+7	2.61E+7	3.51E+7	3.03E+7	2.59E+7	3.89E+7	3.12E+7

Tableau A.13: Formulæ 2 calculation with compression algorithms

	<i>slen</i>	1			32			64		
Type		Min	Max	Avg.	Min	Max	Avg.	Min	Max	Avg.
Raw	Ratio	1.00	1.00	1.00	1.00	1.00	1.00	1.00	1.00	1.00
	bps	1.07E+9	1.60E+9	1.38E+9	1.07E+9	1.81E+9	1.41E+9	9.26E+8	1.19E+9	1.09E+9
Concise	Ratio	7.81E+5	1.56E+6	8.01E+5	7.81E+5	1.56E+6	7.85E+5	7.81E+5	1.56E+6	7.97E+5
	bps	1.16E+9	2.11E+9	1.66E+9	9.54E+8	1.29E+9	1.15E+9	7.64E+8	1.11E+9	9.36E+8
WAH	Ratio	7.81E+5	1.56E+6	8.01E+5	7.81E+5	1.56E+6	7.85E+5	7.81E+5	1.56E+6	7.97E+5
	bps	1.43E+9	2.28E+9	1.85E+9	1.01E+9	1.35E+9	1.25E+9	9.42E+8	1.20E+9	1.07E+9
EWAH64	Ratio	3.91E+5	3.91E+5	3.91E+5	2.60E+5	3.91E+5	3.30E+5	2.60E+5	3.91E+5	3.24E+5
	bps	4.05E+9	5.77E+9	5.19E+9	1.44E+9	1.87E+9	1.69E+9	1.08E+9	1.46E+9	1.26E+9
EWAH32	Ratio	6.01E+4	6.25E+4	6.25E+4	6.01E+4	6.25E+4	6.15E+4	6.01E+4	6.25E+4	6.15E+4
	bps	2.56E+9	3.60E+9	3.06E+9	8.04E+8	9.74E+8	9.00E+8	5.38E+8	7.92E+8	6.56E+8
Roaring	Ratio	1.00	1.00	1.00	1.00	1.00	1.00	1.00	1.00	1.00
	bps	2.34E+8	2.97E+8	2.72E+8	2.48E+8	2.97E+8	2.73E+8	2.19E+8	2.89E+8	2.58E+8

Tableau A.14: Formulæ 3 calculation with compression algorithms

	<i>slen</i>	1			32			64		
Type		Min	Max	Avg.	Min	Max	Avg.	Min	Max	Avg.
Raw	Ratio	1.00	1.00	1.00	1.00	1.00	1.00	1.00	1.00	1.00
	bps	6.39E+8	1.07E+9	8.03E+8	6.07E+8	1.19E+9	8.03E+8	5.21E+8	7.28E+8	6.14E+8
Concise	Ratio	5.21E+5	1.56E+6	7.66E+5	2.60E+5	1.56E+6	5.92E+5	2.60E+5	1.56E+6	5.70E+5
	bps	1.42E+9	2.98E+9	1.99E+9	1.12E+9	1.60E+9	1.35E+9	9.23E+8	1.31E+9	1.10E+9
WAH	Ratio	5.21E+5	1.56E+6	7.66E+5	2.60E+5	1.56E+6	5.81E+5	2.60E+5	1.56E+6	5.62E+5
	bps	1.62E+9	2.96E+9	2.16E+9	1.14E+9	1.67E+9	1.44E+9	1.02E+9	1.46E+9	1.22E+9
EWAH64	Ratio	3.91E+5	7.81E+5	3.97E+5	1.56E+5	7.81E+5	3.08E+5	1.30E+5	7.81E+5	2.80E+5
	bps	5.06E+9	7.26E+9	6.17E+9	1.52E+9	2.04E+9	1.80E+9	1.24E+9	1.69E+9	1.48E+9
EWAH32	Ratio	6.25E+4	6.51E+4	6.26E+4	5.39E+4	6.51E+4	6.03E+4	5.39E+4	6.51E+4	6.01E+4
	bps	3.08E+9	4.79E+9	3.89E+9	8.04E+8	1.02E+9	9.20E+8	6.94E+8	9.53E+8	8.21E+8
Roaring	Ratio	1.00	7.81E+5	1.59	1.00	7.81E+5	1.59	1.00	7.81E+5	1.54
	bps	1.45E+8	3.66E+8	2.09E+8	1.55E+8	3.60E+8	2.10E+8	1.38E+8	3.58E+8	1.97E+8

Tableau A.15: Formulæ 4 calculation with compression algorithms

	<i>slen</i>	1			32			64		
Type		Min	Max	Avg.	Min	Max	Avg.	Min	Max	Avg.
Raw	Ratio	1.00	1.00	1.00	1.00	1.00	1.00	1.00	1.00	1.00
	bps	4.29E+7	5.27E+7	4.80E+7	1.48E+8	1.91E+8	1.71E+8	1.49E+8	1.98E+8	1.74E+8
Concise	Ratio	0.98	1.03	0.99	5.01	5.10	5.06	8.04	8.22	8.13
	bps	2.59E+7	3.47E+7	3.02E+7	1.39E+8	2.01E+8	1.81E+8	1.48E+8	2.42E+8	1.96E+8
WAH	Ratio	0.98	0.99	0.98	5.16	5.25	5.20	8.52	8.71	8.62
	bps	2.76E+7	3.56E+7	3.18E+7	1.50E+8	2.12E+8	1.79E+8	1.94E+8	2.54E+8	2.17E+8
EWAH64	Ratio	1.00	1.00	1.00	3.59	3.63	3.61	9.17	9.33	9.24
	bps	1.82E+7	2.21E+7	2.03E+7	1.05E+8	1.42E+8	1.24E+8	9.43E+7	1.28E+8	1.07E+8
EWAH32	Ratio	1.01	1.01	1.01	9.19	9.30	9.24	1.83E+1	1.87E+1	1.85E+1
	bps	1.87E+7	2.29E+7	2.10E+7	8.76E+7	1.06E+8	9.76E+7	8.04E+7	1.03E+8	9.24E+7
Roaring	Ratio	1.00	1.00	1.00	1.00	1.00	1.00	1.00	1.00	1.00
	bps	1.08E+7	1.46E+7	1.25E+7	2.01E+7	2.83E+7	2.42E+7	2.09E+7	3.11E+7	2.53E+7

Tableau A.16: Formulæ 5 calculation with compression algorithms

	<i>slen</i>	1			32			64		
Type		Min	Max	Avg.	Min	Max	Avg.	Min	Max	Avg.
Raw	Ratio	1.00	1.00	1.00	1.00	1.00	1.00	1.00	1.00	1.00
	bps	4.81E+7	6.18E+7	5.67E+7	1.87E+8	2.36E+8	2.12E+8	1.82E+8	2.37E+8	2.14E+8
Concise	Ratio	1.68	1.78	1.73	4.55	4.88	4.70	6.68	7.48	6.98
	bps	3.36E+7	4.18E+7	3.75E+7	1.89E+8	2.50E+8	2.33E+8	1.97E+8	2.94E+8	2.62E+8
WAH	Ratio	1.49	2.10	1.74	4.08	4.47	4.26	6.30	7.37	6.90
	bps	3.24E+7	4.34E+7	3.86E+7	1.94E+8	2.47E+8	2.17E+8	2.36E+8	3.06E+8	2.66E+8
EWAH64	Ratio	7.81E+5	7.81E+5	7.81E+5	7.81E+5	7.81E+5	7.81E+5	7.81E+5	7.81E+5	7.81E+5
	bps	2.07E+7	2.44E+7	2.26E+7	1.08E+8	1.45E+8	1.28E+8	9.67E+7	1.28E+8	1.10E+8
EWAH32	Ratio	6.51E+4	6.51E+4	6.51E+4	6.51E+4	6.51E+4	6.51E+4	6.51E+4	6.51E+4	6.51E+4
	bps	2.08E+7	2.53E+7	2.33E+7	9.19E+7	1.10E+8	1.03E+8	8.25E+7	1.08E+8	9.73E+7
Roaring	Ratio	1.00	1.00	1.00	1.00	1.00	1.00	1.00	1.00	1.00
	bps	1.28E+7	1.71E+7	1.48E+7	2.47E+7	3.45E+7	2.99E+7	2.58E+7	3.86E+7	3.12E+7

Tableau A.17: Formulæ 6 calculation with compression algorithms

	<i>slen</i>	1			32			64		
Type		Min	Max	Avg.	Min	Max	Avg.	Min	Max	Avg.
Raw	Ratio	1.00	1.00	1.00	1.00	1.00	1.00	1.00	1.00	1.00
	bps	3.90E+8	1.04E+9	6.59E+8	3.26E+8	1.15E+9	5.65E+8	3.05E+8	5.06E+8	3.93E+8
Concise	Ratio	1.56E+6	1.56E+6	1.56E+6	1.56E+6	1.56E+6	1.56E+6	1.56E+6	1.56E+6	1.56E+6
	bps	6.83E+9	4.65E+11	1.54E+10	4.23E+9	3.34E+11	1.07E+10	2.69E+9	2.18E+11	6.48E+9
WAH	Ratio	1.56E+6	1.56E+6	1.56E+6	1.56E+6	1.56E+6	1.56E+6	1.56E+6	1.56E+6	1.56E+6
	bps	7.04E+9	4.65E+11	1.59E+10	4.44E+9	3.37E+11	1.16E+10	2.77E+9	2.21E+11	6.96E+9
EWAH64	Ratio	7.81E+5	7.81E+5	7.81E+5	7.81E+5	7.81E+5	7.81E+5	7.81E+5	7.81E+5	7.81E+5
	bps	2.81E+10	4.50E+11	4.50E+11	2.19E+10	2.81E+10	2.55E+10	3.21E+10	5.63E+10	4.36E+10
EWAH32	Ratio	6.51E+4	6.51E+4	6.51E+4	6.51E+4	6.51E+4	6.51E+4	6.51E+4	6.51E+4	6.51E+4
	bps	4.50E+11	4.50E+11	4.50E+11	2.05E+10	2.81E+10	2.55E+10	1.88E+10	2.81E+10	2.42E+10
Roaring	Ratio	7.81E+5	7.81E+5	7.81E+5	7.81E+5	7.81E+5	7.81E+5	7.81E+5	7.81E+5	7.81E+5
	bps	7.77E+7	9.60E+8	1.63E+8	7.68E+7	9.89E+8	1.80E+8	7.26E+7	9.81E+8	1.63E+8

Tableau A.18: Formulæ 7 calculation with compression algorithms

	<i>slen</i>	1			32			64		
Type		Min	Max	Avg.	Min	Max	Avg.	Min	Max	Avg.
Raw	Ratio	1.00	1.00	1.00	1.00	1.00	1.00	1.00	1.00	1.00
	bps	5.25E+8	1.20E+9	9.52E+8	4.59E+8	1.29E+9	7.51E+8	4.10E+8	6.11E+8	5.19E+8
Concise	Ratio	1.56E+6	1.56E+6	1.56E+6	1.56E+6	1.56E+6	1.56E+6	1.56E+6	1.56E+6	1.56E+6
	bps	3.57E+9	2.90E+10	1.06E+10	2.38E+9	1.08E+10	6.39E+9	1.60E+9	7.51E+9	4.11E+9
WAH	Ratio	1.56E+6	1.56E+6	1.56E+6	1.56E+6	1.56E+6	1.56E+6	1.56E+6	1.56E+6	1.56E+6
	bps	4.18E+9	3.10E+10	1.10E+10	2.46E+9	1.12E+10	6.72E+9	1.83E+9	7.91E+9	4.50E+9
EWAH64	Ratio	3.91E+5	3.91E+5	3.91E+5	3.91E+5	3.91E+5	3.91E+5	3.91E+5	3.91E+5	3.91E+5
	bps	1.45E+10	4.50E+11	3.08E+10	6.35E+9	1.46E+10	1.13E+10	2.50E+9	1.41E+10	7.92E+9
EWAH32	Ratio	6.25E+4	6.25E+4	6.25E+4	6.25E+4	6.25E+4	6.25E+4	6.25E+4	6.25E+4	6.25E+4
	bps	1.02E+10	3.00E+10	2.13E+10	1.92E+9	9.37E+9	5.89E+9	9.53E+8	7.50E+9	3.61E+9
Roaring	Ratio	7.81E+5	7.81E+5	7.81E+5	7.81E+5	7.81E+5	7.81E+5	7.81E+5	7.81E+5	7.81E+5
	bps	8.20E+7	3.40E+8	2.09E+8	7.87E+7	3.41E+8	2.16E+8	7.63E+7	3.33E+8	1.92E+8

Tableau A.19: Formulæ 8 calculation with compression algorithms

	<i>slen</i>	1			32			64		
Type		Min	Max	Avg.	Min	Max	Avg.	Min	Max	Avg.
Raw	Ratio	1.00	1.00	1.00	1.00	1.00	1.00	1.00	1.00	1.00
	bps	8.04E+9	1.45E+10	9.96E+9	3.81E+9	1.18E+10	7.89E+9	5.42E+9	9.38E+9	7.04E+9
Concise	Ratio	0.97	0.97	0.97	1.79	1.80	1.80	2.74	2.77	2.75
	bps	1.22E+9	2.04E+9	1.51E+9	8.35E+8	1.04E+9	9.72E+8	7.31E+8	9.15E+8	8.31E+8
WAH	Ratio	0.97	0.97	0.97	1.77	1.78	1.78	2.70	2.72	2.71
	bps	1.25E+9	2.01E+9	1.53E+9	8.17E+8	1.06E+9	9.92E+8	7.85E+8	9.88E+8	9.00E+8
EWAH64	Ratio	1.00	1.00	1.00	1.47	1.47	1.47	2.66	2.68	2.67
	bps	2.81E+9	4.79E+9	3.78E+9	1.09E+9	1.40E+9	1.28E+9	9.26E+8	1.17E+9	1.07E+9
EWAH32	Ratio	1.00	1.00	1.00	2.66	2.67	2.67	5.31	5.35	5.33
	bps	2.15E+9	2.88E+9	2.62E+9	6.11E+8	7.28E+8	6.91E+8	5.74E+8	7.26E+8	6.59E+8
Roaring	Ratio	1.00	1.00	1.00	1.00	1.00	1.00	1.00	1.00	1.00
	bps	7.76E+9	1.45E+10	9.97E+9	8.18E+9	1.02E+10	9.64E+9	7.90E+9	1.05E+10	9.31E+9

Tableau A.20: Formulæ 9 calculation with compression algorithms

	<i>slen</i>	1			32			64		
Type		Min	Max	Avg.	Min	Max	Avg.	Min	Max	Avg.
Raw	Ratio	1.00	1.00	1.00	1.00	1.00	1.00	1.00	1.00	1.00
	bps	6.62E+9	9.78E+9	8.72E+9	3.49E+9	1.05E+10	6.45E+9	5.17E+9	8.18E+9	6.63E+9
Concise	Ratio	7.81E+5	7.81E+5	7.81E+5	7.81E+5	7.81E+5	7.81E+5	7.81E+5	7.81E+5	7.81E+5
	bps	1.01E+9	1.65E+9	1.26E+9	7.97E+8	1.00E+9	9.19E+8	6.78E+8	8.75E+8	7.88E+8
WAH	Ratio	7.81E+5	7.81E+5	7.81E+5	7.81E+5	7.81E+5	7.81E+5	7.81E+5	7.81E+5	7.81E+5
	bps	1.09E+9	1.65E+9	1.31E+9	7.58E+8	1.02E+9	9.38E+8	7.16E+8	9.58E+8	8.38E+8
EWAH64	Ratio	7.81E+5	7.81E+5	7.81E+5	7.81E+5	7.81E+5	7.81E+5	7.81E+5	7.81E+5	7.81E+5
	bps	2.88E+9	4.13E+9	3.58E+9	1.00E+9	1.44E+9	1.32E+9	9.78E+8	1.19E+9	1.11E+9
EWAH32	Ratio	6.51E+4	6.51E+4	6.51E+4	6.51E+4	6.51E+4	6.51E+4	6.51E+4	6.51E+4	6.51E+4
	bps	2.04E+9	2.66E+9	2.41E+9	6.32E+8	7.35E+8	6.98E+8	5.92E+8	7.35E+8	6.69E+8
Roaring	Ratio	1.00	1.00	1.00	1.00	1.00	1.00	1.00	1.00	1.00
	bps	8.83E+9	1.45E+10	1.12E+10	9.79E+9	1.25E+10	1.10E+10	9.58E+9	1.22E+10	1.08E+10

Tableau A.21: Formulæ 10 calculation with compression algorithms

	<i>slen</i>	1			32			64		
Type		Min	Max	Avg.	Min	Max	Avg.	Min	Max	Avg.
Raw	Ratio	1.00	1.00	1.00	1.00	1.00	1.00	1.00	1.00	1.00
	bps	3.00E+7	3.65E+7	3.35E+7	9.97E+7	1.28E+8	1.15E+8	9.94E+7	1.28E+8	1.16E+8
Concise	Ratio	5.21E+5	1.56E+6	9.08E+5	3.91E+5	1.56E+6	6.82E+5	3.91E+5	1.56E+6	5.92E+5
	bps	2.19E+7	2.64E+7	2.41E+7	1.24E+8	1.68E+8	1.51E+8	1.35E+8	2.05E+8	1.74E+8
WAH	Ratio	5.21E+5	1.56E+6	9.08E+5	3.91E+5	1.56E+6	6.73E+5	3.91E+5	1.56E+6	5.92E+5
	bps	2.17E+7	2.72E+7	2.43E+7	1.26E+8	1.62E+8	1.43E+8	1.58E+8	2.04E+8	1.75E+8
EWAH64	Ratio	3.91E+5	7.81E+5	4.44E+5	1.95E+5	7.81E+5	4.27E+5	1.95E+5	7.81E+5	5.24E+5
	bps	1.22E+7	1.46E+7	1.35E+7	5.86E+7	7.72E+7	6.95E+7	4.83E+7	6.42E+7	5.54E+7
EWAH32	Ratio	6.25E+4	6.51E+4	6.31E+4	5.79E+4	6.51E+4	6.38E+4	5.79E+4	6.51E+4	6.37E+4
	bps	1.21E+7	1.51E+7	1.39E+7	4.63E+7	5.69E+7	5.31E+7	4.21E+7	5.27E+7	4.80E+7
Roaring	Ratio	8.45E+4	7.81E+5	3.10E+5	9.53E+3	7.81E+5	3.47E+4	3.46E+3	7.81E+5	2.00E+4
	bps	7.50E+6	1.01E+7	8.63E+6	1.48E+7	1.98E+7	1.74E+7	1.51E+7	2.20E+7	1.81E+7

Tableau A.22: Formulæ 11 calculation with compression algorithms

	<i>slen</i>	1			32			64		
Type		Min	Max	Avg.	Min	Max	Avg.	Min	Max	Avg.
Raw	Ratio	1.00	1.00	1.00	1.00	1.00	1.00	1.00	1.00	1.00
	bps	3.80E+7	4.77E+7	4.32E+7	9.41E+7	1.31E+8	1.09E+8	8.88E+7	1.23E+8	1.04E+8
Concise	Ratio	7.81E+5	1.56E+6	1.15E+6	3.91E+5	1.56E+6	9.95E+5	3.91E+5	1.56E+6	1.04E+6
	bps	2.95E+7	3.63E+7	3.31E+7	1.73E+8	2.46E+8	2.19E+8	2.04E+8	3.10E+8	2.72E+8
WAH	Ratio	7.81E+5	1.56E+6	1.15E+6	3.91E+5	1.56E+6	9.95E+5	3.91E+5	1.56E+6	1.04E+6
	bps	2.90E+7	3.70E+7	3.34E+7	1.80E+8	2.44E+8	2.10E+8	2.30E+8	3.17E+8	2.64E+8
EWAH64	Ratio	3.91E+5	7.81E+5	7.66E+5	3.91E+5	7.81E+5	6.25E+5	3.91E+5	7.81E+5	5.11E+5
	bps	1.76E+7	2.15E+7	1.96E+7	9.55E+7	1.29E+8	1.13E+8	8.28E+7	1.13E+8	9.47E+7
EWAH32	Ratio	6.25E+4	6.51E+4	6.50E+4	6.25E+4	6.51E+4	6.36E+4	6.25E+4	6.51E+4	6.37E+4
	bps	1.80E+7	2.23E+7	2.01E+7	8.10E+7	9.79E+7	9.06E+7	7.58E+7	9.51E+7	8.59E+7
Roaring	Ratio	1.00	7.81E+5	1.51	1.00	7.81E+5	1.51	1.00	7.81E+5	1.49
	bps	9.18E+6	1.26E+7	1.04E+7	1.63E+7	2.22E+7	1.86E+7	1.56E+7	2.41E+7	1.91E+7

Tableau A.23: Formulæ 12 calculation with compression algorithms

	<i>slen</i>	1			32			64		
Type		Min	Max	Avg.	Min	Max	Avg.	Min	Max	Avg.
Raw	Ratio	1.00	1.00	1.00	1.00	1.00	1.00	1.00	1.00	1.00
	bps	1.65E+7	1.98E+7	1.81E+7	6.18E+7	7.36E+7	6.90E+7	6.35E+7	8.07E+7	7.39E+7
Concise	Ratio	0.97	0.97	0.97	3.34	3.38	3.36	5.91	5.99	5.95
	bps	9.88E+6	1.20E+7	1.10E+7	5.49E+7	7.12E+7	6.62E+7	7.55E+7	1.02E+8	9.28E+7
WAH	Ratio	0.97	0.97	0.97	3.23	3.26	3.24	5.79	5.88	5.84
	bps	9.88E+6	1.24E+7	1.11E+7	5.65E+7	7.88E+7	6.90E+7	7.94E+7	1.04E+8	8.89E+7
EWAH64	Ratio	1.00	1.00	1.00	2.33	2.35	2.34	5.69	5.76	5.72
	bps	5.79E+6	6.95E+6	6.41E+6	3.14E+7	4.21E+7	3.75E+7	2.66E+7	3.56E+7	3.07E+7
EWAH32	Ratio	1.00	1.00	1.00	5.70	5.75	5.72	1.14E+1	1.15E+1	1.14E+1
	bps	5.82E+6	7.10E+6	6.54E+6	2.57E+7	3.18E+7	2.92E+7	2.48E+7	3.15E+7	2.77E+7
Roaring	Ratio	1.00	1.00	1.00	1.00	1.00	1.00	1.00	1.00	1.00
	bps	3.85E+6	5.04E+6	4.37E+6	7.86E+6	1.10E+7	9.50E+6	8.31E+6	1.23E+7	9.98E+6

Tableau A.24: Formulæ 13 calculation with compression algorithms

	<i>slen</i>	1			32			64		
Type		Min	Max	Avg.	Min	Max	Avg.	Min	Max	Avg.
Raw	Ratio	1.00	1.00	1.00	1.00	1.00	1.00	1.00	1.00	1.00
	bps	1.64E+7	1.97E+7	1.81E+7	6.45E+7	7.70E+7	7.21E+7	6.58E+7	8.51E+7	7.79E+7
Concise	Ratio	0.97	0.97	0.97	2.74	2.76	2.75	4.52	4.57	4.54
	bps	9.64E+6	1.22E+7	1.12E+7	5.70E+7	7.14E+7	6.82E+7	7.13E+7	9.21E+7	8.44E+7
WAH	Ratio	0.97	0.97	0.97	2.67	2.69	2.68	4.47	4.52	4.50
	bps	9.71E+6	1.25E+7	1.12E+7	6.47E+7	8.22E+7	7.23E+7	8.34E+7	1.08E+8	9.31E+7
EWAH64	Ratio	1.00	1.00	1.00	2.08	2.10	2.09	4.43	4.49	4.46
	bps	5.77E+6	6.85E+6	6.33E+6	3.01E+7	3.98E+7	3.56E+7	2.50E+7	3.33E+7	2.91E+7
EWAH32	Ratio	1.00	1.00	1.00	4.44	4.48	4.46	8.86	8.97	8.92
	bps	5.79E+6	6.98E+6	6.43E+6	2.50E+7	3.02E+7	2.82E+7	2.37E+7	3.03E+7	2.68E+7
Roaring	Ratio	1.00	1.00	1.00	1.00	1.00	1.00	1.00	1.00	1.00
	bps	3.80E+6	5.04E+6	4.36E+6	7.96E+6	1.12E+7	9.64E+6	8.44E+6	1.25E+7	1.01E+7

Tableau A.25: Formulæ 14 calculation with compression algorithms

BIBLIOGRAPHIE

1976. Broadcast teletext specification. Rapport.

2011. United States RBDS standard, NRSC-4B. Rapport.

Adelmann, R., M. Langheinrich, et C. Flörkemeier. 2006. « Toolkit for bar code recognition and resolving on camera phones-jump starting the internet of things », *GI Jahrestagung* (2), vol. 94, p. 366–373.

Antoshenkov, G. 1995. « Byte-aligned bitmap compression ». In *Data Compression Conference, 1995. DCC'95. Proceedings*, p. 476. IEEE.

Arnon, S. 2015. *Visible light communication*. Cambridge University Press.

Avižienis, A., J.-C. Laprie, B. Randell, et C. Landwehr. 2004. « Basic concepts and taxonomy of dependable and secure computing », *Dependable and Secure Computing, IEEE Transactions on*, vol. 1, no. 1, p. 11–33.

Ayres, J., J. Flannick, J. Gehrke, et T. Yiu. 2002. « Sequential pattern mining using a bitmap representation ». In *Proceedings of the Eighth ACM SIGKDD International Conference on Knowledge Discovery and Data Mining*. Coll. « KDD '02 », p. 429–435, New York, NY, USA. ACM.

- Barre, B., M. Klein, M. Soucy-Boivin, P.-A. Ollivier, et S. Hallé. 2012. « Mapreduce for parallel trace validation of ltl properties ». In *Runtime Verification*, p. 184–198. Springer.
- Barringer, H., A. Goldberg, K. Havelund, et K. Sen. 2004. « Rule-based runtime verification ». In *Verification, Model Checking, and Abstract Interpretation*, p. 44–57. Springer.
- Bauer, A., M. Leucker, et C. Schallhart. 2006. *Monitoring of real-time properties*. Coll. « FSTTCS 2006 : Foundations of Software Technology and Theoretical Computer Science », p. 260–272. Springer.
- Berkovich, S., B. Bonakdarpour, et S. Fischmeister. 2015. « Runtime verification with minimal intrusion through parallelism », *Formal Methods in System Design*, vol. 46, no. 3, p. 317–348.
- Bretz, R. 1984. « Slow-scan television : Its nature and uses », *Educational Technology*, vol. 24, no. 7, p. 35–42.
- Broy, M., B. Jonsson, J.-P. Katoen, M. Leucker, et A. Pretschner. 2005. *Model-based testing of reactive systems : advanced lectures*. T. 3472. Springer.
- Burdick, D., M. Calimlim, et J. Gehrke. 2001. « Mafia : A maximal frequent itemset algorithm for transactional databases ». In *Data Engineering, 2001. Proceedings. 17th International Conference on*, p. 443–452. IEEE.
- Burns, R. W. 2004. *Communications : an international history of the formative years*. T. 32. IET.
- Calabrese, F., M. Colonna, P. Lovisolo, D. Parata, et C. Ratti. 2011. « Real-time urban monitoring using cell phones : A case study in rome », *Intelligent Transportation Systems, IEEE Transactions on*, vol. 12, no. 1, p. 141–151.

- Casley, D. J. et K. Kumar. 1988. *The collection, analysis and use of monitoring and evaluation data*. The World Bank.
- Chambi, S., D. Lemire, O. Kaser, et R. Godin. 2015. « Better bitmap performance with roaring bitmaps », *Software : Practice and Experience*. Available as a preprint.
- Chan, C.-Y. et Y. E. Ioannidis. 1998. « Bitmap index design and evaluation », *SIGMOD Rec.*, vol. 27, no. 2, p. 355–366.
- Chang, E., Z. Manna, et A. Pnueli. 1994. « Compositional verification of real-time systems ». In *Logic in Computer Science, 1994. LICS'94. Proceedings., Symposium on*, p. 458–465. IEEE.
- Chen, F. et G. Roşu. 2007. « Mop : an efficient and generic runtime verification framework ». In *ACM SIGPLAN Notices*. T. 42, p. 569–588. ACM.
- Clarke, E. M., O. Grumberg, et D. Peled. 1999. *Model checking*. MIT press.
- Colantonio, A. et R. Di Pietro. 2010. « Concise : Compressed ‘n’ composable integer set », *Information Processing Letters*, vol. 110, no. 16, p. 644–650.
- Comer, D. E. 2008. *Computer Networks and Internets*. Upper Saddle River, NJ, USA : Prentice Hall Press, 5th édition.
- Culpepper, J. S. et A. Moffat. 2010. « Efficient set intersection for inverted indexing », *ACM Transactions on Information Systems (TOIS)*, vol. 29, no. 1, p. 1.
- d’Amorim, M. et K. Havelund. 2005. « Event-based runtime verification of java programs ». In *ACM SIGSOFT Software Engineering Notes*. T. 30, p. 1–7. ACM.
- Denso Wave Inc. 2015. What is a QR code ? Online ; accessed 11-June-2015.

- Drusinsky, D. 2000. *The temporal rover and the ATG rover*. Coll. « SPIN Model Checking and Software Verification », p. 323–330. Springer.
- Eisner, C. et D. Fisman. 2006. *A Practical Introduction to PSL*. Springer.
- Emerson, E. A. 1990. « Temporal and modal logic. », *Handbook of Theoretical Computer Science, Volume B : Formal Models and Semantics (B)*, vol. 995, no. 1072, p. 5.
- Evers, H. 1979. « The Hellschreiber : A rediscovery », *HAM Radio*, p. 28–32.
- Falcone, Y., K. Havelund, et G. Reger. 2013. « A tutorial on runtime verification. », *Engineering Dependable Software Systems*, vol. 34, p. 141–175.
- Farahani, S. 2011. *ZigBee wireless networks and transceivers*. newnes.
- Gao, J. Z., L. Prakash, et R. Jagatesan. 2007. « Understanding 2d-barcode technology and applications in m-commerce-design and implementation of a 2d barcode processing solution ». In *Computer Software and Applications Conference, 2007. COMPSAC 2007. 31st Annual International*. T. 2, p. 49–56. IEEE.
- Gupta, N. 2013. *Inside Bluetooth low energy*. Artech house.
- Ha, J., M. Arnold, S. M. Blackburn, et K. S. McKinley. 2009. « A concurrent dynamic analysis framework for multicore hardware ». In *ACM SIGPLAN Notices*. T. 44, p. 155–174. ACM.
- Hallé, S. et M. Soucy-Boivin. 2015. « MapReduce for parallel trace validation of LTL properties », *Journal of Cloud Computing*, vol. 4, no. 8, p. 1–16.
- Havelund, K. et G. Rosu. 2001. « Java pathexplorer : A runtime verification tool ».
- Havelund, K. et G. Roşu. 2001. « Monitoring programs using rewriting ». In *Automated Software Engineering, 2001.(ASE 2001). Proceedings. 16th Annual International Conference on*, p. 135–143. IEEE.

- . 2004. « Efficient monitoring of safety properties », *International Journal on Software Tools for Technology Transfer*, vol. 6, no. 2, p. 158–173.
- Heisel, M., W. Reif, et W. Stephan. 1990. « Tactical theorem proving in program verification ». In *10th International Conference On Automated Deduction*, p. 117–131. Springer.
- Huth, M. et M. Ryan. 2004. *Logic in Computer Science : Modelling and reasoning about systems*. Cambridge University Press.
- IEEE. 2012. « Ieee standard for system and software verification and validation », *IEEE Std 1012-2012 (Revision of IEEE Std 1012-2004)*, p. 1–223.
- International Organization for Standardization. 2006. Information technology – automatic identification and data capture techniques – QR Code 2005 bar code symbology specification, ISO standard 18004.
- Kaser, O. et D. Lemire. 2014. Compressed bitmap indexes : beyond unions and intersections. Accepted for publication in *Software : Practice and Experience* on August 14th 2014. Note that arXiv :1402.4073 [cs :DB] is a companion to this paper ; while they share some text, each contains many results not in the other.
- Kim, M., M. Viswanathan, S. Kannan, I. Lee, et O. Sokolsky. 2004. « Java-mac : A run-time assurance approach for java programs », *Formal methods in system design*, vol. 24, no. 2, p. 129–155.
- Komine, T. et M. Nakagawa. 2004. « Fundamental analysis for visible-light communication system using led lights », *Consumer Electronics, IEEE Transactions on*, vol. 50, no. 1, p. 100–107.
- Lavoie, K., C. Leplongeon, S. Varvaressos, S. Gaboury, et S. Hallé. 2014. « Portable runtime verification with smartphones and optical codes ». In Bonakdarpour, B. et S. A. Smolka, édi-

- teurs, *Runtime Verification - 5th International Conference, RV 2014, Toronto, ON, Canada, September 22-25, 2014. Proceedings*. T. 8734, série *Lecture Notes in Computer Science*, p. 80–84. Springer.
- Lee, J.-S., Y.-W. Su, et C.-C. Shen. 2007. « A comparative study of wireless protocols : Bluetooth, UWB, ZigBee, and Wi-Fi ». In *Industrial Electronics Society, 2007. IECON 2007. 33rd Annual Conference of the IEEE*, p. 46–51. IEEE.
- Lemire, D., O. Kaser, et K. Aouiche. 2010. « Sorting improves word-aligned bitmap indexes », *Data & Knowledge Engineering*, vol. 69, no. 1, p. 3–28.
- Leucker, M. et C. Schallhart. 2009. « A brief account of runtime verification », *The Journal of Logic and Algebraic Programming*, vol. 78, no. 5, p. 293–303.
- Millar, I., M. Beale, B. J. Donoghue, K. W. Lindstrom, et S. Williams. 1998. « The IrDA standard for high-speed infrared communications », *HP Journal*, p. 2.
- Okazaki, S., H. Li, et M. Hirose. 2012. « Benchmarking the use of qr code in mobile promotion », *Journal of Advertising Research*, vol. 52, no. 1, p. 102–117.
- Pellizzoni, R., P. Meredith, M. Caccamo, et G. Rosu. 2008. « Hardware runtime monitoring for dependable cots-based real-time embedded systems ». In *Real-Time Systems Symposium, 2008*, p. 481–491. IEEE.
- Perahia, E. et R. Stacey. 2013. *Next Generation Wireless LANS : 802.11 n and 802.11 ac*. Cambridge university press.
- Pnueli, A. 1977. « The temporal logic of programs ». In *Foundations of Computer Science, 1977., 18th Annual Symposium on*, p. 46–57.
- Richter, S. P. 2013. « Digital semaphore : Tactical implications of QR code optical signaling for fleet communications ». Mémoire de maîtrise, Naval Postgraduate School.

- Rozier, K. Y. 2011. « Linear temporal logic symbolic model checking », *Computer Science Review*, vol. 5, no. 2, p. 163–203.
- Sarkar, S. K., T. Basavaraju, et C. Puttamadappa. 2007. *Ad hoc mobile wireless networks : principles, protocols and applications*. CRC Press.
- Shabtai, A. et Y. Elovici. 2010. *Applying behavioral detection on android-based devices*. Coll. « Mobile Wireless Middleware, Operating Systems, and Applications », p. 235–249. Springer.
- Theng, Y.-L. 2008. *Ubiquitous Computing : Design, Implementation and Usability : Design, Implementation and Usability*. IGI Global.
- Tse, D. et P. Viswanath. 2005. *Fundamentals of wireless communication*. Cambridge university press.
- Uno, T., M. Kiyomi, et H. Arimura. 2005. « Lcm ver.3 : Collaboration of array, bitmap and prefix tree for frequent itemset mining ». In *Proceedings of the 1st International Workshop on Open Source Data Mining : Frequent Pattern Mining Implementations*. Coll. « OSDM '05 », p. 77–86, New York, NY, USA. ACM.
- Vasilescu, I., K. Kotay, D. Rus, M. Dunbabin, et P. Corke. 2005. « Data collection, storage, and retrieval with an underwater sensor network ». In *Proceedings of the 3rd international conference on Embedded networked sensor systems*, p. 154–165. ACM.
- Wikipedia. 2016. Runtime verification — wikipedia, the free encyclopedia. [Online ; accessed 10-May-2016].
- Witze, A. 2016. « Software error doomed japanese hitomi spacecraft », *Nature*, vol. 533, p. 18–19.

- Wu, K., E. J. Otoo, et A. Shoshani. 2006. « Optimizing bitmap indices with efficient compression », *ACM Transactions on Database Systems (TODS)*, vol. 31, no. 1, p. 1–38.
- Xie, K., S. Gaboury, et S. Hallé. 2016. « Real-time streaming communication with optical codes », *IEEE Access*, vol. 4, p. 284–298.
- Zwijze-Koning, K. H. et M. D. De Jong. 2005. « Auditing information structures in organizations : A review of data collection techniques for network analysis », *Organizational Research Methods*, vol. 8, no. 4, p. 429–453.